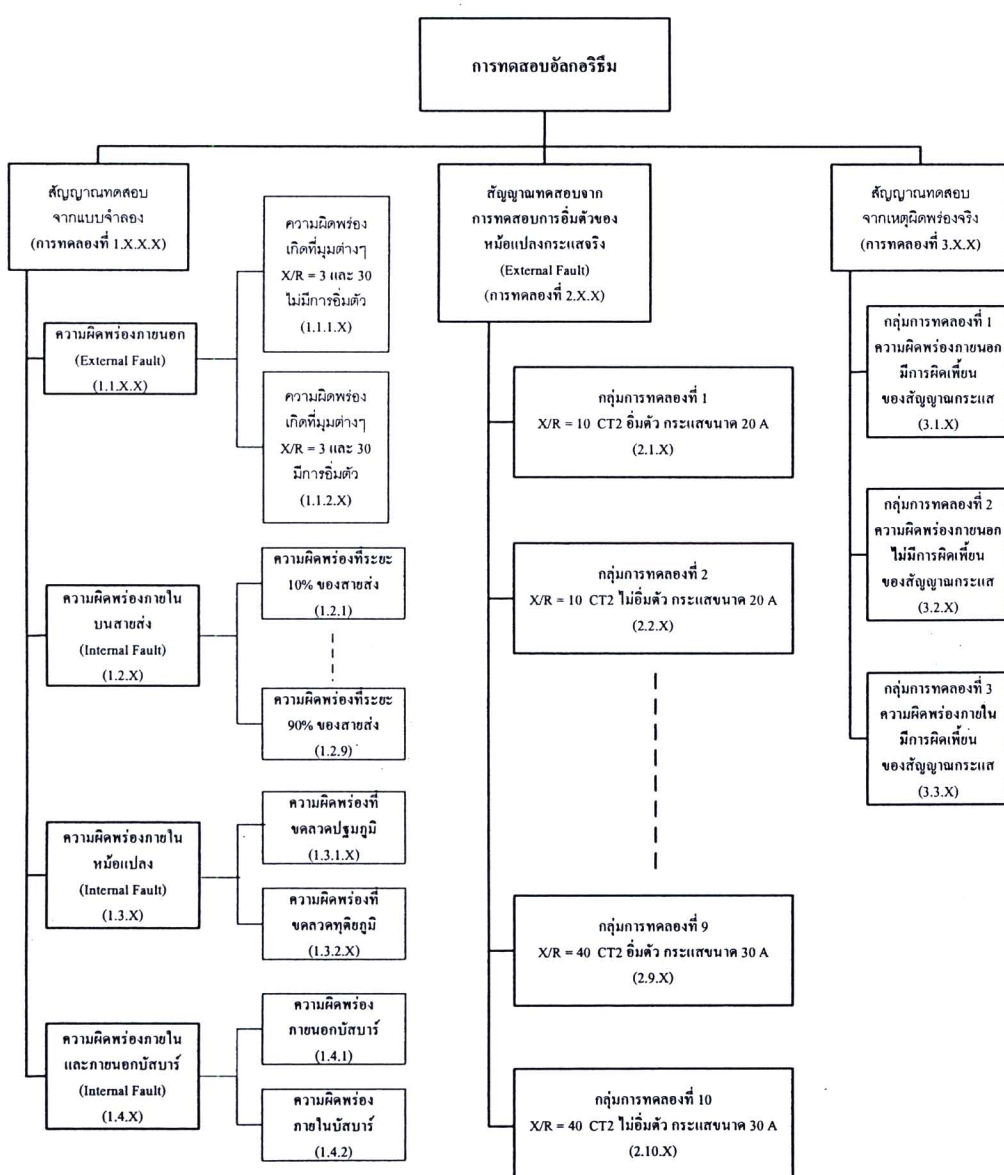


บทที่ 4

การทดสอบอัลกอริธึมสำหรับรีเลย์ผลต่าง

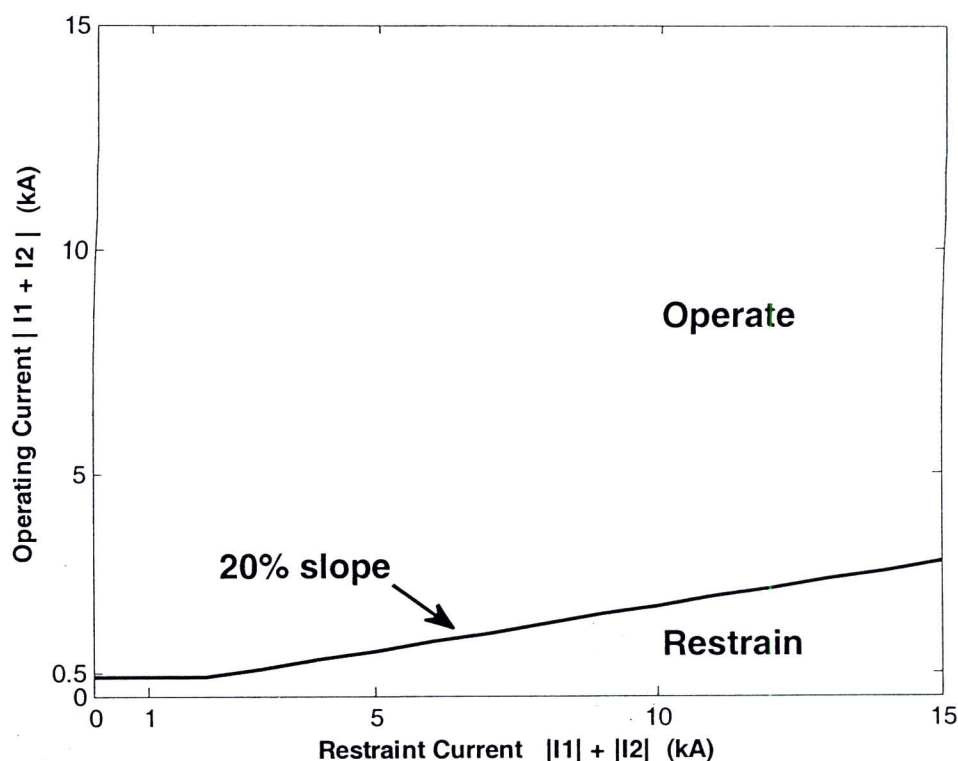
เมื่อได้ทำการออกแบบอัลกอริธึมสำหรับรีเลย์ผลต่างที่มีความคงทนต่อการผิดเพี้ยนของสัญญาณกระแสดังที่ได้กล่าวไว้ในบทที่ 3 แล้ว ในขั้นตอนต่อไปคือการทดสอบอัลกอริธึมว่าจะสามารถทำงานได้ถูกต้องหรือไม่ ในการออกแบบการทดสอบจะต้องทำการทดลองในหลากหลายกรณีดังแสดงในภาพที่ 4-1



ภาพที่ 4-1 ผังการทดสอบการทำงานของอัลกอริธึม

โดยในการทดสอบจะแบ่งเป็นสามกลุ่มการทดสอบหลัก เพื่อที่จะพิสูจน์ว่าอัลกอริธึมที่ออกแบบมานั้นมีความทนทานต่อการอิ่มตัวของสัญญาณกระแสมากน้อยเพียงใด และสามารถตรวจจับความผิดพร่องได้หรือไม่ ในกลุ่มแรกจะเป็นการทดสอบโดยใช้สัญญาณจากการจำลองระบบไฟฟ้าด้วยคอมพิวเตอร์ กลุ่มการทดสอบที่สองจะเป็นการทดสอบโดยใช้สัญญาณที่ได้จากการทดสอบโดยใช้มือแปลงกระแสจริง ส่วนในกลุ่มการทดสอบสุดท้ายจะเป็นการทดสอบอัลกอริธึมโดยใช้สัญญาณที่เป็นสัญญาณกระแสขณะเกิดเหตุผิดพร่องจริงซึ่งบันทึกไว้โดยรีเลย์ป้องกันผลต่าง

การทดสอบแต่ละหัวข้อจะทำการทดสอบอัลกอริธึมของงานวิจัยนี้ โดยรีเลย์มีการสุ่มสัญญาณที่ความถี่ 6.4 kHz (128 จุดต่อคาน) และได้รับการตั้งค่าการทำงานดังแสดงในภาพที่ 4-2



ภาพที่ 4-2 คุณลักษณะของรีเลย์ผลต่างที่ทำการทดสอบ

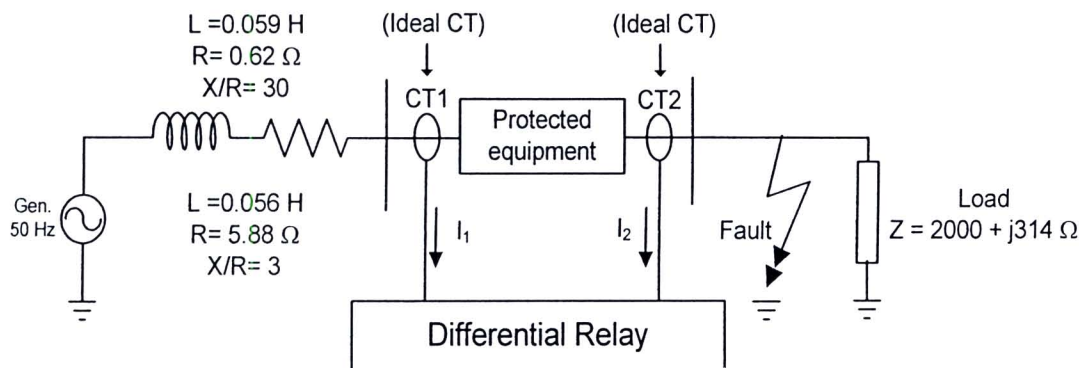
4.1 การทดสอบโดยใช้สัญญาณจากแบบจำลอง

ในการทดสอบประสิทธิภาพการทำงานของอัลกอริธึม จำเป็นต้องนำสัญญาณในหลากหลายสถานการณ์มาทำการทดสอบ แบบจำลองสำหรับทดสอบการป้องกันสายส่ง หม้อแปลง บัสบาร์ จึงถูกนำมาใช้ในการสร้างสัญญาณทดสอบ แล้วจึงป้อนสัญญาณดังกล่าวให้กับอัลกอริธึมของรีเลย์

ผลต่าง เพื่อทดสอบว่ามีความทนทานต่อการผิดเพี้ยนของสัญญาณกระแสและมีประสิทธิภาพในการตรวจจับความผิดพร่องที่เกิดขึ้นภายในเขตป้องกันได้หรือไม่

4.1.1 การทดสอบการทำงานในกรณีที่เกิดความผิดพร่องภายนอก หม้อแปลงกระแส CT1 และ CT2 ไม่มีการอิ่มตัว

การทดสอบการทำงานของอัลกอริธึมในหัวข้อนี้จะเป็นการทดสอบในกรณีที่ดำเนินการของเหตุผิดพร่องอยู่ภายนอกเขตป้องกัน (External Fault) ซึ่งเรียกว่าไม่สั่งตัวของ ในหัวข้อการทดสอบนี้ได้ออกแบบการทดสอบโดยใช้ระบบไฟฟ้าดังแสดงในภาพที่ 4-3 ในแบบจำลองจะมีเครื่องกำเนิดไฟฟ้าอุดมคติที่มีแรงดัน 115 kV (RMS) ในแต่ละเฟสจะส่งจ่ายไฟฟ้าผ่านตัวเหนี่ยวนำ L ตัวต้านทาน R ซึ่งต่ออนุกรมอยู่กับอุปกรณ์ที่ได้รับการป้องกัน (Protected Equipment) ซึ่งได้กำหนดค่าของอัมพีเดนซ์ให้มีค่าเป็นศูนย์ แล้วส่งกำลังไฟฟ้าต่อไปที่ภาระซึ่งมีค่าอัมพีเดนซ์ $2000 + j314 \Omega$

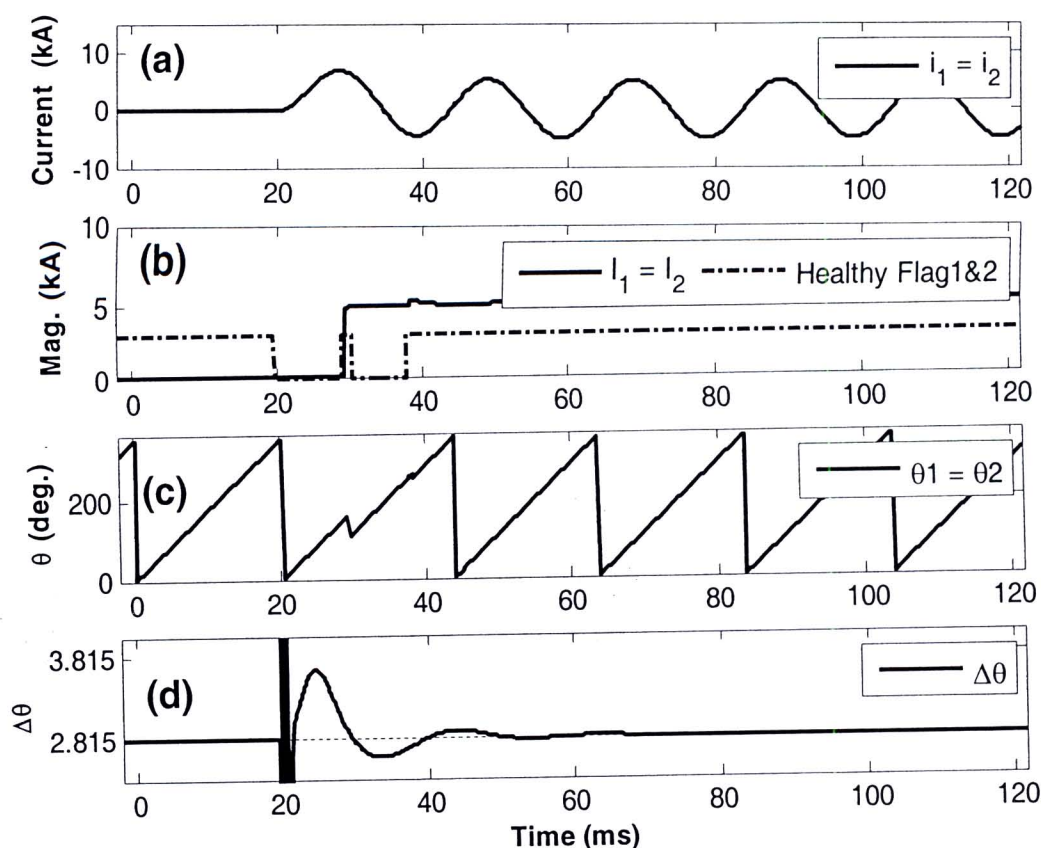


ภาพที่ 4-3 แบบจำลองระบบไฟฟ้าสำหรับการทดสอบอัลกอริธึม

ในกรณีที่ต้องการให้ค่าอัตราส่วน X/R ขณะเกิดความผิดพร่องมีค่าเป็น 30 จะกำหนดตัวเหนี่ยวนำ L มีค่าเป็น 59 mH และค่าความต้านทาน R เป็น 0.62 Ω ในกรณีที่ต้องการให้ค่าอัตราส่วน X/R ขณะเกิดความผิดพร่องมีค่าเป็น 3 จะกำหนดตัวเหนี่ยวนำ L มีค่าเป็น 56 mH และค่าความต้านทาน R เป็น 5.88 Ω ทั้งนี้เพื่อควบคุมให้กระแสผิดพร่องของห้องส่องกรณีให้มีขนาดที่เท่ากันคือ 5 kA (Peak) ในการทดลองจะกำหนดให้ความผิดพร่องที่เกิดขึ้นเป็นความผิดพร่องชนิดหนึ่งเฟส (ในหัวข้อการทดสอบนี้จะให้หม้อแปลงกระแส CT1 และหม้อแปลงกระแส CT2 ให้เป็นหม้อแปลงกระแส อุดมคติ ไม่มีการอิ่มตัวของแกน) ในการทดลองจะทำการควบคุมให้มุมขณะเกิดเหตุผิดพร่องมีค่าเป็น $0^\circ, 30^\circ, 60^\circ, 90^\circ, 120^\circ, 150^\circ, 180^\circ, 210^\circ, 240^\circ, 270^\circ$ และ 330°

4.1.1.1 การทดลองกรณีค่าอัตราส่วน X/R เป็น 3 และ 30 หม้อแปลงกระแสไม่มีการอิ่มตัว จุดเริ่มเกิดความผิดพร่องอยู่ที่มุม 270°

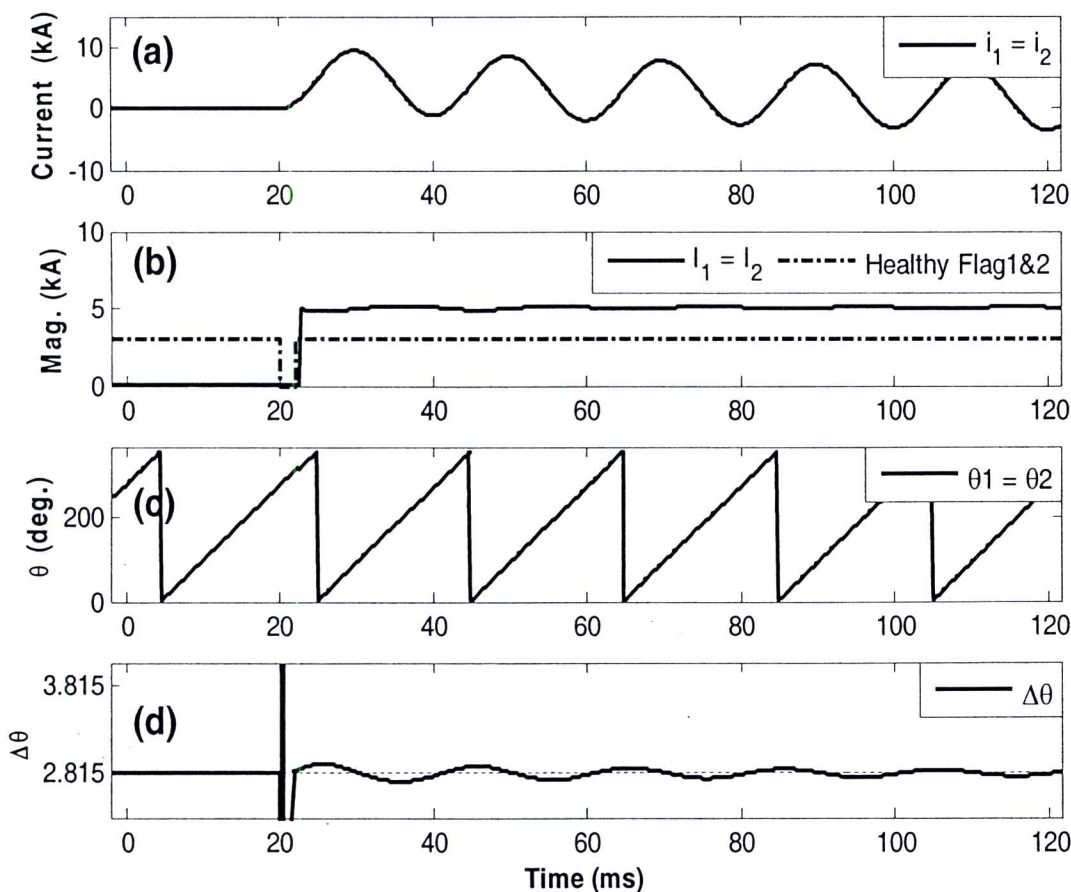
จากการทดลองการเกิดเหตุผิดพร่องที่มุม 270° กระแสผิดพร่องจะมีองค์ประกอบสัญญาณกระแสตรงสูงกว่าที่มุมอื่น ๆ (ในการทดลองควบคุมให้กระแสเกิดผิดพร่องมีขนาดต่ำมาก) หากระบบมีอัตราส่วน X/R สูง ($X/R = 30$) จะส่งผลให้องค์ประกอบสัญญาณกระแสตรงมีอัตราการลดลงที่ช้ากว่ากรณีที่มีอัตราส่วน X/R ต่ำ ($X/R = 3$) ดังแสดงในภาพที่ 4-4(a) และภาพที่ 4-5(a) ตามลำดับ สำหรับการคำนวณค่าของขนาด (ภาพที่ 4-4(b)) และมุม (ภาพที่ 4-4(c)) ของสัญญาณกระแสนี้สามารถทำได้อย่างถูกต้อง (กระแสผิดพร่องมีขนาด 5 kA) โดยกรณีที่อัตราส่วน X/R เป็น 3 และ 30 สามารถถูกลดเข้าสู่ค่าของขนาดที่ถูกต้องได้ภายใน 10 และ 2.5 มิลลิวินาทีตามลำดับ ค่าของขนาดและมุมดังกล่าวจะถูกนำมาใช้ในการตัดสินใจของรีเลย์ผลต่าง ภาพที่ 4-6 และภาพที่ 4-7 แสดงผลการทำงานของรีเลย์ผลต่างในการที่อัตราส่วน X/R เป็น 3 และ 30 ตามลำดับ จะเห็นได้ว่าค่าของกระแสทำงาน (Operating Current) นั้นมีค่าเป็นศูนย์ ทั้งนี้เนื่องจากกระแสที่ได้จาก CT1 และ CT2 มีค่าที่เท่ากันเสมอ



ภาพที่ 4-4 ผลการคำนวณค่าขนาดและมุมในกรณีที่ $X/R = 3$ และมุมเริ่มผิดพร่องเป็น 270°

ภาพที่ 4-4(b) แสดงผลการคำนวณค่าขนาดของสัญญาณกระแสในกรณีที่อัตราส่วน X/R เป็น 3 และมุมเริ่มเกิดความผิดพร่อง 270° (ที่เวลาประมาณ 20 มิลลิวินาที) จะเห็นได้ว่า ในช่วงต้นของกระแสผิดพร่อง อัลกอริธึมยังตรวจไม่พบสัญญาณคุณภาพดี ทั้งนี้เป็นเพราะอิทธิพล

ขององค์ประกอบกราฟแสตตร์ที่มีการลดลงแบบอีกโพเนนเชียลส่งผลให้อัตราการเปลี่ยนแปลงของมุมหรือ $\Delta\theta$ ที่ควรจะเป็น $360/N$ หรือ 2.815° ต่อหนึ่งช่วงการสุ่มคลาดเคลื่อนไปซึ่งความคลาดเคลื่อนดังกล่าวจะแปรผันตามค่าความชันของสัญญาณอีกโพเนนเชียลและความชันสัญญาณกราฟแสตตร์ที่ $4-4(d)$ อย่างไรก็ตามความคลาดเคลื่อนของมุมนี้จะมีค่าเป็นศูนย์ ในช่วงเวลาที่สัญญาณกราฟแสตตร์มีความชันเป็นศูนย์ ทำให้อัลกอริธึมสามารถตรวจจับสัญญาณคุณภาพดีได้ ดังจะเห็นว่าในภาพที่ $4-4(b)$ สัญญาณ Healthy Flag อยู่ในสภาวะทำงานในช่วงดังกล่าว สำหรับผลของการคำนวณค่ามุมของสัญญาณกราฟแสตตร์ทำได้ถูกต้อง จากการคำนวณพบว่าความผิดพร่องทำให้มุมของกราฟแสตตร์ผิดพร่องล้าหลังมุมของกราฟแสตตร์ไป 62.13° ซึ่งสอดคล้องกับผลการคำนวณค่ามุมซึ่งแสดงไว้ในภาพที่ $4-4(c)$ ที่เวลาประมาณ 30 มิลลิวินาที

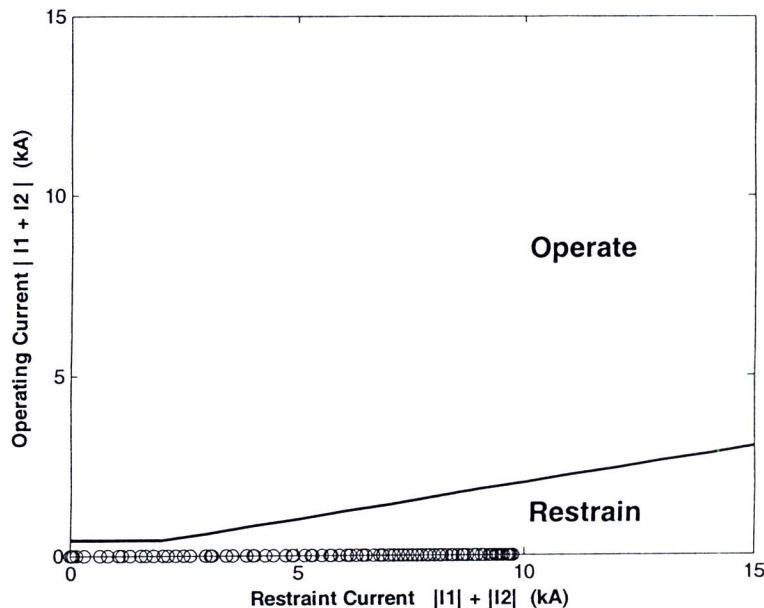


ภาพที่ 4-5 ผลการคำนวณค่าขนาดและมุมในกรณีที่ $X/R = 30$ และมุมเริ่มผิดพร่องเป็น 270°

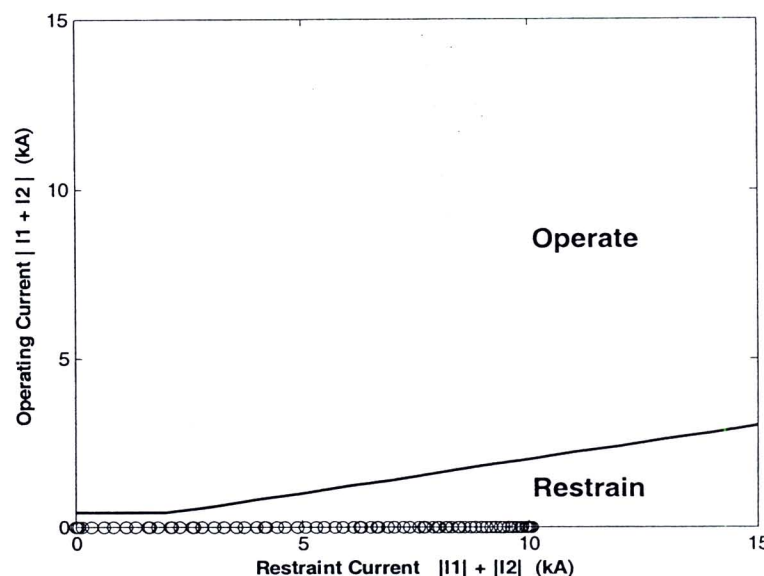
สำหรับกรณีที่อัตราส่วน X/R มีค่าเป็น 30 ดังแสดงในภาพที่ 4-5 นั้น ผลของสัญญาณอีกโพเนนเชียลส่งผลกระทบต่อการตรวจจับสัญญาณคุณภาพดีน้อยมากดังจะเห็นได้ว่าในช่วงเริ่มต้นของกราฟแสตตร์ค่า $\Delta\theta$ จะมีค่าเกือบจะเท่ากับ 2.815° ดังแสดงในภาพที่ 4-5(d) ทั้งนี้

เนื่องจากความซับซ้อนของสัญญาณอิเล็กโพรูเซนเซอร์มีค่าต่ำมากทำให้ความคลาดเคลื่อนของมุมมีน้อยตามไปด้วย สำหรับผลของการคำนวณค่ามุมของสัญญาณกระแสทำได้ถูกต้อง

ภาพที่ 4-6 และ ภาพที่ 4-7 แสดงผลการตัดสินใจของรีเลย์ในกรณีที่อัตราส่วน X/R มีค่าเป็น 3 และ 30 ตามลำดับ จะเห็นได้ว่าจุดตัดสินใจจะอยู่ได้เส้นตัดสินใจเสมอ ทั้งนี้เป็นเพราะกระแสทำงาน (Operating Current) มีค่าเป็นศูนย์ ในขณะที่กระแสต้าน (Restrain Current) จะอยู่ในช่วงประมาณ 0-10 kA (สองเท่าของกระแสพิคพร่อง)



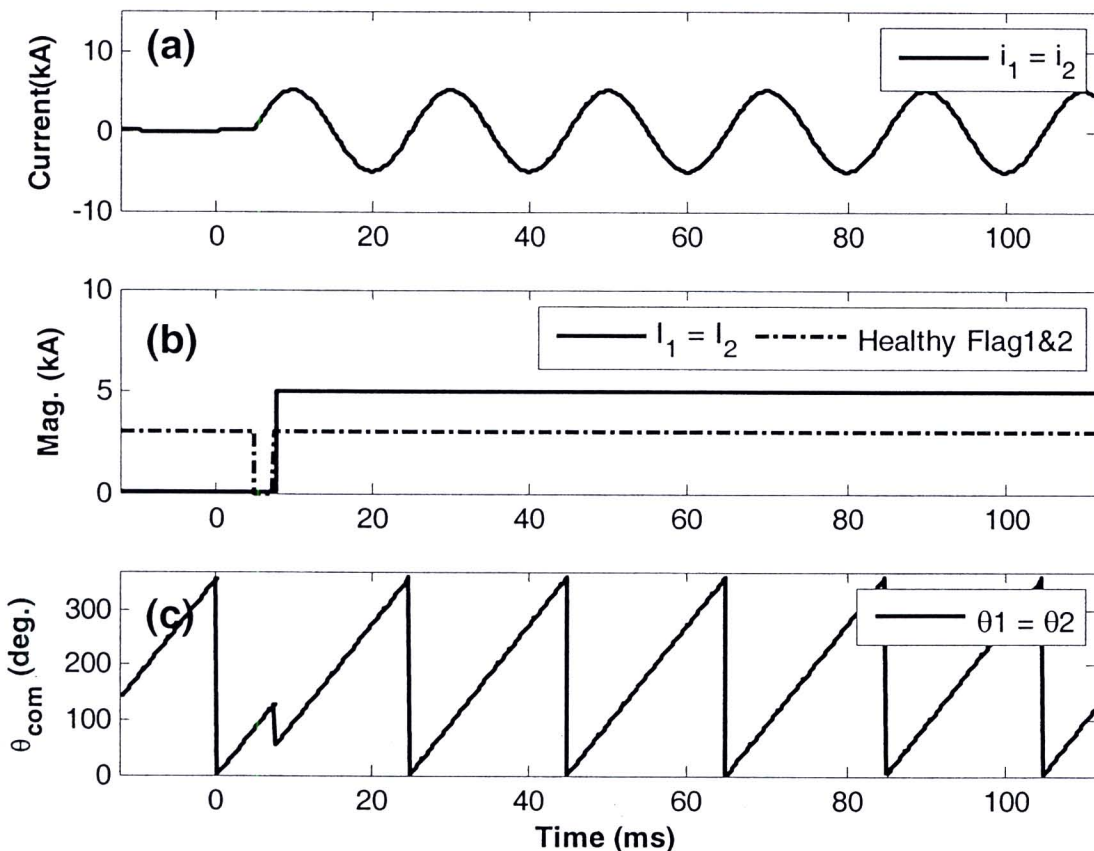
ภาพที่ 4-6 ผลการทำงานของรีเลย์ผลต่างในกรณีที่อัตราส่วน X/R= 3 และมุมเริ่มพิคพร่องเป็น 270°



ภาพที่ 4-7 ผลการทำงานของรีเลย์ผลต่างกรณีที่อัตราส่วน X/R=30 และมุมเริ่มพิคพร่องเป็น 270°

4.1.1.2 การทดลองกรณีจุดเริ่มเกิดความผิดพร่องอยู่ที่มุม 0° หน้าแปลงกระแสไม่มีการอัมตัว ค่าอัตราส่วน X/R เป็น 30

ในการทดลองกำหนดให้เกิดเหตุผิดพร่องที่มุม 0° จะเกิดองค์ประกอบของสัญญาณกระแสตรงน้อยมากดังแสดงในภาพที่ 4-8(a) ค่าอัตราส่วน X/R ไม่ส่งผลต่อรูปร่างของกระแสผิดพร่อง ไม่ว่าค่า X/R จะเป็น 3 หรือ 30 ก็จะให้ค่ากระแสผิดพร่องที่ไม่ต่างกัน ผลการคำนวณหาค่าขนาดนั้นทำได้ยังถูกต้อง โดยมีขนาดคงที่ที่ 5 kA ตลอดทั้งขนาดสัญญาณ I_1 และ I_2 สำหรับรายละเอียดผลการทดลองกรณีที่เริ่มเกิดความผิดพร่องที่มุมอื่น ๆ นั้นได้แสดงไว้ดังตารางที่ 4-1



ภาพที่ 4-8 ผลการคำนวณค่าขนาดและมุมในกรณีที่ $X/R = 30$ และมุมเริ่มผิดพร่องเป็น 0°

ตารางที่ 4-1 การทดสอบในกรณีเกิดความผิดพร่องภายนอก ไม่มีการอิ่มตัวของหน้าแปลงกระแส

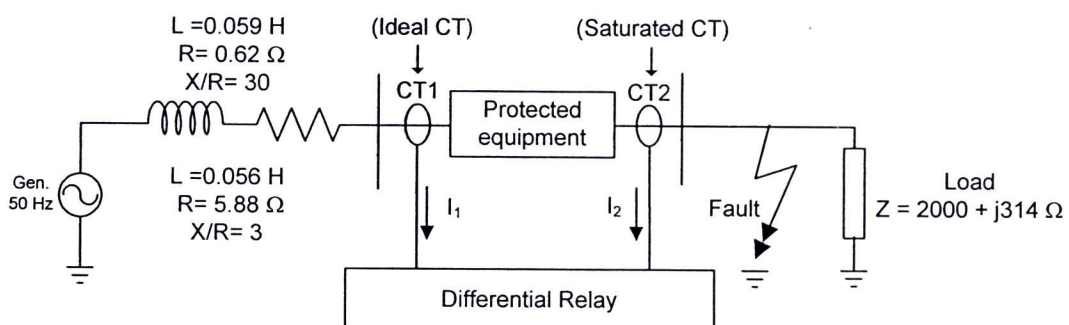
การทดลองที่	ชนิดของความผิดพร่อง	การอิ่มตัวของ CT2	นุ่มเริ่มเกิดเหตุผิดพร่อง	X/R	ผลการทำงาน	
					รีเลย์แบบดั้งเดิม	รีเลย์ของงานวิจัยนี้
1.1.1.1	ภายนอก	ไม่อิ่มตัว	330	3	ถูกต้อง (ไม่ตัดวงจร)	ถูกต้อง (ไม่ตัดวงจร)
1.1.1.2	ภายนอก	ไม่อิ่มตัว	330	30	ถูกต้อง (ไม่ตัดวงจร)	ถูกต้อง (ไม่ตัดวงจร)
1.1.1.3	ภายนอก	ไม่อิ่มตัว	300	3	ถูกต้อง (ไม่ตัดวงจร)	ถูกต้อง (ไม่ตัดวงจร)
1.1.1.4	ภายนอก	ไม่อิ่มตัว	300	30	ถูกต้อง (ไม่ตัดวงจร)	ถูกต้อง (ไม่ตัดวงจร)
1.1.1.5	ภายนอก	ไม่อิ่มตัว	270	3	ถูกต้อง (ไม่ตัดวงจร)	ถูกต้อง (ไม่ตัดวงจร)
1.1.1.6	ภายนอก	ไม่อิ่มตัว	270	30	ถูกต้อง (ไม่ตัดวงจร)	ถูกต้อง (ไม่ตัดวงจร)
1.1.1.7	ภายนอก	ไม่อิ่มตัว	240	3	ถูกต้อง (ไม่ตัดวงจร)	ถูกต้อง (ไม่ตัดวงจร)
1.1.1.8	ภายนอก	ไม่อิ่มตัว	240	30	ถูกต้อง (ไม่ตัดวงจร)	ถูกต้อง (ไม่ตัดวงจร)
1.1.1.9	ภายนอก	ไม่อิ่มตัว	210	3	ถูกต้อง (ไม่ตัดวงจร)	ถูกต้อง (ไม่ตัดวงจร)
1.1.1.10	ภายนอก	ไม่อิ่มตัว	210	30	ถูกต้อง (ไม่ตัดวงจร)	ถูกต้อง (ไม่ตัดวงจร)
1.1.1.11	ภายนอก	ไม่อิ่มตัว	180	3	ถูกต้อง (ไม่ตัดวงจร)	ถูกต้อง (ไม่ตัดวงจร)

ตารางที่ 4-1 (ต่อ)

การทดลอง ที่	ชนิดของ ความผิดพลาด	การอิ่มตัว ของ CT2	นุ่มเริ่มเกิด ^{เหตุ} ผิดพลาด	X/R	ผลการทำงาน	
					รีเลย์แบบ ดึงเดิน	รีเลย์ของ งานวิจัยนี้
1.1.1.12	ภายนอก	ไม่อิ่มตัว	150	3	ถูกต้อง ^(ไม่ตัดวงจร)	ถูกต้อง ^(ไม่ตัดวงจร)
1.1.1.13	ภายนอก	ไม่อิ่มตัว	150	30	ถูกต้อง ^(ไม่ตัดวงจร)	ถูกต้อง ^(ไม่ตัดวงจร)
1.1.1.14	ภายนอก	ไม่อิ่มตัว	120	3	ถูกต้อง ^(ไม่ตัดวงจร)	ถูกต้อง ^(ไม่ตัดวงจร)
1.1.1.15	ภายนอก	ไม่อิ่มตัว	120	30	ถูกต้อง ^(ไม่ตัดวงจร)	ถูกต้อง ^(ไม่ตัดวงจร)
1.1.1.16	ภายนอก	ไม่อิ่มตัว	90	3	ถูกต้อง ^(ไม่ตัดวงจร)	ถูกต้อง ^(ไม่ตัดวงจร)
1.1.1.17	ภายนอก	ไม่อิ่มตัว	90	30	ถูกต้อง ^(ไม่ตัดวงจร)	ถูกต้อง ^(ไม่ตัดวงจร)
1.1.1.18	ภายนอก	ไม่อิ่มตัว	60	3	ถูกต้อง ^(ไม่ตัดวงจร)	ถูกต้อง ^(ไม่ตัดวงจร)
1.1.1.19	ภายนอก	ไม่อิ่มตัว	60	30	ถูกต้อง ^(ไม่ตัดวงจร)	ถูกต้อง ^(ไม่ตัดวงจร)
1.1.1.20	ภายนอก	ไม่อิ่มตัว	30	3	ถูกต้อง ^(ไม่ตัดวงจร)	ถูกต้อง ^(ไม่ตัดวงจร)
1.1.1.21	ภายนอก	ไม่อิ่มตัว	30	30	ถูกต้อง ^(ไม่ตัดวงจร)	ถูกต้อง ^(ไม่ตัดวงจร)
1.1.1.22	ภายนอก	ไม่อิ่มตัว	0	30	ถูกต้อง ^(ไม่ตัดวงจร)	ถูกต้อง ^(ไม่ตัดวงจร)

4.1.2 การทดสอบการทำงานในกรณีที่เกิดความผิดพร่องภายนอก โดยที่ CT2 มีโอกาสที่จะเกิดการอิ่มตัวขึ้นได้

ในการทดลองนี้จะทำการทดสอบอัลกอริธึมโดยใช้สัญญาณของกระแสผิดพร่องชนิดภายนอก ในการทดสอบหัวข้อนี้จะกำหนดให้มื้อแปลงกระแส CT2 มีโอกาสที่จะเกิดการอิ่มตัวได้



ภาพที่ 4-9 แบบจำลองระบบไฟฟ้าสำหรับการทดสอบอัลกอริธึม

ในการทดสอบจะจำลองหม้อแปลงกระแส CT2 ให้มีคุณสมบัติความสัมพันธ์ระหว่างความเข้มสนามแม่เหล็ก (Magnetic Field Intensity, H) และความหนาแน่นเส้นแรงแม่เหล็ก (Flux Density, B) เป็นดังแสดงในภาพที่ 4-10 อีกทั้งยังมีคุณสมบัติอื่น ๆ ดังนี้

$$\text{Ratio} = 400/5$$

$$\text{พื้นที่หน้าตัด} = 26 \text{ ตารางเซนติเมตร}$$

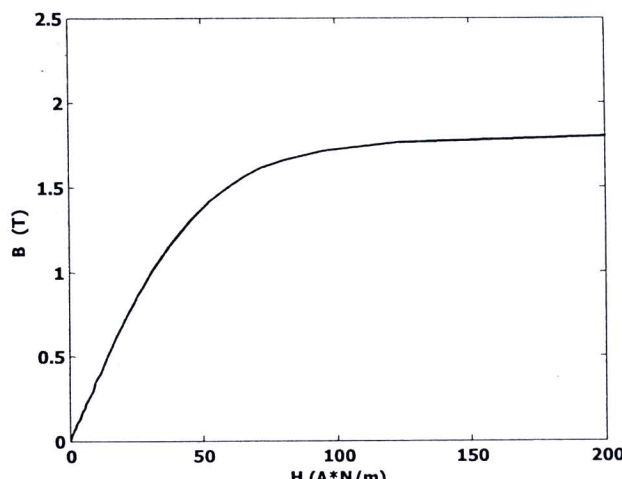
$$\text{Secondary Resistance} = 0.005 \text{ mΩ}$$

$$\text{Secondary Inductance} = 0.8 \text{ mH}$$

$$\text{Burden Resistance} = 4 \text{ Ω}$$

$$\text{Burden Inductance} = 0.08 \text{ mH}$$

ความยาวทางเดินของเส้นแรงแม่เหล็ก 63.8 เซนติเมตร ไม่มีเส้นแรงแม่เหล็กตกลง และในการทดลองจะควบคุมให้ค่าอัตราส่วน X/R ของระบบไฟฟ้ากำลังมีค่าเป็น 3 และ 30



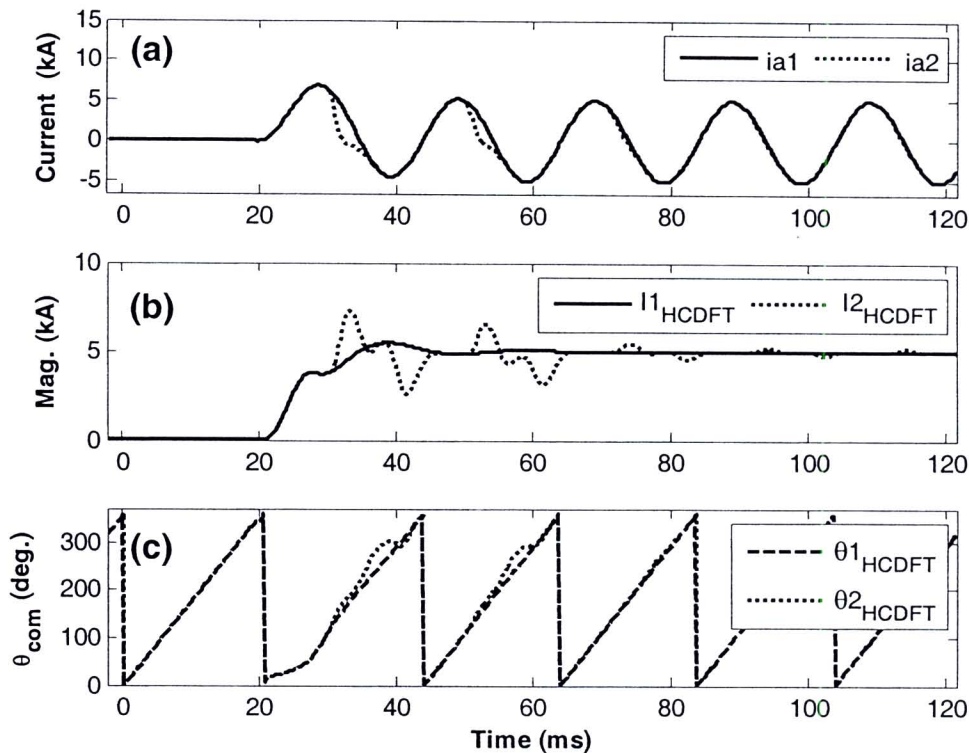
ภาพที่ 4-10 ความสัมพันธ์ระหว่างความเข้มสนามแม่เหล็ก และความหนาแน่นเส้นแรงแม่เหล็ก



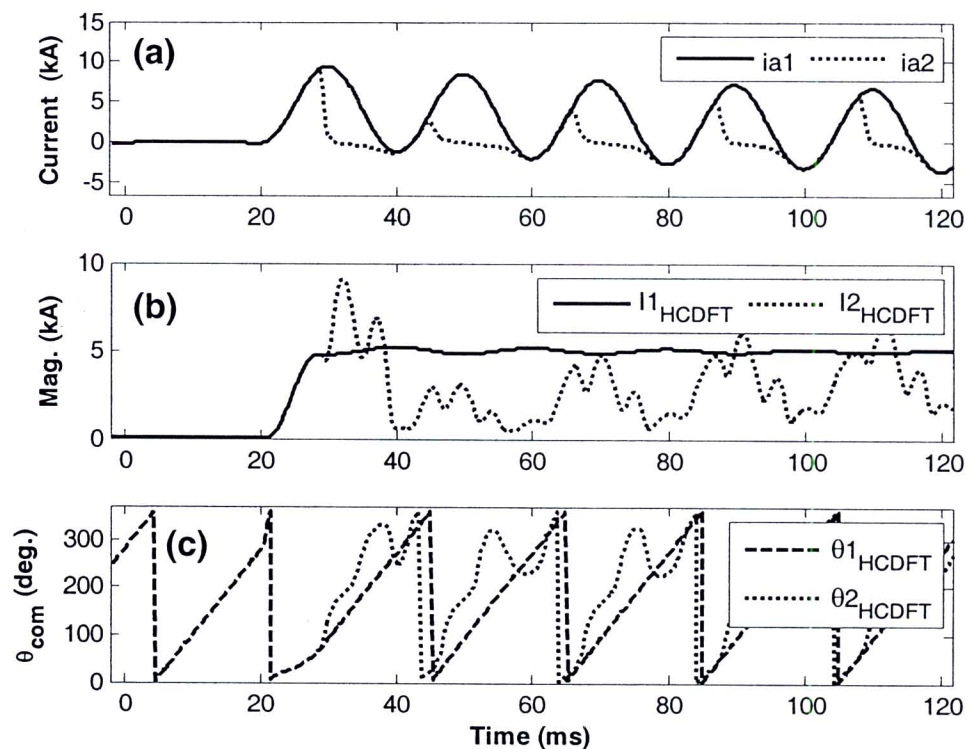
4.1.2.1 การทดลองกรณีที่ค่าอัตราส่วน X/R เป็น 3 และ 30 ตามลำดับ หม้อแปลงกระแส CT2 มีการอิ่มตัว จุดเริ่มเกิดความผิดพร่องอยู่ที่มุม 270° โดยใช้การคำนวณค่าขนาดและมุนแบบ HCDFT

สำหรับการทดลองนี้จะใช้แบบจำลองเหมือนกับการทดลองในหัวข้อ 4.1.1 ทุกประการ จะต่างกันแต่เพียง CT2 นั้นมีโอกาสที่จะเกิดการอิ่มตัวได้ การเกิดการอิ่มตัวของหม้อแปลงนั้นทำให้สัญญาณกระแสเท่าเดิม ได้จาก CT1 และ CT2 นั้นมีขนาดไม่เท่ากันในบางช่วงเวลา ดังแสดงในภาพที่ 4-11(a) และ ภาพที่ 4-12(a) การอิ่มตัวของหม้อแปลงกระแส CT2 จะยังไม่เกิดในทันทีที่เกิดความผิดพร่องขึ้น แต่จะต้องใช้ระยะเวลาครู่หนึ่งแกนของหม้อแปลงกระแสซึ่งจะเริ่มเกิดการอิ่มตัวในกรณีที่ค่าสัดส่วน X/R มีค่าเป็น 3 สัญญาณกระแสจะเกิดการผิดเพี้ยนหลังจากที่เกิดความผิดพร่องขึ้นแล้วประมาณ 10 มิลลิวินาที ในขณะที่กรณีของค่าสัดส่วน X/R มีค่าเป็น 30 หม้อแปลงกระแส CT2 จะเกิดการอิ่มตัวเร็วกว่า คือประมาณ 8 มิลลิวินาที หลังจากที่เหตุผิดพร่องได้เกิดขึ้น และการผิดเพี้ยนของสัญญาณกระแสสำหรับกรณีที่ค่าอัตรา X/R สูง จะมีความผิดเพี้ยนที่รุนแรงกว่า เมื่อเทียบกับกรณีที่ค่าอัตรา X/R มีค่าต่ำ หากอัลกอริธึมในการคำนวณขนาดนั้นเป็นแบบดั้งเดิมซึ่งใช้การแปลงฟูริเยร์ไม่ต่อเนื่องแบบครึ่งคลื่น (Half Cycle Discrete Fourier Transform, HCDFT) ผลการคำนวณขนาดของสัญญาณจะมีค่าความผิดพลาดที่สูง อิกทึ้งค่าที่คำนวณได้ก็จะมีการกระเพื่อมสูง ดังแสดงในภาพที่ 4-11(b) และ ภาพที่ 4-12(b) โดยเฉพาะค่าขนาดกระแสผิดพร่องในกรณีอัตรา X/R มีค่าเป็น 30 นั้นมีความคลาดเคลื่อนสูงมาก

ภาพที่ 4-11(b) บ่งชี้ว่าการคำนวณหาค่าขนาดของสัญญาณกระแสด้วยวิธีการแปลงฟูริเยร์ ไม่ต่อเนื่องแบบครึ่งคลื่น (HCDFT) นั้นมีความอ่อนไหวต่อสัญญาณที่ไม่ใช้สัญญาณไซนุซoidal ที่มีความถี่ 50 Hz แม้สัญญาณกระแสที่ได้จากการตรวจวัดของหม้อแปลงกระแสจาก CT1 จะไม่มีการอิ่มตัว โดยจะเห็นว่าในช่วงเวลาที่มีสัญญาณกระแสตรงที่มีลักษณะเป็นอีกโพแนนเชียลสมอยู่ผลลัพธ์ของการคำนวณค่าขนาดสัญญาณกระแสซึ่งควรที่จะเป็นค่าคงที่ขนาด 5 kA กลับมีการกระเพื่อมที่ค่อนข้างสูง และมุนของสัญญาณที่ควรจะมีลักษณะเป็นเส้นตรงที่มีความชัน 2.815° ต่อหนึ่งช่วงการสูบ แต่ผลการคำนวณกลับกลายเป็นเส้นโค้งในช่วง 20-30 มิลลิวินาที ดังแสดงในภาพที่ 4-11(c) สำหรับการคำนวณหาค่าขนาดและมุนของสัญญาณกระแสที่ได้จากหม้อแปลงกระแส CT2 ก็มีความผิดพลาดเช่นกัน สำหรับช่วงที่หม้อแปลงกระแสมีการอิ่มตัวนั้นจะมีความคลาดเคลื่อนของการคำนวณหาค่าขนาดและมุนสูงมากแต่ยังพอกาดเดาจากการมองได้ว่าขนาดของกระแสที่ถูกต้องน่าจะเป็น 5 kA แต่สำหรับกรณีที่อัตราส่วน X/R เป็น 30 นั้น CT2 เกิดการอิ่มตัวอย่างรุนแรง การคำนวณหาค่าขนาดและมุนมีการผิดเพี้ยนอย่างรุนแรงจนไม่สามารถคาดเดาด้วยสายตาได้ว่ากระแสผิดพร่องมีขนาดและมุนเท่าใด ดังแสดงในภาพที่ 4-12(b) และภาพที่ 4-12(c) ตามลำดับ

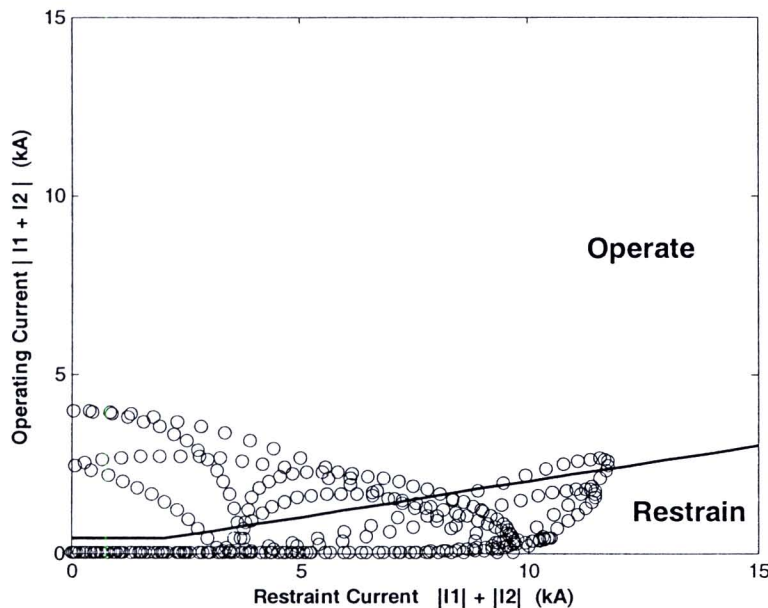


ภาพที่ 4-11 การคำนวณค่าขนาดและมุมด้วยวิธี HCDFT ในกรณีที่ $X/R = 3$

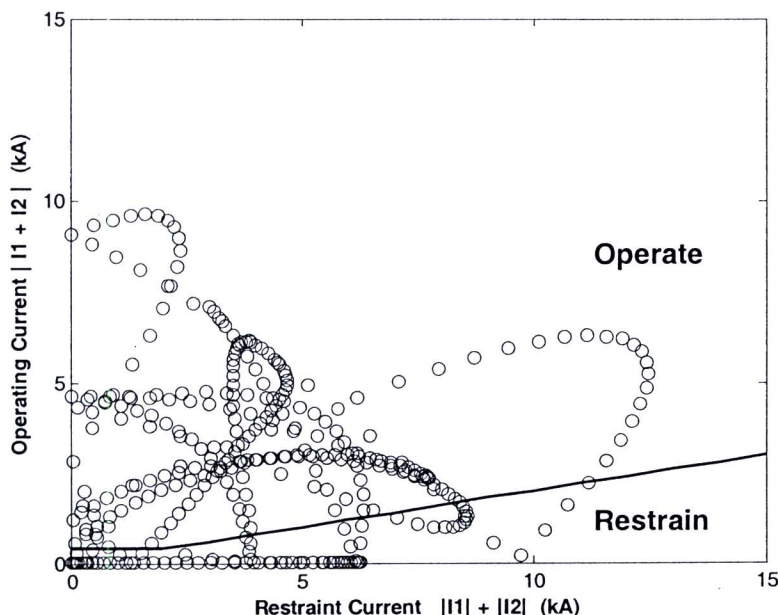


ภาพที่ 4-12 การคำนวณค่าขนาดและมุมด้วยวิธี HCDFT ในกรณีที่ $X/R = 30$

เนื่องจากผลการคำนวณขนาดและมุมเกิดความผิดพลาดอย่างสิ้นเชิงดังที่กล่าวไว้ข้างต้น ความผิดเพี้ยนดังกล่าวจะส่งผลให้กระแสทำงาน (Operating Current) มีค่าสูงเนื่องจากผลการคำนวณขนาดของกระแสจาก CT1 และ CT2 นั้นไม่เท่ากัน ส่งผลให้จุดตัดสินใจอยู่ในตำแหน่งที่สูงกว่าเส้นตัดสินใจ และทิศทางการวิ่งของจุดตัดสินใจจะมีทิศทางที่ไม่แน่นอนเนื่องจากผลการคำนวณของมุมนั้นมีการผิดเพี้ยนสูงดังแสดงในภาพที่ 4-13 และ ภาพที่ 4-14



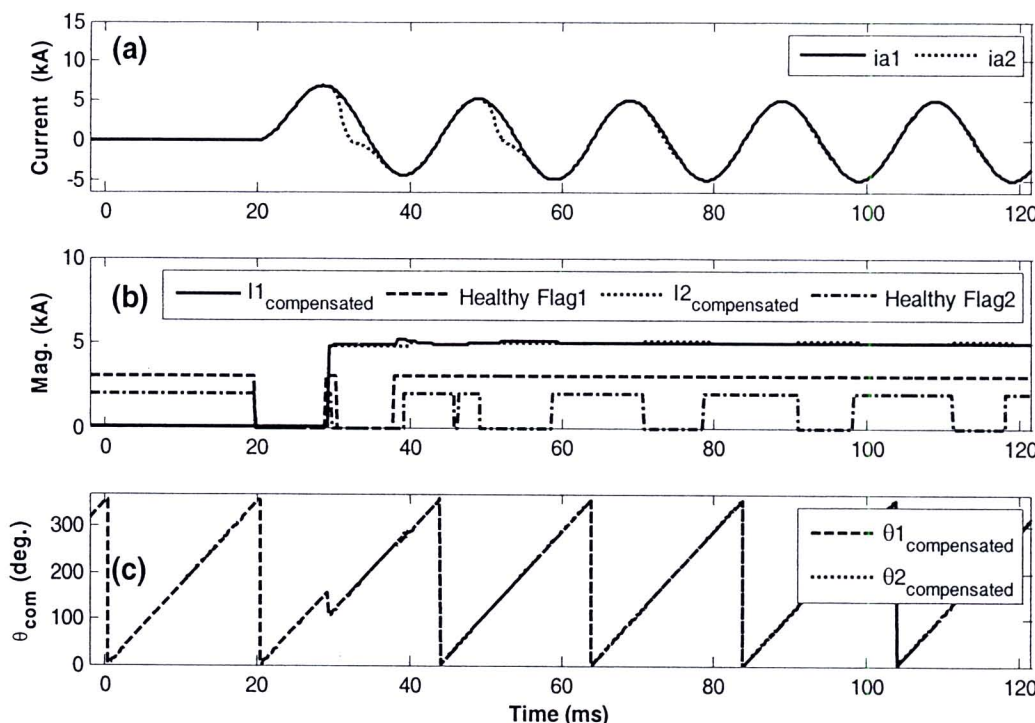
ภาพที่ 4-13 การตัดสินใจตัดวงจรของรีเล耶์ผลต่างที่คำนวณด้วยวิธี HCDFT ในกรณีที่ $X/R = 3$



ภาพที่ 4-14 การตัดสินใจตัดวงจรของรีเล耶์ผลต่างที่คำนวณด้วยวิธี HCDFT ในกรณีที่ $X/R = 30$

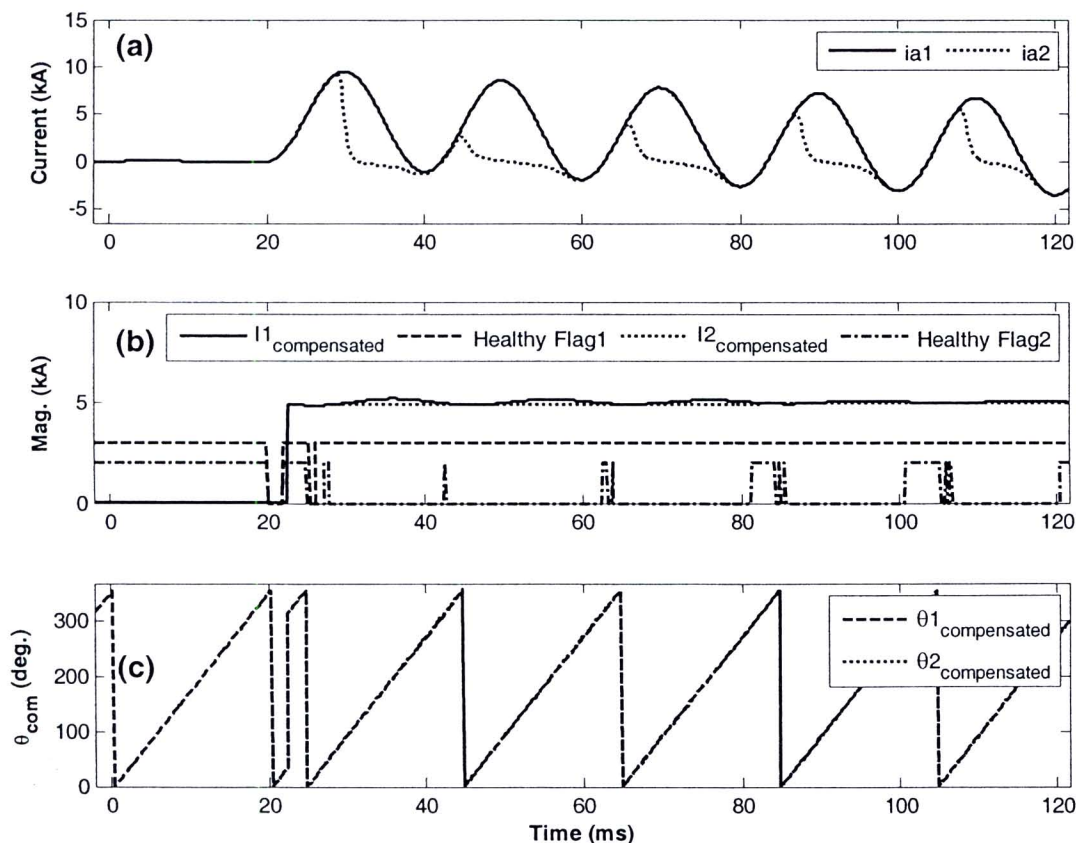
4.1.2.2 การทดลองกรณีที่ค่าอัตราส่วน X/R เป็น 3 และ 30 ตามลำดับ หม้อแปลงกระแส CT2 มีการอิ่มตัว จุดเริ่มเกิดความผิดพร่องอยู่ที่มุม 270° โดยใช้อัลกอริธึมที่งานวิจัยนี้นำเสนอ สำหรับการคำนวณค่าขนาดและมุมด้วยอัลกอริธึมที่งานวิจัยนี้นำเสนอ สามารถทำได้ อย่างถูกต้อง แม้จะมีการอิ่มตัวของหม้อแปลงกระแสอย่างรุนแรง ผลของการคำนวณค่าขนาดของ สัญญาณกระแสแก้ยังคงอยู่ที่ 5 kA เมื่อนั่งที่ควรจะเป็น ดังแสดงในภาพที่ 4-15(b) การกระเพื่อม ของสัญญาณขนาดมีเพียงเล็กน้อยเมื่อเทียบกับการคำนวณด้วยวิธีแบบดั้งเดิม (HCDFT)

ภาพที่ 4-15 เป็นผลของการคำนวณค่าขนาดและมุมด้วยวิธีของงานวิจัยนี้ ในกรณีที่ X/R = 3 โดยสัญญาณ Healthy Flag2 ในภาพที่ 4-15(b) เป็นตัวบ่งชี้ว่าสัญญาณกระแสจากหม้อแปลงกระแส CT2 ช่วงใดที่สามารถนำไปใช้ในการตัดสินใจของรีเลย์ได้ โดยจะเห็นว่าสัญญาณ Healthy Flag2 นี้ จะอยู่ในสภาวะทำงานเฉพาะช่วงที่สัญญาณกระแส CT2 ไม่มีการอิ่มตัวเท่านั้น สำหรับสัญญาณ Healthy Flag1 ซึ่งเป็นตัวบ่งชี้คุณภาพของสัญญาณกระแสที่ได้จากหม้อแปลงกระแส CT1 ว่า ช่วงเวลาใดมีคุณภาพดี เนื่องจากอิทธิพลของสัญญาณເອັກໂພນ໌ເຊີລັດທີ່ໄດ້ລ່າວົດົງໃນຫຼັບຂອງ ກ່ອນໜ້າ ສัญญาณ Healthy Flag1 จะเริ่มอยู่ในสภาวะทำงานในจังหวะที่ความชันของสัญญาณกระแสเป็นศูนຍ໌ ທັງຈາກຜ່ານຄານສัญญาณແຮກໄປ ສัญญาณ Healthy Flag1 ນັ້ນຈະอยู่ໃນสภาวะทำงานเสมอ ເນື່ອຈາກສัญญาณຈາກหม้อแปลงกระแส CT1 ไม่มีการผิดเพี้ຍ



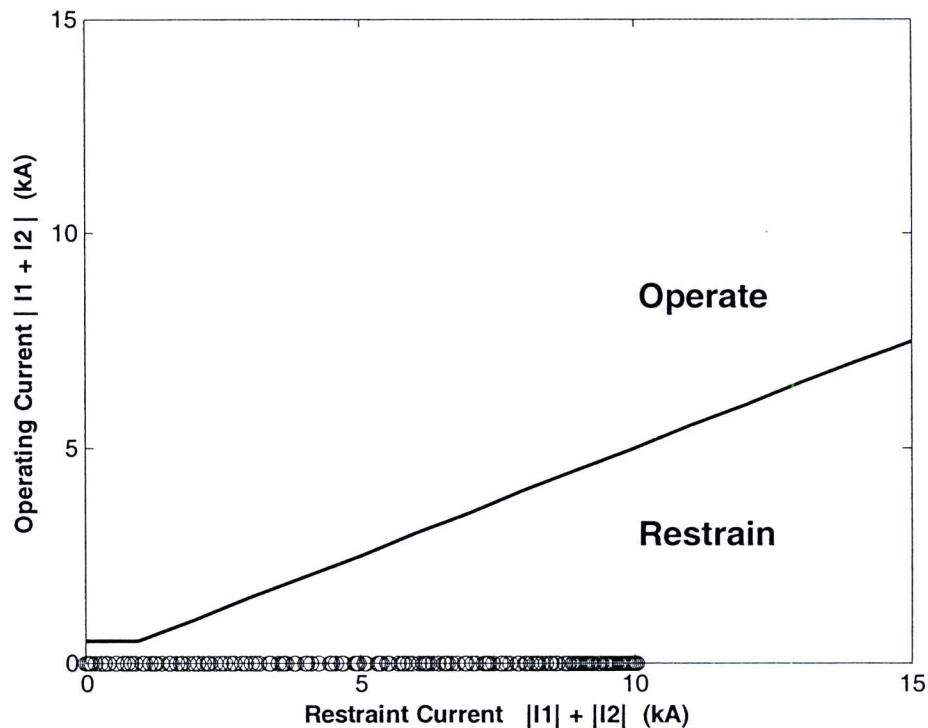
ภาพที่ 4-15 การคำนวณค่าขนาดและมุมด้วยวิธีของงานวิจัยนี้ ในกรณีที่ X/R = 3

ภาพที่ 4-16 เป็นผลของการคำนวณค่าขนาดและมุมด้วยวิธีของงานวิจัยนี้ ในกรณีที่อัตราส่วน $X/R = 30$ โดยสัญญาณ Healthy Flag2 ในภาพที่ 4-15(b) เป็นตัวบ่งชี้ว่าสัญญาณกระแสจากหม้อแปลงกระแส CT2 ช่วงใดที่สามารถนำໄไปใช้ในการตัดสินใจของรีเลียได้ โดยจะเห็นว่าสัญญาณ Healthy Flag2 นี้จะอยู่ในสภาวะทำงานในช่วงที่เกบกว่ากรณีที่อัตราส่วน $X/R = 3$ เนื่องจากสัญญาณกระแสที่ได้จากหม้อแปลงกระแส CT2 นั้นมีการผิดเพี้ยนที่รุนแรงกว่ามาก อย่างไรก็ตาม อัลกอริธึมที่ยังสามารถตรวจจับสัญญาณคุณภาพได้ในทุก ๆ คานของสัญญาณกระแส สำหรับผลการคำนวณค่าขนาดและมุมของสัญญาณกระแสทั้งจากหม้อแปลงกระแส CT1 และ CT2 นั้นทำได้อย่างถูกต้อง ดังแสดงในภาพที่ 4-16(b) และภาพที่ 4-16(c)

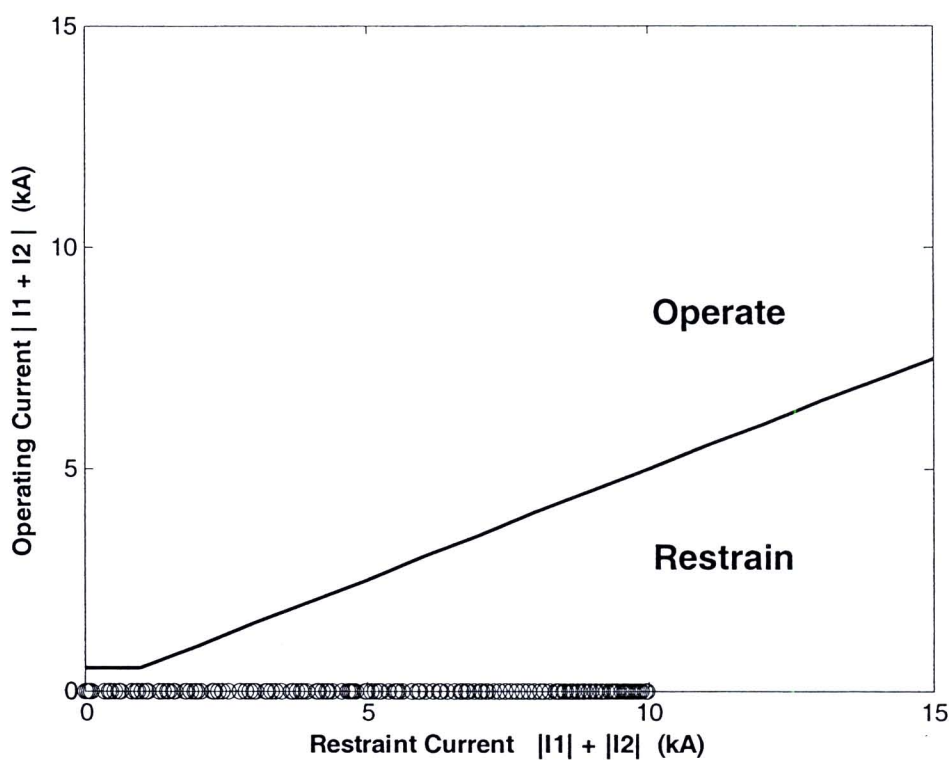


ภาพที่ 4-16 การคำนวณค่าขนาดและมุมด้วยวิธีของงานวิจัยนี้ ในกรณีที่ $X/R = 30$

ผลการตัดสินใจของรีเลียผลิต่างในกรณีที่อัตราส่วน X/R เป็น 3 และ 30 นั้นทำได้ถูกต้องเช่นกัน คือ ไม่มีการสั่งเปิดวงจรของเซอร์กิตเบรกเกอร์ เมื่อจากค่าของกระแสทำงาน (Operating Current) มีค่าต่ำมาก จุดตัดสินใจจึงอยู่ต่ำกว่าเส้นตัดสินใจเสมอ ดังแสดงไว้ในภาพที่ 4-17 และภาพที่ 4-18 ตามลำดับ สำหรับผลการทดลองของการเกิดความผิดพร่องที่มุนอื่น ๆ นั้นได้แสดงไว้ในตารางที่ 4-2



ภาพที่ 4-17 การตัดสินใจตัดวงจรของรีเลย์ผลต่างที่คำนวณด้วยวิธีของงานวิจัยนี้ในกรณีที่ $X/R = 3$



ภาพที่ 4-18 การตัดสินใจตัดวงจรของรีเลย์ผลต่างที่คำนวณด้วยวิธีของงานวิจัยนี้ในกรณีที่ $X/R = 30$

ตารางที่ 4-2 การทดสอบในกรณีเกิดความผิดพลาดร่องภายนอกและมีการอิ่มตัวของหน้าจอเปล่งกระแสง

การทดลองที่	ชนิดของความผิดพลาด	การอิ่มตัวของ CT2	มุมเริ่มเกิดเหตุ	X/R	ผลการทำงาน	
					รีเลย์ตั้งเดิม (HCDFT)	รีเลย์ของงานวิจัยนี้
1.1.2.1	ภายนอก	มีการอิ่มตัว	330	3	ผิดพลาด (สั่งตัวคงจร)	ถูกต้อง (ไม่ตัดวงจร)
1.1.2.2	ภายนอก	มีการอิ่มตัว	330	30	ผิดพลาด (สั่งตัวคงจร)	ถูกต้อง (ไม่ตัดวงจร)
1.1.2.3	ภายนอก	มีการอิ่มตัว	300	3	ผิดพลาด (สั่งตัวคงจร)	ถูกต้อง (ไม่ตัดวงจร)
1.1.2.4	ภายนอก	มีการอิ่มตัว	300	30	ผิดพลาด (สั่งตัวคงจร)	ถูกต้อง (ไม่ตัดวงจร)
1.1.2.5	ภายนอก	มีการอิ่มตัว	270	3	ผิดพลาด (สั่งตัวคงจร)	ถูกต้อง (ไม่ตัดวงจร)
1.1.2.6	ภายนอก	มีการอิ่มตัว	270	30	ผิดพลาด (สั่งตัวคงจร)	ถูกต้อง (ไม่ตัดวงจร)
1.1.2.7	ภายนอก	มีการอิ่มตัว	240	3	ผิดพลาด (สั่งตัวคงจร)	ถูกต้อง (ไม่ตัดวงจร)
1.1.2.8	ภายนอก	มีการอิ่มตัว	240	30	ผิดพลาด (สั่งตัวคงจร)	ถูกต้อง (ไม่ตัดวงจร)
1.1.2.9	ภายนอก	ไม่มีการอิ่มตัว	210	3	ถูกต้อง (ไม่ตัดวงจร)	ถูกต้อง (ไม่ตัดวงจร)
1.1.2.10	ภายนอก	มีการอิ่มตัว	210	30	ผิดพลาด (สั่งตัวคงจร)	ถูกต้อง (ไม่ตัดวงจร)
1.1.2.11	ภายนอก	ไม่มีการอิ่มตัว	180	30	ถูกต้อง (ไม่ตัดวงจร)	ถูกต้อง (ไม่ตัดวงจร)

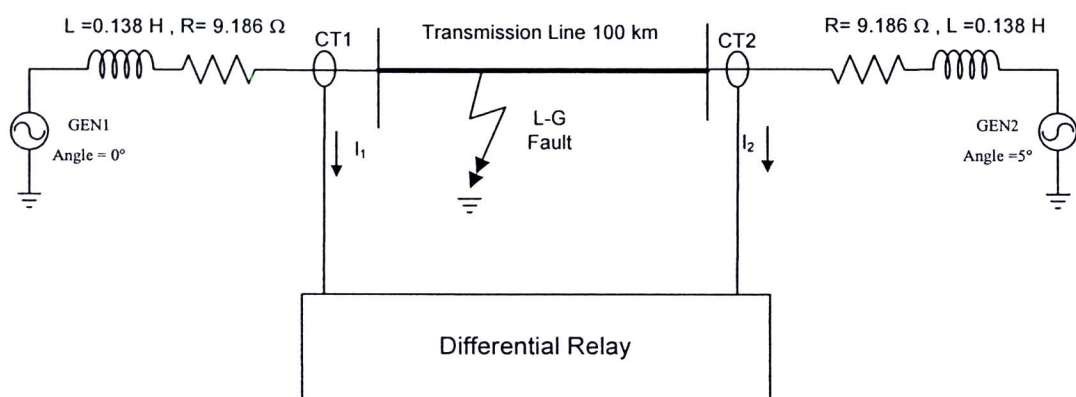
ตารางที่ 4-2 (ต่อ)

การ ทดสอบ ที่	ชนิดของ ความ ผิดพร่อง	การอิ่มตัว ของ CT2	มุมเริ่มเกิด เหตุ ผิดพร่อง	X/R	ผลการทำงาน	
					รีเลย์ตั้งเดิม (HCDFT)	รีเลย์ของ งานวิจัยนี้
1.1.2.12	ภายนอก	มีการอิ่มตัว	150	3	ผิดพลาด (สั่งตัวคงจร)	ถูกต้อง (ไม่ตัวคงจร)
1.1.2.13	ภายนอก	มีการอิ่มตัว	150	30	ผิดพลาด (สั่งตัวคงจร)	ถูกต้อง (ไม่ตัวคงจร)
1.1.2.14	ภายนอก	มีการอิ่มตัว	120	3	ผิดพลาด (สั่งตัวคงจร)	ถูกต้อง (ไม่ตัวคงจร)
1.1.2.15	ภายนอก	มีการอิ่มตัว	120	30	ผิดพลาด (สั่งตัวคงจร)	ถูกต้อง (ไม่ตัวคงจร)
1.1.2.16	ภายนอก	มีการอิ่มตัว	90	3	ผิดพลาด (สั่งตัวคงจร)	ถูกต้อง (ไม่ตัวคงจร)
1.1.2.17	ภายนอก	มีการอิ่มตัว	90	30	ผิดพลาด (สั่งตัวคงจร)	ถูกต้อง (ไม่ตัวคงจร)
1.1.2.18	ภายนอก	มีการอิ่มตัว	60	3	ผิดพลาด (สั่งตัวคงจร)	ถูกต้อง (ไม่ตัวคงจร)
1.1.2.19	ภายนอก	มีการอิ่มตัว	60	30	ผิดพลาด (สั่งตัวคงจร)	ถูกต้อง (ไม่ตัวคงจร)
1.1.2.20	ภายนอก	ไม่มีการ อิ่มตัว	30	3	ถูกต้อง (ไม่ตัวคงจร)	ถูกต้อง (ไม่ตัวคงจร)
1.1.2.21	ภายนอก	มีการอิ่มตัว	30	30	ผิดพลาด (สั่งตัวคงจร)	ถูกต้อง (ไม่ตัวคงจร)
1.1.2.22	ภายนอก	ไม่มีการ อิ่มตัว	0	30	ถูกต้อง (ไม่ตัวคงจร)	ถูกต้อง (ไม่ตัวคงจร)

4.1.3 การทดสอบการทำงานในกรณีของการเกิดเหตุผิดพร่องภายในที่สายส่ง

ในหัวข้อการทดสอบนี้จะทำการทดสอบอัลกอริธึมโดยใช้สัญญาณกระแสที่ได้จากแบบจำลองคอมพิวเตอร์ที่กำหนดให้เกิดเหตุผิดพร่องชนิดหนึ่งเพื่อสังเกตุการตอบสนองของระบบในภาพที่ 4-19 ซึ่งประกอบด้วยสายส่งยาว 100 km ที่ปลายทั้งสองด้านของสายส่งจะต่ออยู่กับเครื่อง

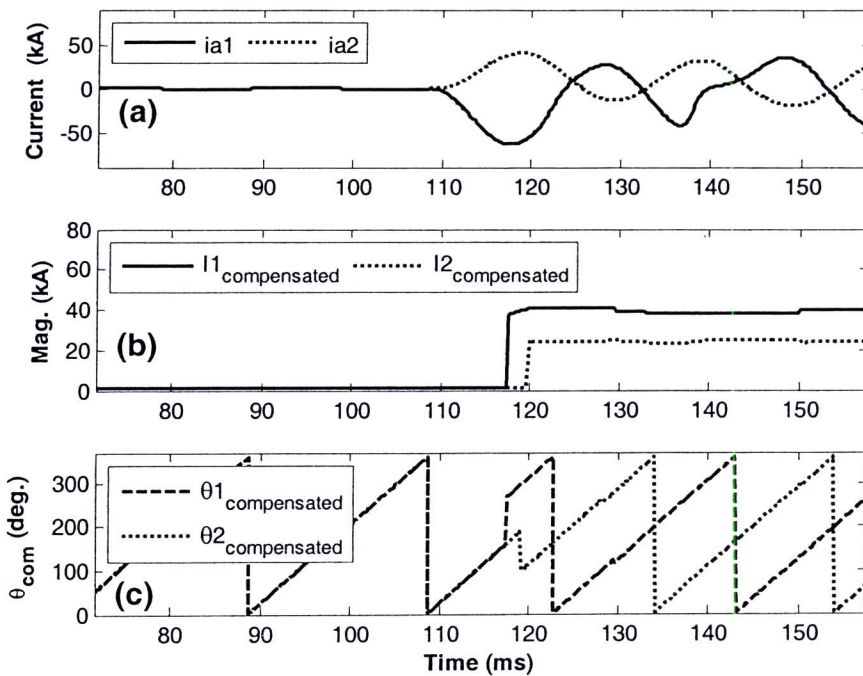
กำเนิดไฟฟ้าที่มีค่าความเหนี่ยวนำและค่าความต้านทานเป็น 0.138H และ 9.186Ω ตามลำดับ โดยกำหนดให้เครื่องกำเนิดไฟฟ้าทั้งสองตัวมีแรงดัน 230kV และแรงดันของเครื่องกำเนิดไฟฟ้า GEN2 มีมุมนำหน้า GEN1 อยู่ 5° กำหนดให้ความผิดพร่องเกิดที่ระยะ $10 20 30 40 50 60 70 80$ และ 90 กิโลเมตรจากทางซ้าย แล้วนำสัญญาณกระแสที่ได้จากการตรวจวัดโดยหม้อแปลงกระแส CT1 และ CT2 ป้อนให้กับรีเลย์ผลต่างซึ่งใช้อัลกอริธึมของงานวิจัยนี้เพื่อตรวจสอบว่าอัลกอริธึมทำงานได้ถูกต้องหรือไม่ โดยในการทดลองจะกำหนดให้ทั้ง CT1 และ CT2 สามารถมีการอิ่มตัวได้



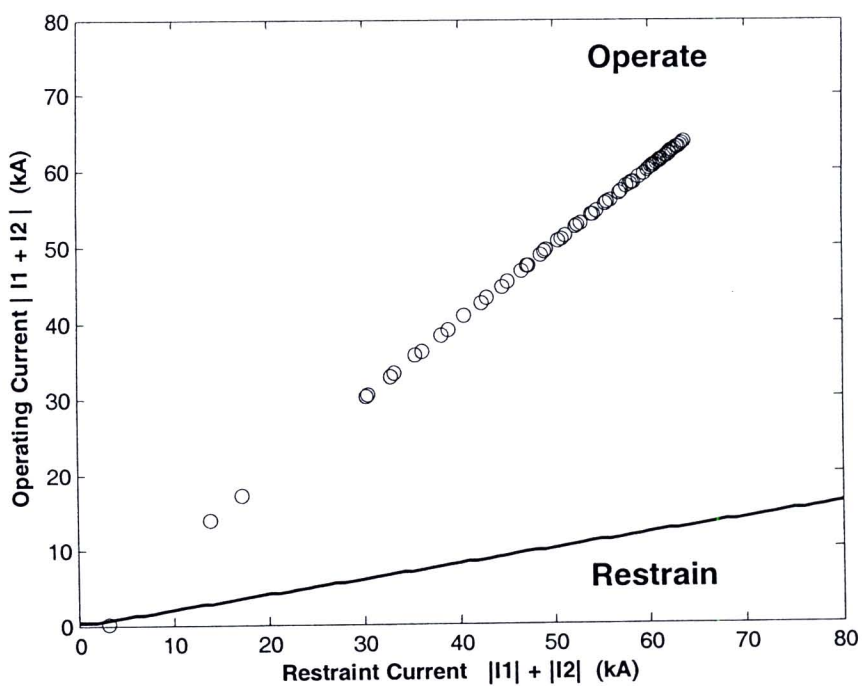
ภาพที่ 4-19 แบบจำลองของระบบที่เกิดเหตุผิดพร่องที่สายส่ง

4.1.3.1 เหตุผิดพร่องเกิดขึ้นบนสายส่งที่ระยะ 20 กิโลเมตร

ในการทดลองนี้กำหนดให้ความผิดพร่องเกิดขึ้นที่ระยะ 20 กิโลเมตรจากทางซ้ายส่งผลให้เกิดกระแสผิดพร่องขึ้นดังแสดงในภาพที่ 4-20(a) จะเห็นได้ว่ากระแสที่ตรวจวัดได้จากหม้อแปลงกระแส CT1 นั้นจะมีขนาดที่สูงกว่าสัญญาณกระแสที่ตรวจวัดได้จากหม้อแปลงกระแส CT2 ทั้งนี้เป็นเพราะความผิดพร่องนั้นอยู่ใกล้เครื่องกำเนิดไฟฟ้า GEN1 มากกว่า GEN2 กระแสที่สูงดังกล่าวส่งผลให้เกนของหม้อแปลงกระแส CT1 เกิดการอิ่มตัว ผลของการคำนวณหาค่าขนาดของสัญญาณกระแสทั้งสองนั้นทำได้อย่างถูกต้องดังแสดงในภาพที่ 4-20(b) โดยสัญญาณกระแสที่ตรวจวัดได้จาก CT1 นั้นมีขนาดประมาณ 40kA ในขณะที่ สัญญาณกระแสที่ตรวจวัดได้จาก CT2 นั้นมีขนาดประมาณ 25kA นุ่มนวลของสัญญาณกระแสที่ตรวจวัดได้จากหม้อแปลงกระแส CT1 ล้าหลัง CT2 อยู่ประมาณ 160° ดังที่ได้แสดงไว้ในภาพที่ 4-20(c) อัลกอริธึมของรีเลย์ผลต่างที่งานวิจัยนี้นำเสนอสามารถตรวจจับเหตุผิดพร่องได้ถูกต้องดังแสดงผลการตรวจจับเหตุผิดพร่องไว้ดังภาพที่ 4-21 โดยจุดศูนย์กลางที่เกิดขึ้นนั้นจะเรียงตัวกันเป็นเส้นตรงที่มีความชันประมาณ 100% โดยระยะเวลาที่ใช้ในการตรวจจับเหตุผิดพร่องซึ่งเริ่มนับจากจุดเริ่มเกิดเหตุผิดพร่อง ใช้เวลา 9.7 มิลลิวินาที



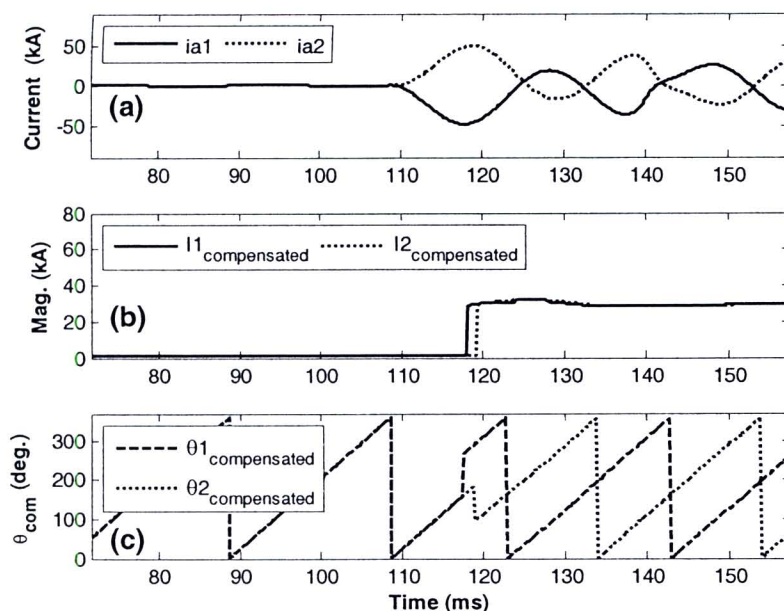
ภาพที่ 4-20 การคำนวณค่าขนาดและมุมของกระแสผิดพร่องบนสายส่งที่ระยะ 20 km



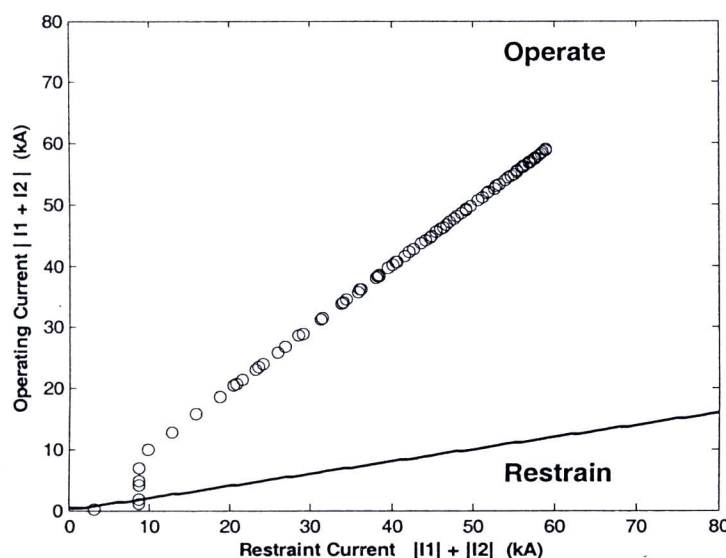
ภาพที่ 4-21 การตัดสินใจของรีเลย์กรามีที่เกิดความผิดพร่องบนสายส่งที่ระยะ 20 km

4.1.3.2 การทดสอบอัลกอริธึมของรีเลย์ในกรณีที่เหตุผิดพร่องเกิดขึ้นบนสายส่งที่ระยะ 50 กิโลเมตร

สำหรับการทดลองนี้กำหนดให้ความผิดพร่องเกิดขึ้นที่ตำแหน่งกึ่งกลางของสายส่งพอดีส่งผลให้สัญญาณกระแสที่ตรวจวัดได้จากหม้อแปลงกระแส CT1 และ CT2 นั้นมีขนาดเท่ากันพอดีแต่มีทิศทางตรงข้ามกันดังแสดงในภาพที่ 4-22 และการตัดสินใจสั่งปลดวงจรนั้นทำได้ถูกต้องดังแสดงในภาพที่ 4-23 อัลกอริธึมใช้เวลาในการตรวจจับ 9.4 มิลลิวินาทีในการตัดสินใจ



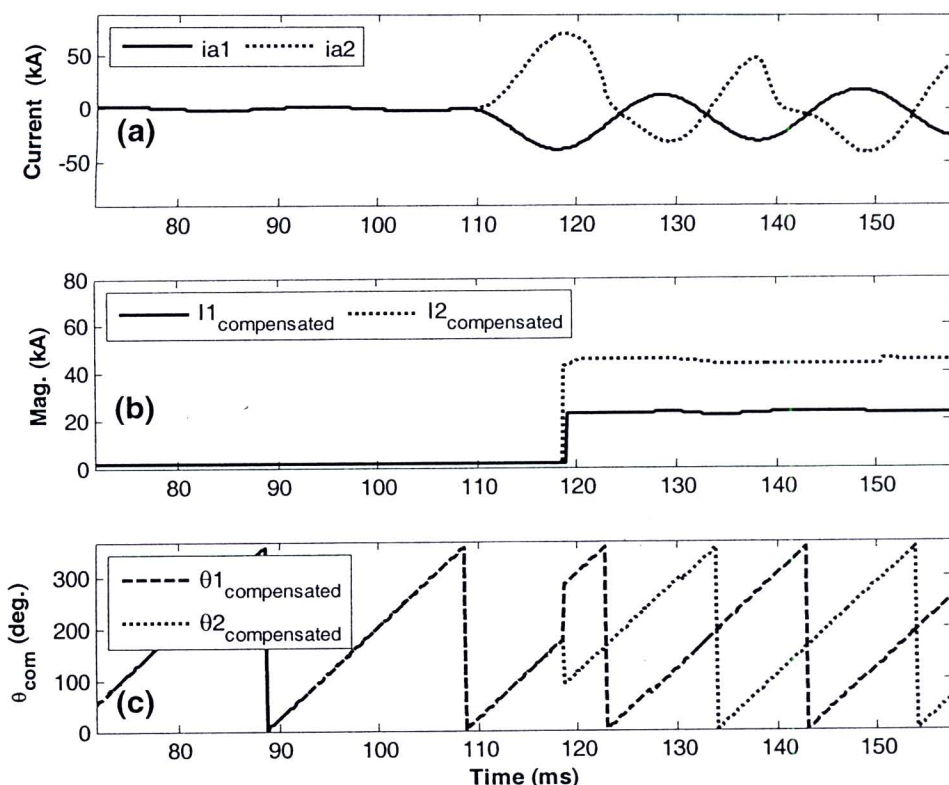
ภาพที่ 4-22 การคำนวณค่าขนาดและมุมของกระแสผิดพร่องบนสายส่งที่ระยะ 50 km



ภาพที่ 4-23 การตัดสินใจของรีเลย์กรณีที่เกิดความผิดพร่องบนสายส่งที่ระยะ 50 km

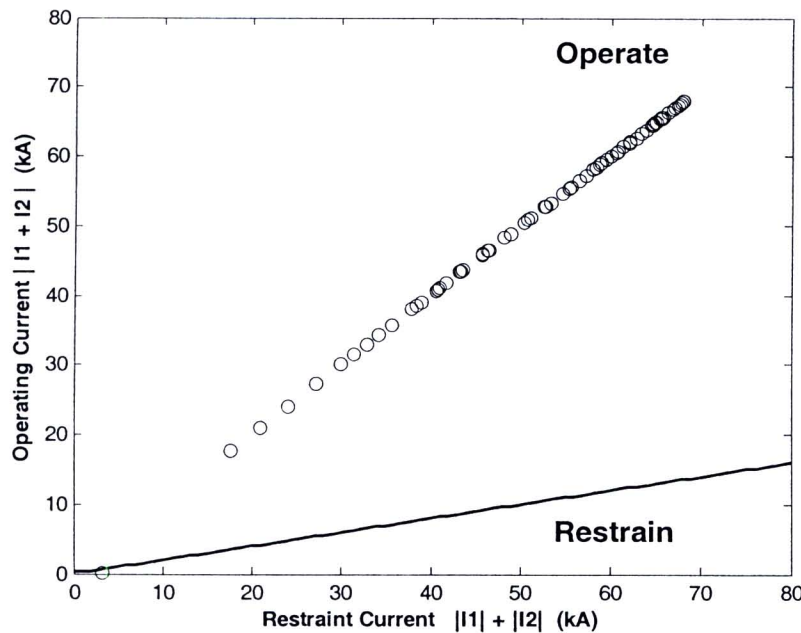
4.1.3.3 การทดสอบอัลกอริธึมของรีเลีย์ในกรณีที่เหตุผิดพร่องเกิดขึ้นบนสายส่งที่ระยะ 90 กิโลเมตร

ในการทดลองนี้กำหนดให้ความผิดพร่องเกิดขึ้นที่ระยะ 90 กิโลเมตรจากทางซ้าย ส่งผลให้เกิดกระแสผิดพร่องขึ้นดังแสดงในภาพที่ 4-24(a) จะเห็นได้ว่ากระแสที่ตรวจวัดได้จาก CT2 นั้นจะมีขนาดที่สูงกว่าสัญญาณกระแสที่ตรวจวัดได้จาก CT1 ทั้งนี้เป็นเพราะความผิดพร่องนั้นอยู่ใกล้เครื่องกำเนิดไฟฟ้า GEN2 มากกว่า กระแสที่สูงดังกล่าวส่งผลให้แกนของหม้อแปลงกระแส CT2 เกิดการอิ่มตัว ผลของการคำนวณหาขนาดของสัญญาณกระแสทั้งสองนั้นทำได้อย่างถูกต้องโดยกระแสที่วัดได้จากหม้อแปลงกระแส CT1 และ CT2 มีขนาด 23 kA และ 44 kA ตามลำดับ ดังแสดงในภาพที่ 4-24(b) และมุมของสัญญาณกระแสที่ตรวจวัดได้จาก CT1 และ CT2 นั้นจะมีมุมต่างกันประมาณ 160° ดังที่ได้แสดงไว้ในภาพที่ 4-24(c)



ภาพที่ 4-24 การคำนวณค่าขนาดและมุมของกระแสผิดพร่องบนสายส่งที่ระยะ 90 km

อัลกอริธึมของรีเลีย์ผลต่างที่งานวิจัยนี้นำเสนอสามารถตรวจจับเหตุผิดพร่องได้ถูกต้องโดยจุดตัดสินใจนั้นอยู่ในตำแหน่งที่อยู่เหนือเส้นตัดสินใจ โดยแต่ละจุดจะเรียงตัวกันเป็นเส้นตรงที่มีความชันเกือบ 100% ดังแสดงผลการตรวจจับเหตุผิดพร่องไว้ในภาพที่ 4-25 โดยระยะเวลาที่ใช้ในการตรวจจับเหตุผิดพร่อง 9.1 มิลลิวินาที



ภาพที่ 4-25 การตัดสินใจตัดวงจรของรีเลย์ผลต่างในกรณีที่เกิดความผิดพร่องบนสายส่ง
ที่ระยะ 90 km

สำหรับผลการทดลองในกรณีที่ความผิดพร่องเกิดที่จุดอื่น ๆ นั้น ได้รวบรวมรายละเอียดและผลการทดลองไว้โดยตารางที่ 4-3

ตารางที่ 4-3 รายละเอียดและผลการทดลองของเหตุผิดพร่องบนสายส่ง

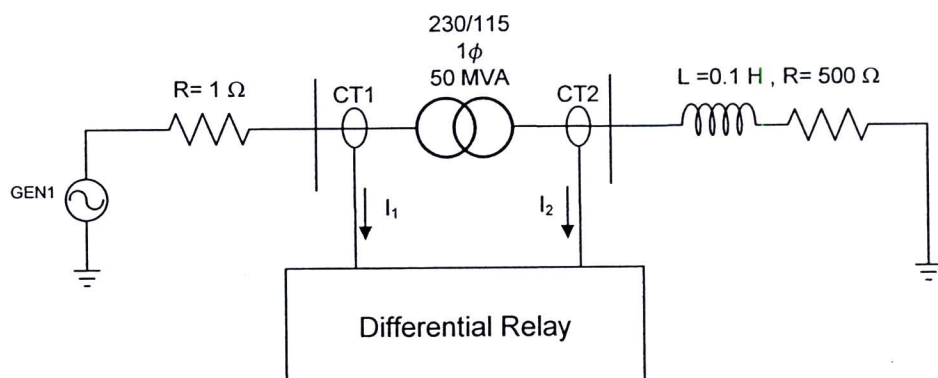
การทดลองที่	ตำแหน่ง	การอิมตัวของ	ผลการทำงาน	เวลาที่ใช้ในการตัดสินใจ
1.2.1	10 km	มีการอิมตัวที่ CT1	ถูกต้อง (สั่งตัดวงจร)	9.1 ms
1.2.2	20 km	มีการอิมตัวที่ CT1	ถูกต้อง (สั่งตัดวงจร)	9.7 ms
1.2.3	30 km	มีการอิมตัวที่ CT1 CT2	ถูกต้อง (สั่งตัดวงจร)	9.5 ms
1.2.4	40 km	มีการอิมตัวที่ CT1 CT2	ถูกต้อง (สั่งตัดวงจร)	9.8 ms
1.2.5	50 km	มีการอิมตัวที่ CT1 CT2	ถูกต้อง (สั่งตัดวงจร)	9.4 ms

ตารางที่ 4-3 (ต่อ)

การทดสอบที่	ตำแหน่ง	การอิ่มตัวของ CT	ผลการทำงาน	เวลาที่ใช้ในการตัดสินใจ
1.2.7	70 km	มีการอิ่มตัวที่ CT1 CT2	ถูกต้อง (สั่งตัดวงจร)	9.1 ms
1.2.8	80 km	มีการอิ่มตัวที่ CT2	ถูกต้อง (สั่งตัดวงจร)	8.8 ms
1.2.9	90 km	มีการอิ่มตัวที่ CT2	ถูกต้อง (สั่งตัดวงจร)	9.1 ms

4.1.4 การทดสอบการทำงานในกรณีของการเกิดเหตุผิดพร่องที่หม้อแปลง

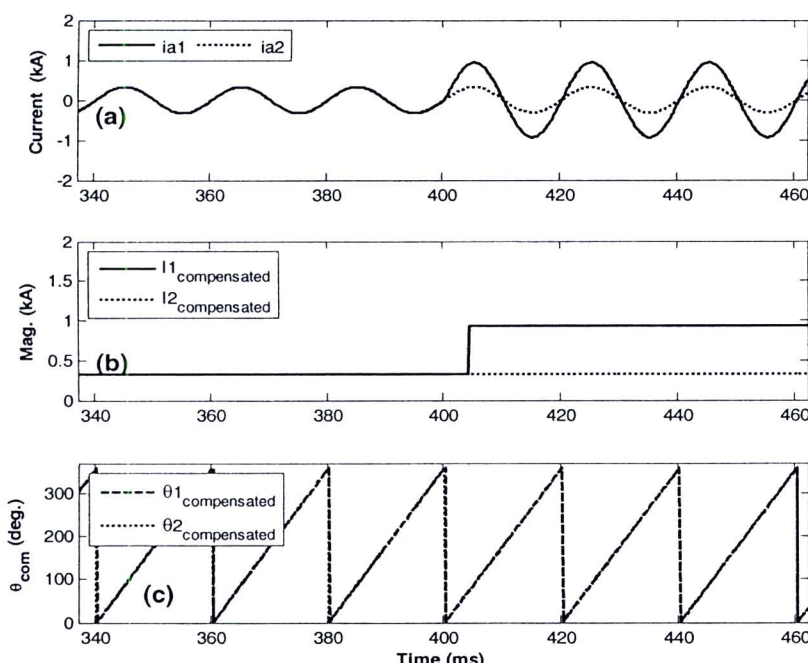
หัวข้อการทดสอบนี้จะทำการทดสอบในกรณีที่เกิดเหตุผิดพร่องขึ้นภายในหม้อแปลงชนิดหนึ่งเฟส โดยสัญญาณที่ใช้ในการทดสอบนี้ได้มาจากการจำลองด้วยแบบจำลองดังแสดงใน Error! Reference source not found. ซึ่งประกอบด้วยเครื่องกำเนิดไฟฟ้าอุดมคติขนาด 230 kV ส่งผ่านกระแสไฟฟ้าผ่านตัวต้านทานขนาด 1Ω ไปยังหม้อแปลง 230/115 kV ที่ขดลวดทุติยภูมิของหม้อแปลงนั้นต่ออยู่กับภาระซึ่งเป็นตัวเหนี่ยวนำและตัวต้านทานขนาด $0.1H$ และ 500Ω ตามลำดับ ในแบบจำลองจะกำหนดให้ความผิดพร่องชนิดหนึ่งเฟสลงดินผ่านตัวต้านทาน 0.1Ω เกิดขึ้นที่ตำแหน่งต่างๆ ของขดลวด ปฐมภูมิและทุติยภูมิ โดยความผิดพร่องเกิดที่ตำแหน่ง 1%, 3%, 5%, 10%, 20%, 30%, 40%, 50%, 60%, 70%, 80%, 90%, 95% และ 99% ของขดลวดต้านปฐมภูมิ และต้านทุติยภูมิ (ปลายขดลวดที่ตำแหน่ง 100% ของขดลวดหม้อแปลงจะต่ออยู่กับสายเฟส ส่วนปลายขดลวดตำแหน่ง 0% ต่ออยู่กับสายดิน) โดยรายละเอียดและผลการทดลองของความผิดพร่องที่ขดลวดปฐมภูมิและขดลวด ทุติยภูมิได้แสดงไว้ดังตารางที่ 4-4 และตารางที่ 4-5 ตามลำดับ



ภาพที่ 4-26 แบบจำลองที่ใช้ในการทดสอบกรณีเกิดเหตุผิดพร่องในหม้อแปลง

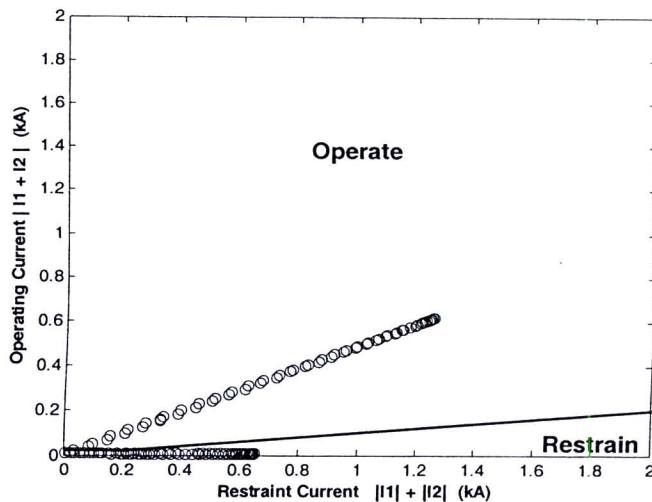
4.1.4.1 การทดสอบอัลกอริธึมของรีเลย์ในกรณีที่เหตุผิดพร่องเกิดขึ้นที่ 1% ของคลาวด์ปฐมภูมิ

ในการทดสอบหัวข้อนี้จะทำการทดสอบในกรณีที่ความผิดพร่องเกิดขึ้นที่ตำแหน่ง 1% ของคลาวด์ปฐมภูมิ นั่นหมายความว่าขณะเกิดความผิดพร่อง แรงดัน 230 kV ที่จ่ายมาจากเครื่องกำเนิดไฟฟ้านั้นจะต่ออยู่กับคลาวด์ปฐมภูมิเพียงแค่ 99% เท่านั้น ส่วนปลายทั้งสองข้างของคลาวด์ที่เหลืออีก 1% จะถูกลัดวงจรผ่านทางดิน ภาพที่ 4-27 แสดงผลลัพธ์ของกระแส (สัญญาณกระแสค้านปฐมภูมิที่แสดง เป็นสัญญาณกระแสที่ถ่ายโอนมา�ังค้านทุติยภูมิแล้ว)



ภาพที่ 4-27 การคำนวณค่าขนาดและมุมของกระแสผิดพร่องที่คลาวด์ปฐมภูมิตำแหน่ง 1%

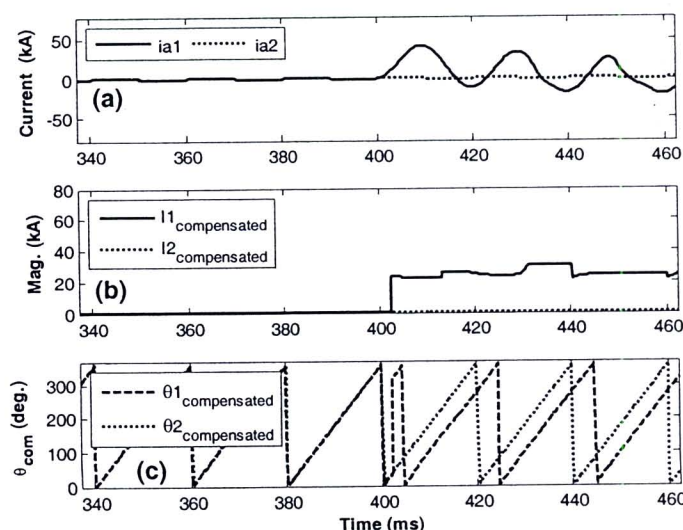
สัญญาณกระแสที่ตรวจวัดได้จากหน้าจอแปลงกระแส CT1 และ CT2 ดังแสดงในภาพที่ 4-27(a) ในช่วงแรก กระแสทั้งสองจะมีขนาดเท่ากันพอดี แต่หลังจากที่ความผิดพร่องเกิดขึ้นที่เวลา 400 มิลลิวินาที ส่งผลให้กระแสค้านปฐมภูมิมีค่าสูงขึ้น ในทางตรงกันข้าม กระแสค้านทุติยภูมิจะมีขนาดลดลงเล็กน้อย เนื่องจากเกิดแรงดันตกขณะเกิดความผิดพร่อง ผลต่างของกระแสทั้งสองส่งผลให้กระแสทำงานมีค่าสูงขึ้น จากเดิมก่อนการเกิดความผิดพร่องจุดตัดสินใจจะวิ่งเป็นเส้นตรง แนวระนาบดังแสดงในภาพที่ 4-28 แต่หลังจากที่ความผิดพร่องเกิดขึ้น จุดตัดสินใจจะวิ่งเป็นเส้นตรงที่มีความชันประมาณ 50% ซึ่งอยู่สูงกว่าเส้นตัดสินใจของรีเลย์ผลต่างซึ่งตั้งไว้ที่ 10% ส่งผลให้รีเลย์สั่งปลดวงจร ซึ่งเป็นการตัดสินใจที่ถูกต้อง โดยในการตัดสินใจของรีเลย์ใช้เวลา 4.5 มิลลิวินาที



ภาพที่ 4-28 การตัดสินใจตัดวงจรของรีเล耶์ผลต่างในกรณีที่เกิดความผิดพร่องที่ขดลวดปฐมภูมิที่ 1% ตามแน่น

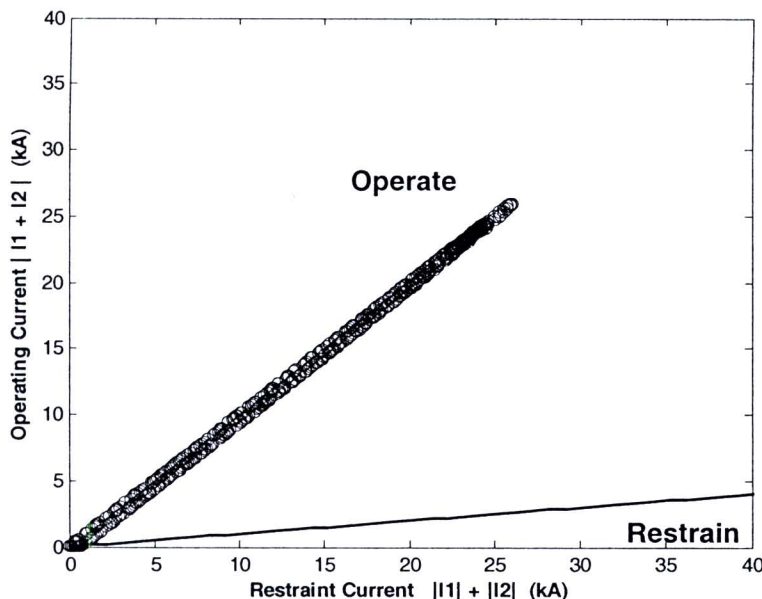
4.1.4.2 การทดสอบอัลกอริธึมของรีเล耶์ในการณ์ที่เหตุผิดพร่องเกิดที่ 50% ของขดลวดปฐมภูมิ

การทดสอบอัลกอริธึมในกรณีนี้กำหนดให้เหตุผิดพร่องเกิดขึ้นที่ 1% ตามแน่น ตรงกลางขดลวดด้านปฐมภูมิพอดี ผลของการคำนวณขนาดและมุมได้แสดงไว้ในภาพที่ 4-29 (สัญญาณกระแสเดือนปฐมภูมิที่แสดงเป็นสัญญาณที่ถ่ายโอนมาอย่างด้านทุติยภูมิแล้ว) จะเห็นได้ว่ากระแสที่ตรวจวัดได้จากหน้าแปลงกระแส CT1 นั้นมีการผิดเพี้ยนเกิดขึ้นเล็กน้อยเนื่องจากกระแสผิดพร่องมีองค์ประกอบของสัญญาณกระแสตรงรวมอยู่ด้วยดังแสดงในภาพที่ 4-29(a) ส่งผลให้เกิดการอั่มตัวขึ้นในงานที่สองหลังจากที่เริ่มเกิดความผิดพร่อง



ภาพที่ 4-29 การคำนวณค่าขนาดและมุมของกระแสผิดพร่องที่ขดลวดปฐมภูมิ 1% ตามแน่น

สำหรับการตัดสินใจตัดวงจรของรีเลย์ผลต่างนั้นทำได้อย่างถูกต้อง คือสั่งปลดวงจร เพราะค่าสัญญาณกระแสผลต่างที่คำนวณมาได้นั้นอยู่ในตำแหน่งที่เหนือกว่าเส้นตัดสินใจที่ได้ตั้งค่าไว้ที่ 10% ส่งผลให้รีเลย์ประเมินว่าเกิดความผิดพร่องภายในขึ้นดังแสดงในภาพที่ 4-30



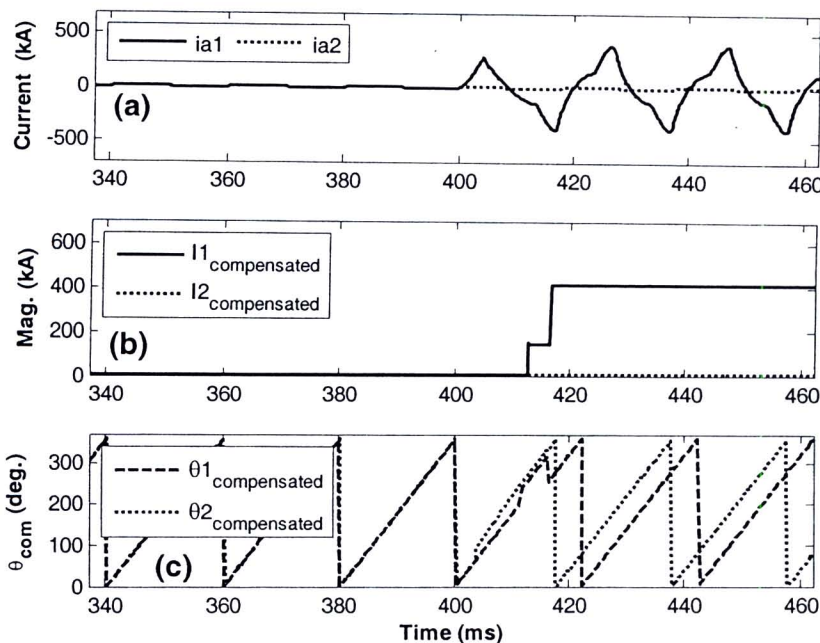
ภาพที่ 4-30 การตัดสินใจตัดวงจรในการณ์ความผิดพร่องเกิดที่ขดลวดปฐมภูมิที่ตำแหน่ง 50%

4.1.4.3 การทดสอบอัลกอริธึมของรีเลย์ในการณ์ที่เหตุผิดพร่องเกิดที่ 90% ของขดลวดปฐมภูมิ

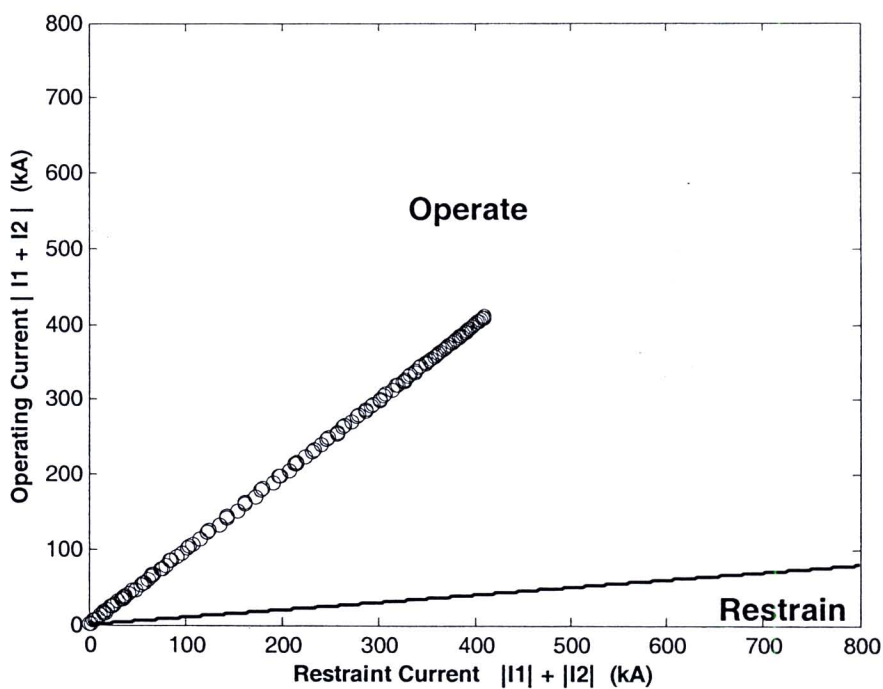
ในการทดลองนี้ เหตุผิดพร่องเกิดที่ขดลวดปฐมภูมิตำแหน่ง 90% ส่งผลให้เกิดกระแสตัดวงจรที่สูงมาก ส่งผลให้มือแปลงกระแส CT1 เกิดการอิ่มตัวอย่างรุนแรง การอิ่มตัวของกรณีนี้ จะแตกต่างจากการอิ่มตัวในหัวข้อการทดลองก่อนหน้านี้ การอิ่มตัวในการทดลองก่อนหน้าเป็นการอิ่มตัวที่เกิดจากองค์ประกอบของสัญญาณกระแสตรงซึ่งการอิ่มตัวของมือแปลงจะเกิดเพียงหนึ่งครั้งต่อครบ แต่สำหรับกรณีนี้การอิ่มตัวเกิดจากกระแสผิดพร่องมีขนาดที่สูงมาก ทำให้มือแปลงกระแสเกิดการอิ่มตัวทั้งสองขั้ว ส่งผลให้องค์ประกอบของสัญญาณคุณภาพเดียวกันนี้อยู่มากดังแสดงในภาพที่ 4-31(a) ในทางปฏิบัติเหตุการณ์เช่นนี้จะเกิดขึ้นได้ยาก เนื่องจากวิศวกรผู้ออกแบบระบบป้องกันจะเลือกมือแปลงกระแสที่มีขนาดใหญ่เพียงพอที่จะรองรับกระแสผิดพร่องสูงสุดได้ดังนั้นการอิ่มตัวแบบสองขั้วจึงมีโอกาสเกิดขึ้นได้น้อย

แม้มือแปลงกระแสจะเกิดการอิ่มตัวอย่างรุนแรง อัลกอริธึมที่งานวิจัยนี้นำเสนอถึงสามารถคำนวณค่าขนาดและมุมของกระแสผิดพร่องได้ถูกต้องดังแสดงในภาพที่ 4-31(b) และภาพที่ 4-31(c) ตามลำดับ ส่งผลให้รีเลย์ตัดสินใจสั่งปลดวงจร ซึ่งเป็นการตัดสินใจที่ถูกต้องดังแสดงในภาพที่ 4-32

สำหรับการทดลองในหัวข้ออื่น ๆ ที่ทำการทดลองในกรณีที่ความผิดพร่องที่ขดลวดด้านปฐมภูมินี้ได้แสดงรายละเอียดและผลการทดลองไว้ในตารางที่ 4-4



ภาพที่ 4-31 การคำนวณค่าขนาดและมุมของกระแสผิดพร่องที่ขดลวดปฐมภูมิตำแหน่ง 90%



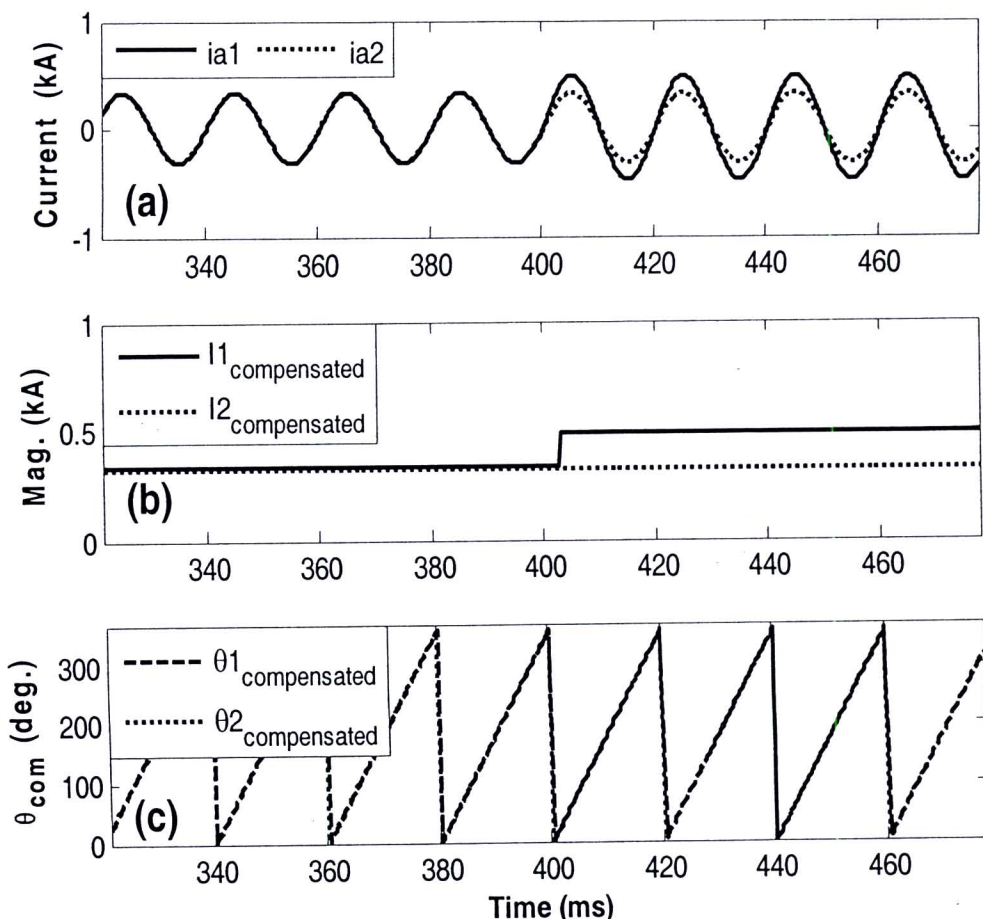
ภาพที่ 4-32 การตัดสินใจตัดวงจรของรีเลย์ผลต่างในกรณีที่เกิดความผิดพร่องที่ขดลวดปฐมภูมิที่ตำแหน่ง 90%

ตารางที่ 4-4 รายละเอียดและผลการทดลองของเหตุผลพิพร่องที่หน้าจอเปล่งคปญมว

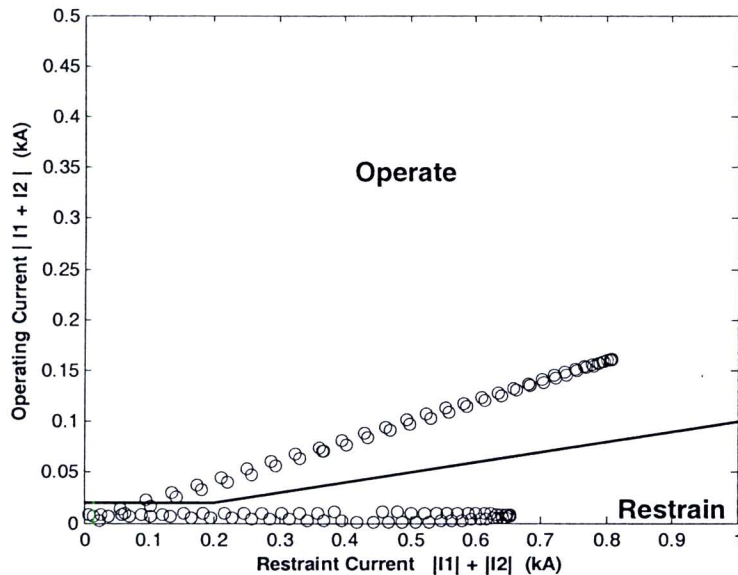
การทดลองที่	ตำแหน่งบน ชุดควบคุม	การอิ่มตัว ของ CT	ผลการทำงาน	เวลาที่ใช้ในการ ตัดสินใจ
1.3.1.1	1 %	ไม่เกิดการอิ่มตัว	ถูกต้อง (สั่งตัวจริง)	4.5 ms
1.3.1.2	3 %	ไม่เกิดการอิ่มตัว	ถูกต้อง (สั่งตัวจริง)	6.7 ms
1.3.1.3	5 %	ไม่เกิดการอิ่มตัว	ถูกต้อง (สั่งตัวจริง)	7.5 ms
1.3.1.4	10 %	ไม่เกิดการอิ่มตัว	ถูกต้อง (สั่งตัวจริง)	2.5 ms
1.3.1.5	20 %	ไม่เกิดการอิ่มตัว	ถูกต้อง (สั่งตัวจริง)	2.7 ms
1.3.1.6	30 %	ไม่เกิดการอิ่มตัว	ถูกต้อง (สั่งตัวจริง)	4.5 ms
1.3.1.7	40 %	ไม่เกิดการอิ่มตัว	ถูกต้อง (สั่งตัวจริง)	4.5 ms
1.3.1.8	50 %	มีการอิ่มตัว ของ CT	ถูกต้อง (สั่งตัวจริง)	2.5 ms
1.3.1.9	60%	มีการอิ่มตัว ของ CT	ถูกต้อง (สั่งตัวจริง)	2.7 ms
1.3.1.10	70 %	มีการอิ่มตัว ของ CT	ถูกต้อง (สั่งตัวจริง)	2.3 ms
1.3.1.11	80 %	มีการอิ่มตัว ของ CT	ถูกต้อง (สั่งตัวจริง)	2.3 ms
1.3.1.12	90 %	มีการอิ่มตัว จากกระแส AC อย่างรุนแรง	ถูกต้อง (สั่งตัวจริง)	12.8ms

4.1.4.4 การทดสอบอัลกอริธึมของรีเลย์ในกรณีที่เหตุผิดพร่องเกิดขึ้นที่ 1% ของคลาวด์ทุติยภูมิ

ในการทดสอบนี้จะกำหนดให้เหตุผิดพร่องเกิดขึ้นที่ตำแหน่ง 1% ของคลาวด์ทุติยภูมิ ความผิดพร่องดังกล่าวส่งผลให้เกิดกระแสผิดพร่องดังแสดงในภาพที่ 4-33(a) ส่วนภาพที่ 4-33(b) แสดงขนาดของสัญญาณกระแสจาก CT1 และ CT2 โดยขนาดของสัญญาณกระแสจากหน้าแปลงกระแส CT1 ในช่วงก่อนเกิดความผิดพร่องจะมีขนาด 330 A ในขณะที่สัญญาณกระแสจากหน้าแปลงกระแส CT2 มีขนาด 323 A หลังจากเกิดความผิดพร่องขึ้นกระแสจาก CT1 เพิ่มขึ้นเป็น 484 A ในขณะที่ขนาดของกระแสจาก CT2 มีการเปลี่ยนแปลงน้อยมาก ความแตกต่างของกระแสทั้งสองส่งผลให้กระแสทำงาน (Operating Current) มีขนาดที่สูงขึ้น ก่อนที่จะเกิดความผิดพร่อง จุดตัดสินใจดังแสดงในภาพที่ 4-34 นั้นจะวิ่งอยู่ในแนวระนาบ แต่หลังจากเกิดความผิดพร่องแล้ว จุดตัดสินใจจะวิ่งเป็นเส้นตรงที่มีความชันประมาณ 20% ซึ่งอยู่สูงกว่าเส้นตัดสินใจ รีเลย์จึงมีคำสั่งให้ปลดหน้าแปลงออกจากระบบ



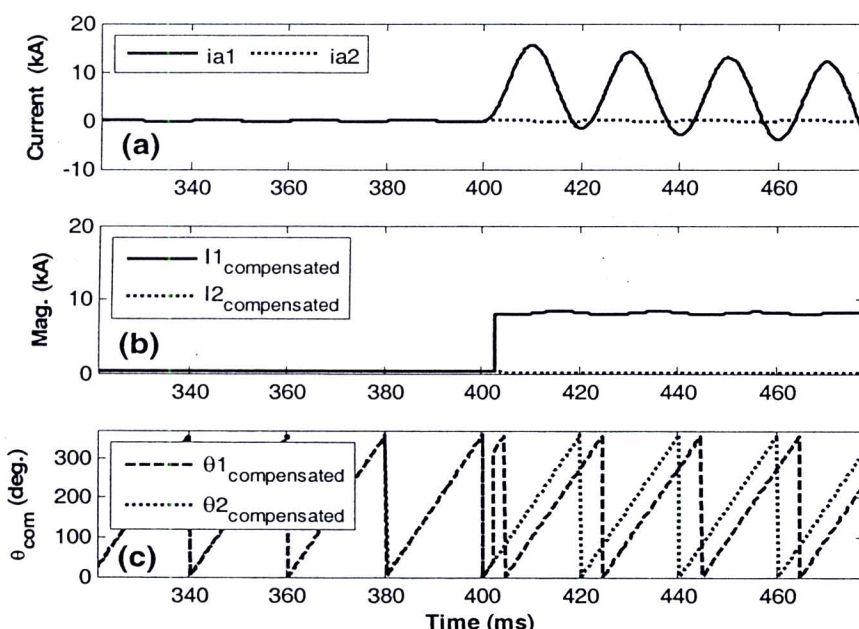
ภาพที่ 4-33 การคำนวณค่าขนาดและมุมของกระแสผิดพร่องที่คลาวด์ทุติยภูมิตำแหน่ง 1%



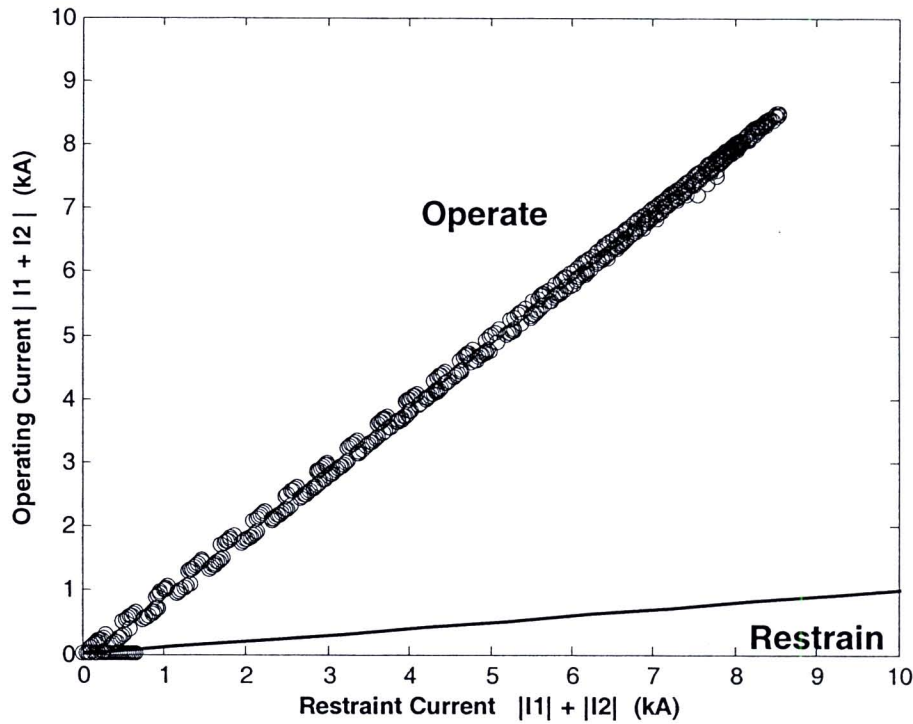
ภาพที่ 4-34 การตัดสินใจของรีเล耶์ผลต่างในกรณีเกิดความผิดพร่องที่ขดลวดทุติยภูมิที่ตำแหน่ง 1%

4.1.4.5 การทดสอบอัลกอริธึมของรีเล耶์ในกรณีที่เหตุผิดพร่องเกิดที่ 50% ของขดลวดทุติยภูมิ

ในการทดสอบนี้จะกำหนดให้เหตุผิดพร่องเกิดขึ้นที่ตำแหน่ง 50% ของขดลวดทุติยภูมิ ความผิดพร่องดังกล่าวส่งผลให้เกิดกระแสผิดพร่องดังแสดงในภาพที่ 4-35 การคำนวณค่าขนาดและมุมของสัญญาณทำได้ถูกต้อง และสามารถตรวจจับความผิดพร่องได้ดังแสดงในภาพที่ 4-36



ภาพที่ 4-35 การคำนวณค่าขนาดและมุมของกระแสผิดพร่องที่ขดลวดทุติยภูมิตำแหน่ง 50%



ภาพที่ 4-36 การตัดสินใจของรีเลย์ผลต่างในกรณีเกิดความผิดพร่องที่ขดลวดทุติยภูมิที่ตำแหน่ง 50%

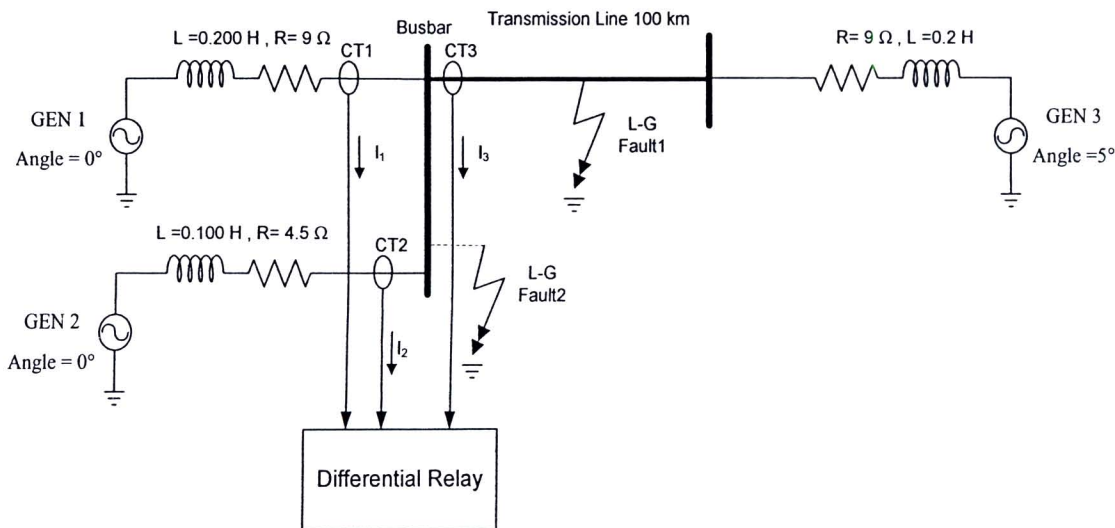
สำหรับการทดลองในหัวข้ออื่น ๆ ที่ทำการทดลองในกรณีที่เกิดความผิดพร่องที่ขดลวดด้านทุติยภูมินั้น ได้แสดงรายละเอียดและผลการทดลองไว้ในตารางที่ 4-5

ตารางที่ 4-5 รายละเอียดและผลการทดลองของเหตุผลพิพร่องที่หน้อแปลงขดทุติยภูมิ

การทดลองที่	ตำแหน่งบน ขดลวด	การอิ่มตัว ของ CT	ผลการทำงาน	เวลาที่ใช้ในการ ตัดสินใจ
1.3.2.1	1 %	ไม่เกิดการอิ่มตัว	ถูกต้อง (สั่งตัวคงจร)	3.1 ms
1.3.2.2	3 %	ไม่เกิดการอิ่มตัว	ถูกต้อง (สั่งตัวคงจร)	5.5 ms
1.3.2.3	5 %	ไม่เกิดการอิ่มตัว	ถูกต้อง (สั่งตัวคงจร)	6.6 ms
1.3.2.4	10 %	ไม่เกิดการอิ่มตัว	ถูกต้อง (สั่งตัวคงจร)	8.4 ms
1.3.2.5	20 %	ไม่เกิดการอิ่มตัว	ถูกต้อง (สั่งตัวคงจร)	2.5 ms
1.3.2.6	30 %	ไม่เกิดการอิ่มตัว	ถูกต้อง (สั่งตัวคงจร)	2.8 ms
1.3.2.7	40 %	ไม่เกิดการอิ่มตัว	ถูกต้อง (สั่งตัวคงจร)	2.8 ms
1.3.2.8	50 %	ไม่เกิดการอิ่มตัว	ถูกต้อง (สั่งตัวคงจร)	2.8 ms
1.3.2.9	60%	ไม่เกิดการอิ่มตัว	ถูกต้อง (สั่งตัวคงจร)	2.8 ms
1.3.2.10	70 %	ไม่เกิดการอิ่มตัว	ถูกต้อง (สั่งตัวคงจร)	2.8 ms
1.3.2.11	80 %	ไม่เกิดการอิ่มตัว	ถูกต้อง (สั่งตัวคงจร)	2.8 ms
1.3.2.12	90 %	ไม่เกิดการอิ่มตัว	ถูกต้อง (สั่งตัวคงจร)	2.8 ms

4.1.5 การทดสอบการทำงานในกรณีของการเกิดเหตุผิดร่องที่บัสบาร์ (Busbar)

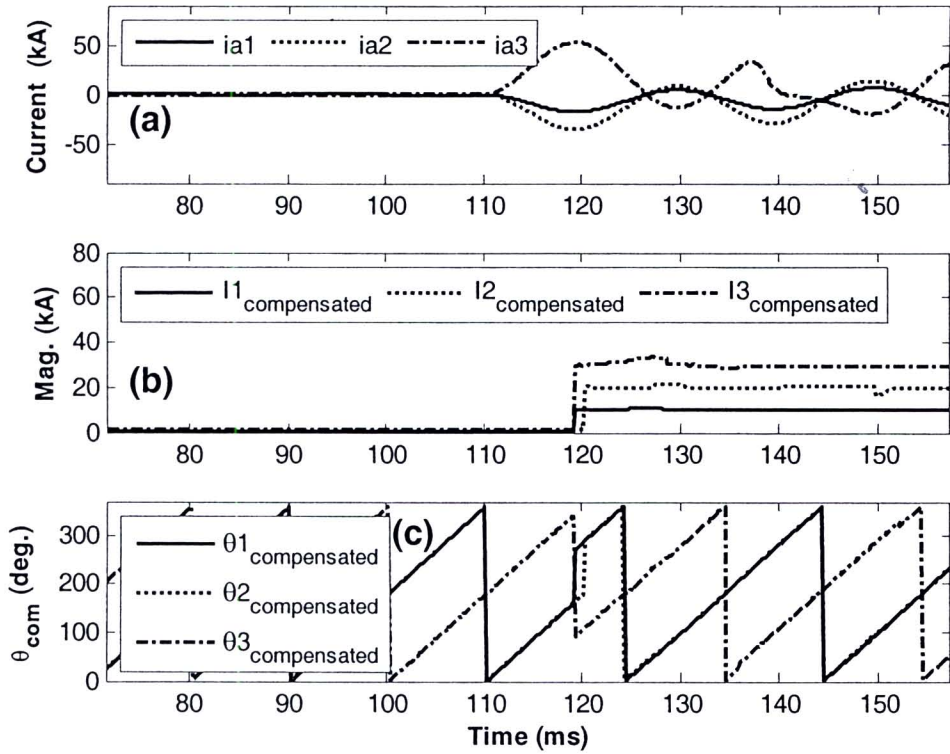
ในการทดสอบหัวข้อนี้จะใช้แบบจำลองดังแสดงในภาพที่ 4-37 เพื่อทดสอบการทำงานของอัลกอริธึมในกรณีที่นำໄไปประยุกต์ใช้กับการป้องกันบัสบาร์ โดยในแบบจำลองจะประกอบด้วยบัสบาร์ซึ่งต่ออยู่กับเครื่องกำเนิดไฟฟ้าสองตัวและสายส่งหนึ่งเด็น ค่าอิมพีเดนซ์ของเครื่องกำเนิดไฟฟ้า GEN1 จะมีค่าเป็น 2 เท่าของอิมพีเดนซ์ของเครื่องกำเนิดไฟฟ้า GEN2 หม้อแปลงกระแส CT1 CT2 และ CT3 จะป้อนสัญญาณกระแส I_1 , I_2 และ I_3 ตามลำดับเข้าสู่รีเลย์ผลต่างที่ทำหน้าที่ป้องกันบัสบาร์ ในการทดลองที่หนึ่งจะจำลองให้เกิดเหตุผิดร่องภายนอกชนิดหนึ่งเพลโดยเกิดขึ้นที่กลางสายส่ง ส่วนการทดลองที่สองจะกำหนดให้เกิดความผิดร่องชนิดหนึ่งเพล เช่นกันแต่ความผิดร่องเกิดที่บัสบาร์



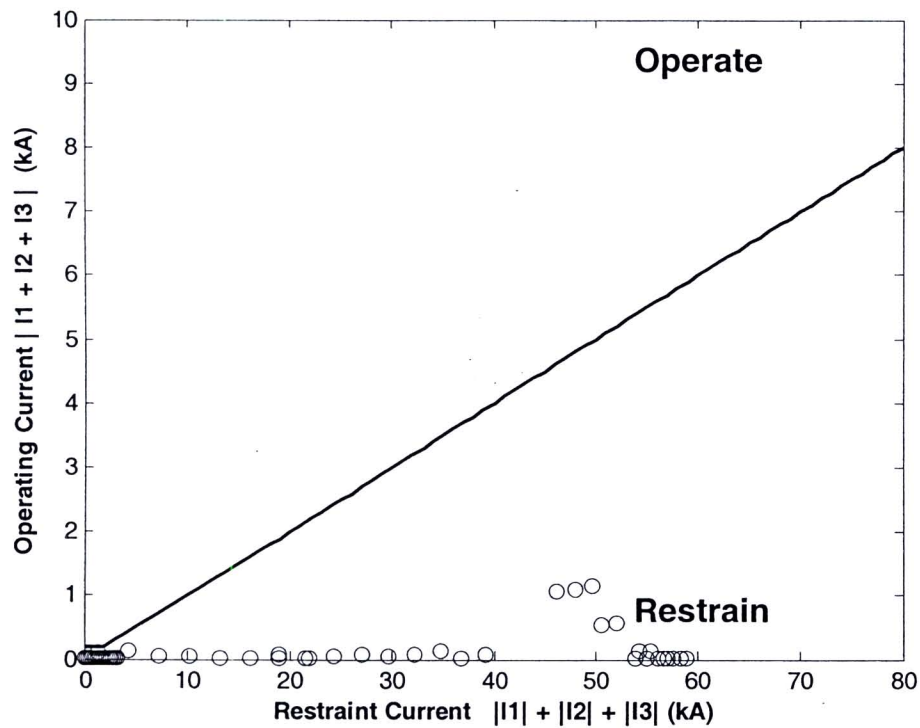
ภาพที่ 4-37 แบบจำลองสำหรับทดสอบในกรณีของการป้องกันบัสบาร์

4.1.5.1 การทดสอบในกรณีที่เกิดความผิดร่องภายนอกบัสบาร์ (เกิดที่สายส่ง)

ในการทดลองนี้กำหนดให้เกิดความผิดร่องชนิดหนึ่งเพลที่กลางสายส่ง เนื่องจากเครื่องกำเนิดไฟฟ้า GEN 1 นั้นมีค่าอิมพีเดนซ์ที่สูงกว่าเครื่องกำเนิดไฟฟ้า GEN 2 อよส่องเท่า ส่งผลให้กระแสไฟฟ้าที่ไหลผ่านหม้อแปลงกระแส CT1 นั้นมีค่าเป็นครึ่งหนึ่งของกระแสที่ไหลผ่านหม้อแปลงกระแส CT2 และกระแส I_3 จะมีค่าเท่ากับผลรวมของกระแส I_1 และ I_2 ส่งผลให้มีการอิมตัวของแกนหม้อแปลง ดังแสดงในภาพที่ 4-38(a) ในส่วนของการคำนวณหาค่าขนาดและมุมของสัญญาณกระแสทั้งสามนั้นสามารถทำได้อย่างถูกต้องดังแสดงในภาพที่ 4-38(b) อีกทั้งอัลกอริธึมการตรวจจับความผิดร่องทำได้ถูกต้องคือ รีเลย์ได้ประเมินว่ากระแสผิดร่องที่เกิดขึ้นเกิดจากความผิดร่องภายนอกจึงไม่สั่งปลดบัสบาร์ออกจากระบบ ดังแสดงในภาพที่ 4-39



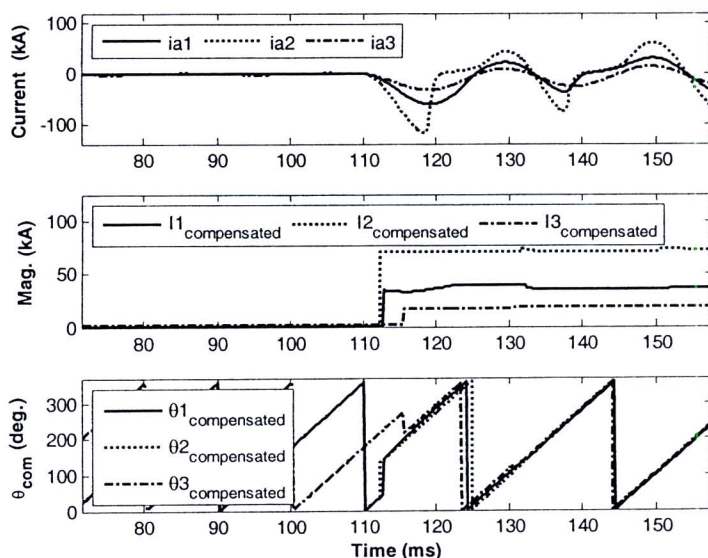
ภาพที่ 4-38 การคำนวณค่าขนาดและมุมของกระแสผิดพร่องภายนอกบ้านเรือน



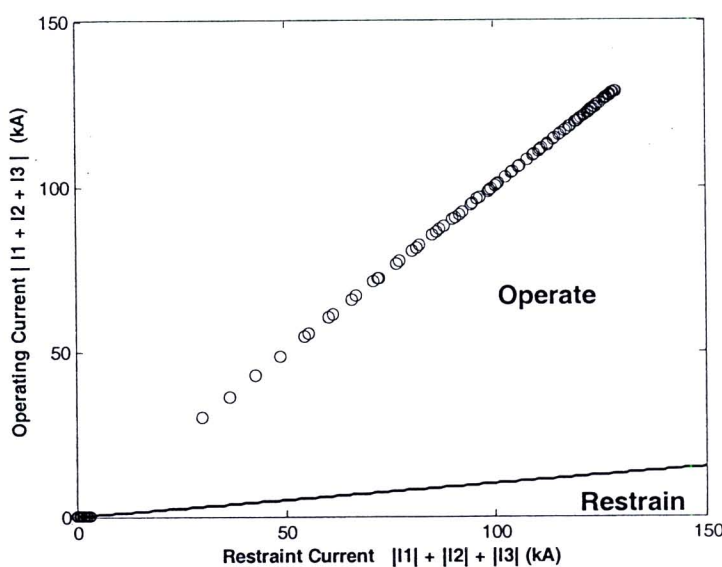
ภาพที่ 4-39 การตัดสินใจของรีเลีย์ผลต่างกระแสที่เกิดความผิดพร่องภายนอกบ้านเรือน

4.1.5.2 การทดสอบในกรณีที่เกิดความผิดพร่องภายในบัสบาร์

ในการทดสอบหัวข้อนี้ความผิดพร่องเกิดที่บัสบาร์ กระแสที่วัดได้จาก CT2 นั้นยังคงมีขนาดเป็นสองเท่าของกระแสที่วัดได้จาก CT1 เช่นเดียวกับหัวข้อการทดสอบก่อนหน้านี้ แต่กระแสที่วัดได้จาก CT3 นั้นจะไม่ใช้ค่าผลรวมของกระแสที่วัดได้จาก CT1 และ CT2 ดังแสดงในภาพที่ 4-40 ส่งผลให้ผลรวมของกระแสทั้งสามสัญญาณไม่เท่ากับศูนย์ ดังนั้นรีเลย์จึงประเมินว่าเกิดความผิดพร่องภายในเขตป้องกัน และสั่งปลดบัสบาร์ออกจากระบบไฟฟ้ากำลัง ดังแสดงในภาพที่ 4-41 โดยรีเลย์ใช้เวลา 5.6 มิลลิวินาทีหลังจากที่เริ่มเกิดเหตุผิดพร่องในการตัดสินใจ



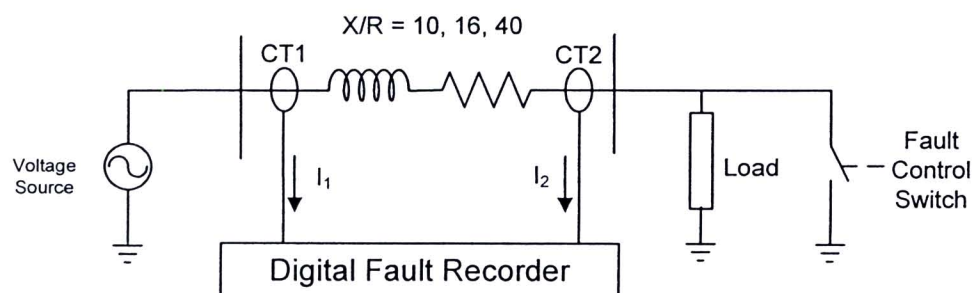
ภาพที่ 4-40 การคำนวณค่าขนาดและมุมของกระแสผิดพร่องภายในที่บัสบาร์



ภาพที่ 4-41 การตัดสินใจของรีเลย์ผลต่างกรณีที่เกิดความผิดพร่องภายในที่บัสบาร์

4.2 การทดสอบอัลกอริธึมโดยใช้สัญญาณจากการทดสอบหม้อแปลงกระแสจริง

ในการทดสอบหัวข้อนี้จะทำการทดสอบอัลกอริธึมโดยใช้สัญญาณที่ได้จากการทดลองกับหม้อแปลงกระแสจริง โดยสัญญาณที่นำมาใช้นี้ได้มาจากการนำเอาหม้อแปลงกระแสที่มีอัตราการแปลงกระแส 60/60 มีแกรช (Burden) 1Ω มาทำการตรวจวัดกระแสผิดพร่องที่สร้างขึ้นจากชุดจำลองระบบไฟฟ้ากำลังแบบแอนาลอกดังแสดงในภาพที่ 4-42 และมีการปรับค่าตัวต้านทานและตัวเหนี่ยวนำเพื่อให้อัตราส่วน X/R ขณะเกิดความผิดพร่องมีค่าเป็น 10, 16 หรือ 40 ขณะทำการทดลองมีการบันทึกสัญญาณไว้ด้วยเครื่องบันทึกสัญญาณผิดพร่องดิจิตอล (Digital Fault Recorder) โดยในการทดลองจะแบ่งการทดลองออกเป็นหลายกลุ่มดังแสดงในตารางที่ 4-6



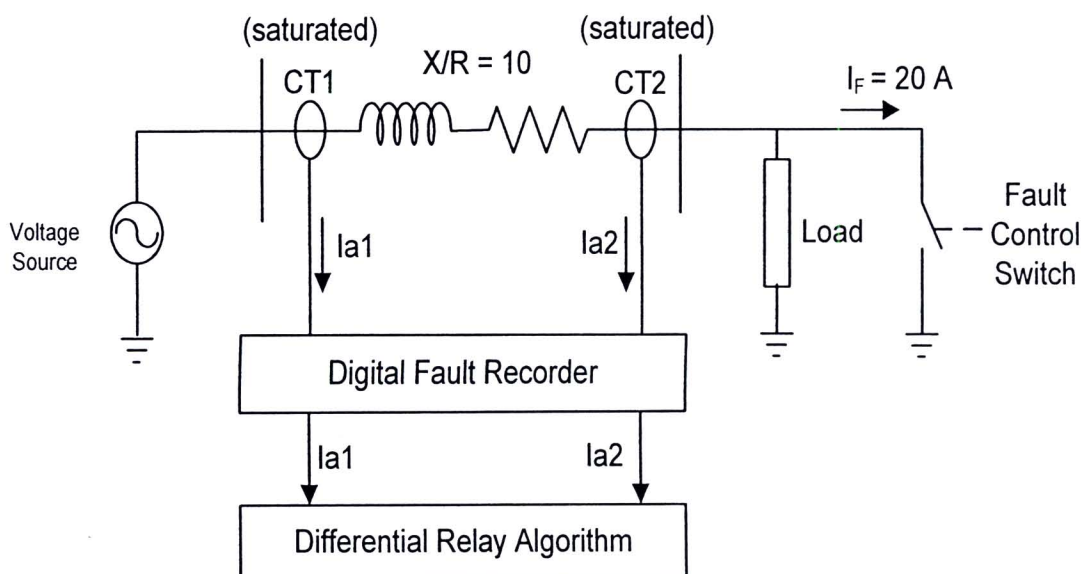
ภาพที่ 4-42 ผังการต่ออุปกรณ์ของชุดทดลองระบบไฟฟ้ากำลังแบบแอนาลอก

ตารางที่ 4-6 รายละเอียดของสัญญาณที่นำมาทดสอบกรณีมีการอิ่มตัวของหม้อแปลงกระแสจริง

กลุ่มการทดลองที่	อัตราส่วน X/R	ขนาดของกระแส	การอิ่มตัวของ CT1	การอิ่มตัวของ CT2	จำนวนสัญญาณ
1	10	20	มีการอิ่มตัว	มีการอิ่มตัว	50
2	10	20	มีการอิ่มตัว	ไม่มีการอิ่มตัว	100
3	10	30	มีการอิ่มตัว	มีการอิ่มตัว	50
4	10	30	มีการอิ่มตัว	ไม่มีการอิ่มตัว	100
5	16	35	มีการอิ่มตัว	ไม่มีการอิ่มตัว	100
6	40	35	มีการอิ่มตัว	ไม่มีการอิ่มตัว	100
7	40	20	มีการอิ่มตัว	มีการอิ่มตัว	50
8	40	20	มีการอิ่มตัว	ไม่มีการอิ่มตัว	100
9	40	30	มีการอิ่มตัว	มีการอิ่มตัว	50
10	40	30	มีการอิ่มตัว	ไม่มีการอิ่มตัว	100
รวม					800

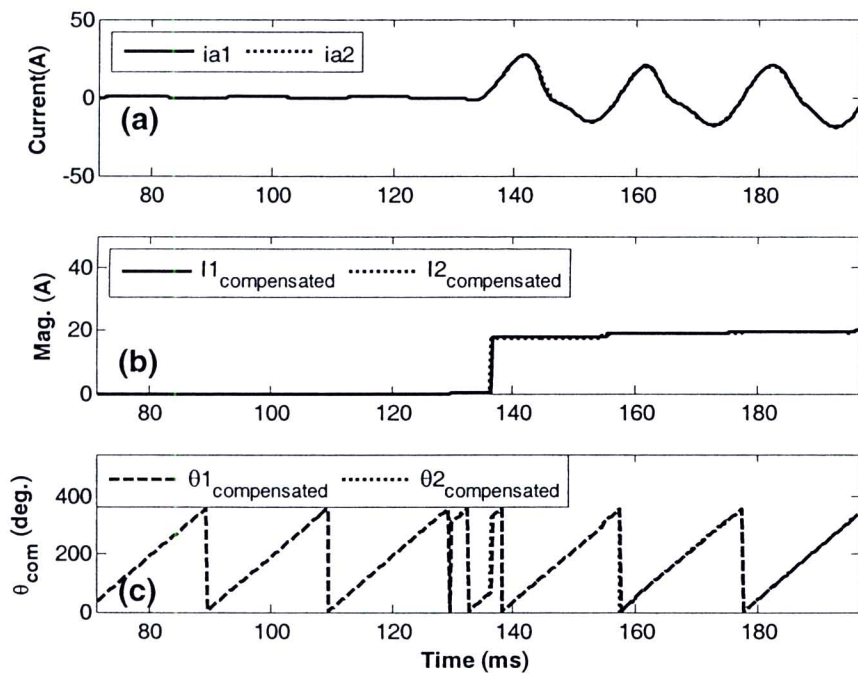
4.2.1 การทดลองกลุ่มที่ 1 อัตราส่วน $X/R = 10$ กระแสผิดพร่อง 20 A มีการอิมตัวทั้ง CT1 และ CT2

ในการทดลองกลุ่มที่ 1 จะนำสัญญาณกระแสผิดพร่องที่บันทึกไว้ป้อนให้กับอัลกอริธึมสัญญาณดังกล่าวได้มาจากชุดทดลองแอนาลอกที่มีหน้าที่สร้างกระแสผิดพร่องขนาดประมาณ 20 A จากระบบที่มีสัดส่วนส่วน X/R เป็น 10 ดังแสดงในภาพที่ 4-43 โดยสูญเสียที่เริ่มเกิดการผิดพร่องเป็นจำนวน 50 ครั้ง แล้วป้อนกระแสดังกล่าวเข้าไปที่ขดลวดปฐมภูมิของหม้อแปลงกระแส CT1 และ CT2 ซึ่งหม้อแปลงทั้งสองตัวจะมีการอิมตัวเกิดขึ้น สัญญาณกระแสจากหม้อแปลงกระแสจะได้รับการบันทึกโดยเครื่องบันทึกสัญญาณผิดพร่องดิจิตอล (Digital Fault Recorder) และสัญญาณดังกล่าวจะถูกป้อนให้กับอัลกอริธึมที่งานวิจัยนี้นำเสนอ เพื่อที่จะตรวจสอบว่าอัลกอริธึมที่ออกแบบมานั้นมีความทนทานต่อการผิดเพี้ยนของสัญญาณกระแสหรือไม่

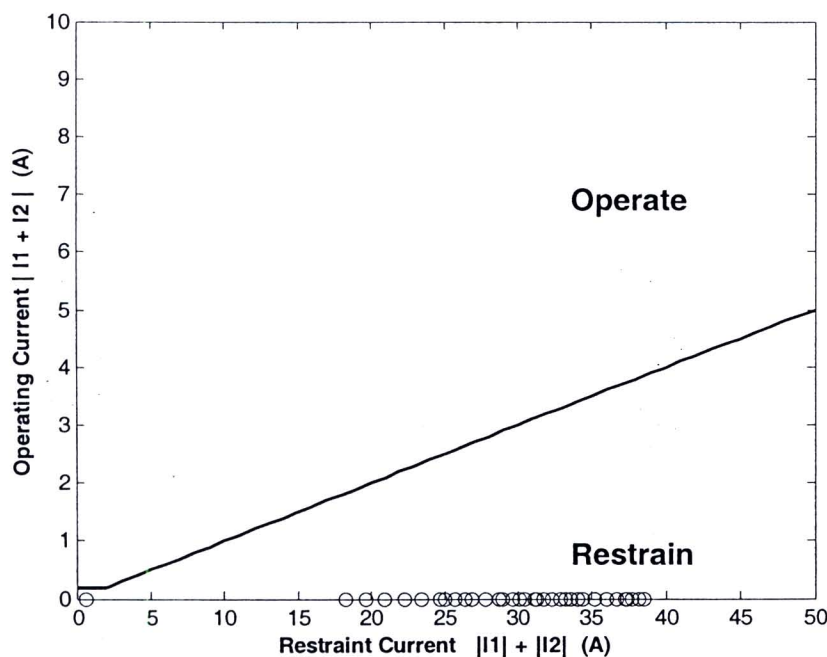


ภาพที่ 4-43 ผังการต่ออุปกรณ์ของกลุ่มการทดลองที่ 1

ภาพที่ 4-44(a) แสดงสัญญาณกระแสที่ได้จากหม้อแปลงกระแส CT1 และ CT2 จะเห็นได้ว่ากระแสทั้งสองมีการผิดเพี้ยนอันเนื่องมาจากการอิมตัวของหม้อแปลงกระแส แต่เนื่องจากหม้อแปลงกระแสทั้งสองตัวมีขนาดที่เท่ากัน กระแสทั้งสองจึงผิดเพี้ยนในลักษณะที่เหมือนกัน ภาพที่ 4-44(b) แสดงผลของการคำนวณขนาดของสัญญาณกระแส แม้สัญญาณกระแสจะเกิดการผิดเพี้ยน แต่อัลกอริธึมก็ยังสามารถคำนวณค่าของขนาดได้อย่างถูกต้อง (20A) ขนาดและมุมของกระแสทั้งสองมีขนาดเท่ากันตลอด ด้วยเหตุนี้กระแสทำงานซึ่งคำนวณจากค่ากระแสผลต่างจึงมีค่าเป็นศูนย์ ส่งผลให้จุดตัดสินใจอยู่ใต้เส้นตัดสินใจเสมอ รีเลย์จึงไม่สั่งปลดวงจรซึ่งเป็นการตัดสินใจที่ถูกต้องดังแสดงในภาพที่ 4-45



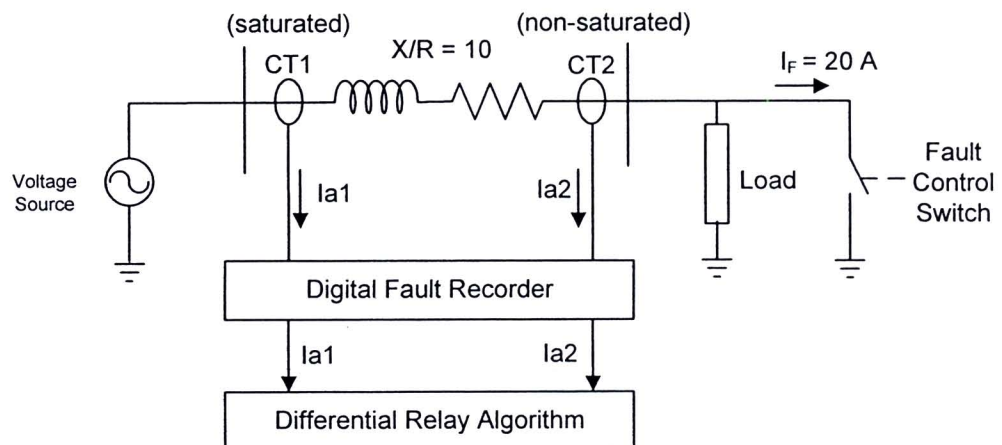
ภาพที่ 4-44 การคำนวณค่าขนาดและมุมของกระแสผิดพร่องในกรณีที่อัตราส่วน X/R มีค่าเป็น 10
กระแสผิดพร่อง 20 A มีการอิมตัวทั้ง CT1 และ CT2



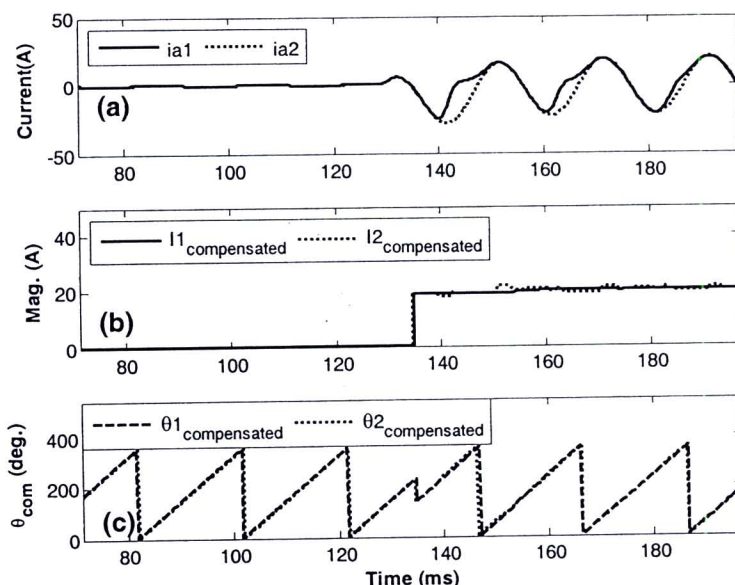
ภาพที่ 4-45 การตัดสินใจของรีเลย์ในกรณีที่อัตราส่วน X/R มีค่าเป็น 10 กระแสผิดพร่อง 20 A มีการอิมตัวทั้ง CT1 และ CT2

4.2.2 การทดลองกลุ่มที่ 2 อัตราส่วน $X/R = 10$ กระแสผิดพร่อง 20 A มีการอิ่มตัวที่ CT1 และ CT2 ไม่มีการอิ่มตัว

ในการทดลองนี้จะทำการทดลองเช่นเดียวกับหัวข้อ 4.2.1 คือ กระแสผิดพร่องมีขนาดประมาณ 20 A ระบบมีสัดส่วน X/R เป็น 10 แต่จะมีสิ่งที่ต่างกันคือหม้อแปลงกระแส CT2 จะรองรับกระแสขนาดสูงได้ดีกว่าหม้อแปลงกระแส CT1 ทำให้หม้อแปลงกระแส CT2 ไม่เกิดการอิ่มตัวดังแสดงในภาพที่ 4-46

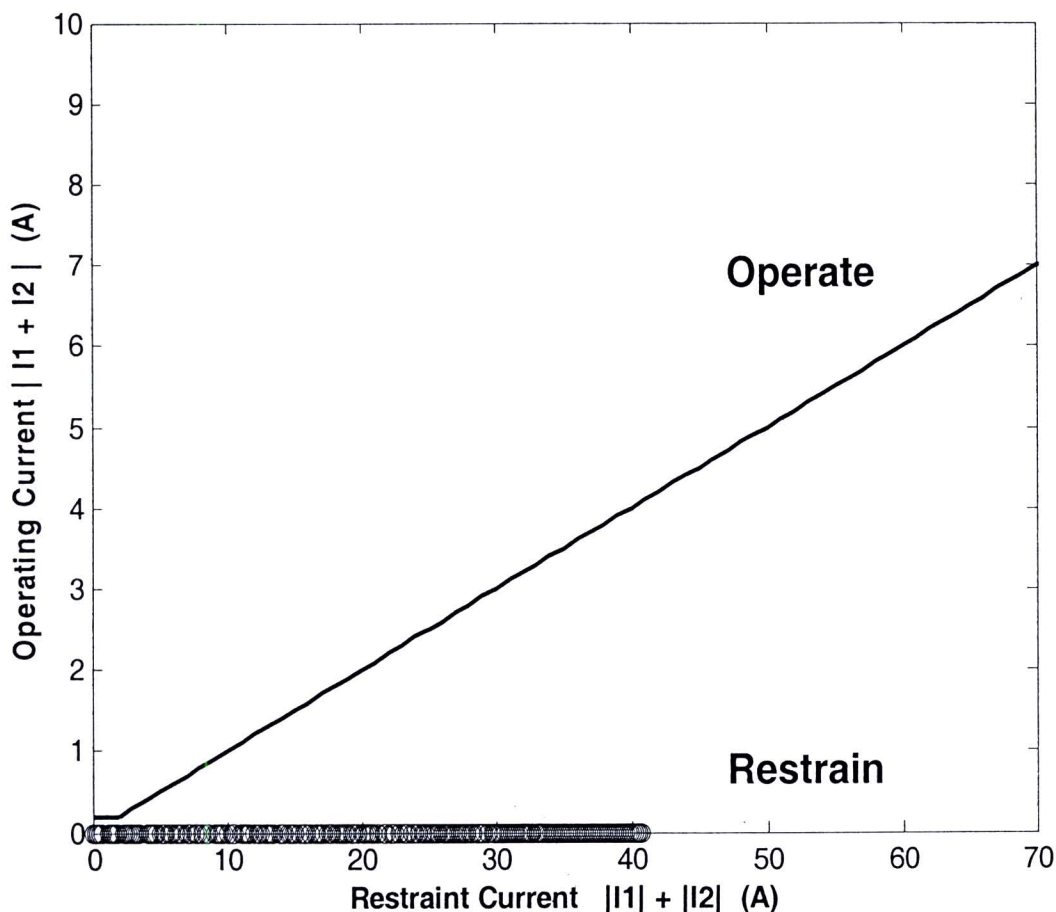


ภาพที่ 4-46 ผังการต่ออุปกรณ์ของกลุ่มการทดลองที่ 2



ภาพที่ 4-47 การคำนวณค่าขนาดและมุมของกระแสผิดพร่องในกรณีที่อัตราส่วน X/R มีค่าเป็น 10 กระแสผิดพร่อง 20 A มีการอิ่มตัวที่ CT1 และ CT2 ไม่มีการอิ่มตัว

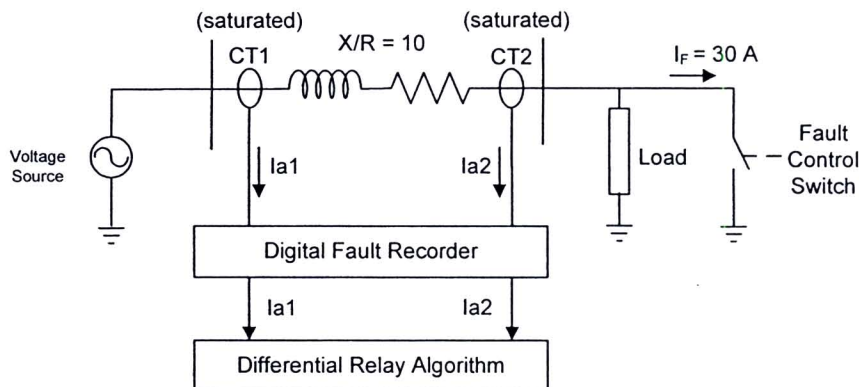
เนื่องด้วยผลของการคำนวณหาขนาดและมุมของสัญญาณกระแสที่ได้จากหม้อแปลงกระแส CT1 และ CT2 มีขนาดใกล้เคียงกันมากแม้สัญญาณขาเข้าจะมีรูปร่างแตกต่างกันเนื่องจากการอิมตัวของหม้อแปลง ดังแสดงในภาพที่ 4-47(b) ส่งผลให้กระแสผลต่างมีค่าที่ต่ำมาก กระแสทำงานจึงมีค่าน้อย และจุดตัดสินใจจะวางตัวอยู่ในแนวระนาบที่ระดับต่ำกว่าเส้นตัดสินใจ และเนื่องจากจุดตัดสินใจอยู่ในตำแหน่งที่อยู่ใต้เส้นตัดสินใจดังแสดงในภาพที่ 4-48 อัลกอริธึมของรีเลย์จึงไม่ส่งปลดวงจรซึ่งเป็นการตัดสินใจที่ถูกต้อง เพราะความผิดพร่องดังกล่าวเป็นเหตุผิดพร่องภายนอก



ภาพที่ 4-48 การตัดสินใจของรีเลย์ในกรณีที่อัตราส่วน X/R มีค่าเป็น 10 กระแสผิดพร่อง 20 A มีการอิมตัวที่ CT1 และ CT2 ไม่มีการอิมตัว

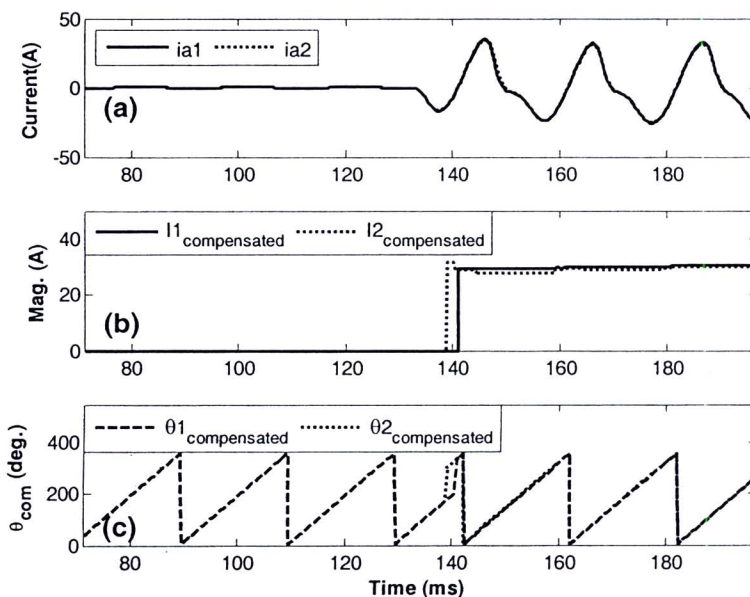
4.2.3 การทดลองก្នុងที่ 3 อัตราส่วน X/R = 10 กระแสผิดพร่อง 30 A มีการอิมตัวที่ CT1 และ CT2

ในการทดลองนี้จะนำสัญญาณกระแสจากหม้อแปลงกระแส CT1 และ CT2 ในกรณีที่เกิดความผิดพร่องภายนอกเบตป้องกัน โดยขณะเกิดความผิดพร่อง อัตราส่วน X/R เป็น 10 กระแสผิดพร่องมีขนาดสูงขึ้นเป็น 30 A ดังแสดงในภาพที่ 4-49



ภาพที่ 4-49 ผังการต่ออุปกรณ์ของกลุ่มการทดลองที่ 3

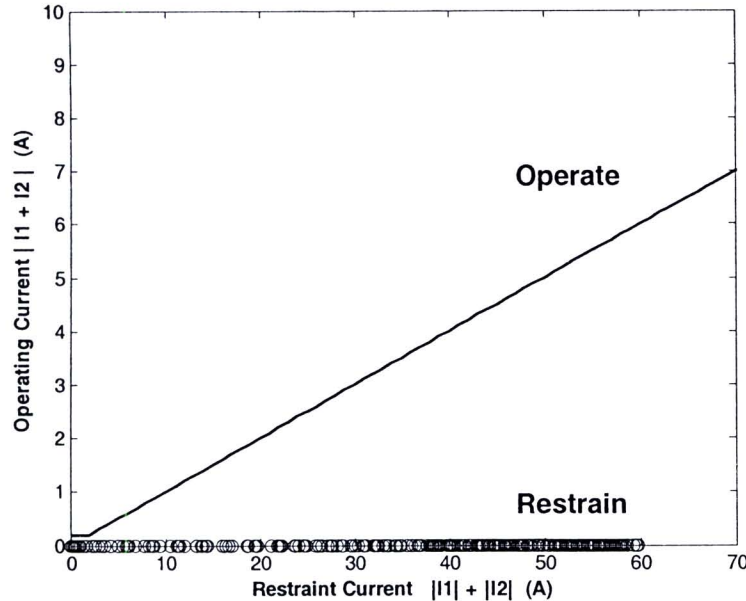
กระแสผิดพร่องมีขนาดสูงขึ้นเป็น 30 A จะส่งผลให้เกิดการอิ่มตัวที่รุนแรงขึ้นเมื่อเทียบกับกระแสที่กระแสผิดพร่องมีขนาด 10 A ภาพที่ 4-50(a) แสดงสัญญาณกระแสที่ได้จากหม้อแปลงกระแส CT1 และ CT2 ซึ่งทั้งสองสัญญาณเกิดการอิ่มตัวเหมือนกัน



ภาพที่ 4-50 การคำนวณค่าขนาดและมุมของกระแสผิดพร่องในกรณีที่อัตราส่วน X/R มีค่าเป็น 10
กระแสผิดพร่อง 30 A มีการอิ่มตัวทั้ง CT1 และ CT2

ค่าของขนาดที่คำนวณมาได้ดังแสดงในภาพที่ 4-50(b) นั้นมีขนาดที่ใกล้เคียงกันมาก เช่นเดียวกับการคำนวณหาค่ามุมของสัญญาณทั้งสองที่ให้คำศอนในส่วนของมุมเกือบท่ากันพอดี ดังแสดงในภาพที่ 4-50(c) ในช่วงเวลาประมาณ 138-140 มิลลิวินาที ขนาดของกระแสจาก CT2 มีความแตกต่างกัน แต่ช่วงเวลาดังกล่าวเป็นช่วงเวลาที่กระแสจาก CT1 มีคุณภาพไม่ดี กระแสทำงานจากเหตุการณ์ดังกล่าวจึงถูกต้านไว้ด้วยสัญญาณต้านการตัดวงจร (Block Signal) ดังที่ได้

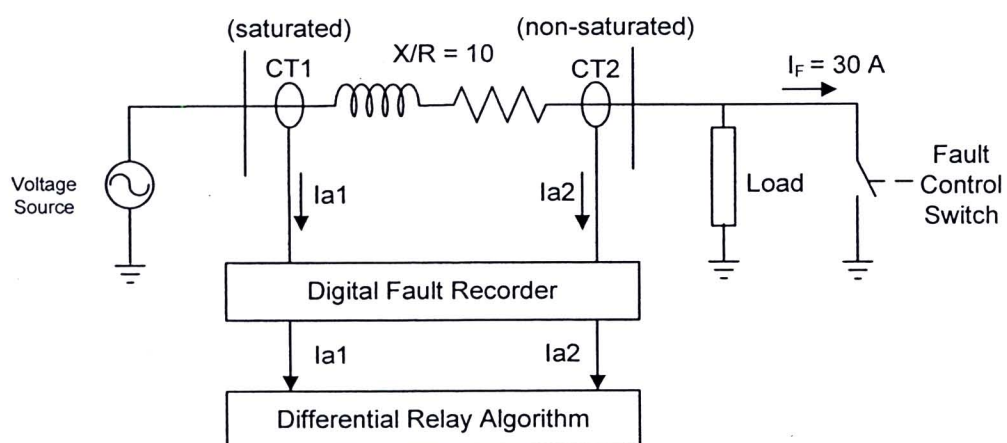
กล่าวไว้แล้วในหัวข้อ 3.7.2 ในส่วนของการตัดสินใจของรีเลย์นั้นทำได้อย่างถูกต้อง คือไม่สั่งปลดวงจร เนื่องจากไม่มีจุดตัดสินใจใดอยู่เห็นอีกต่อไปแล้วในภาพที่ 4-51



ภาพที่ 4-51 การตัดสินใจของรีเลย์ในกรณีที่อัตราส่วน $X/R = 10$ กระแสผิดพร่อง 30 A มีการอิ่มตัวทั้ง CT1 และ CT2

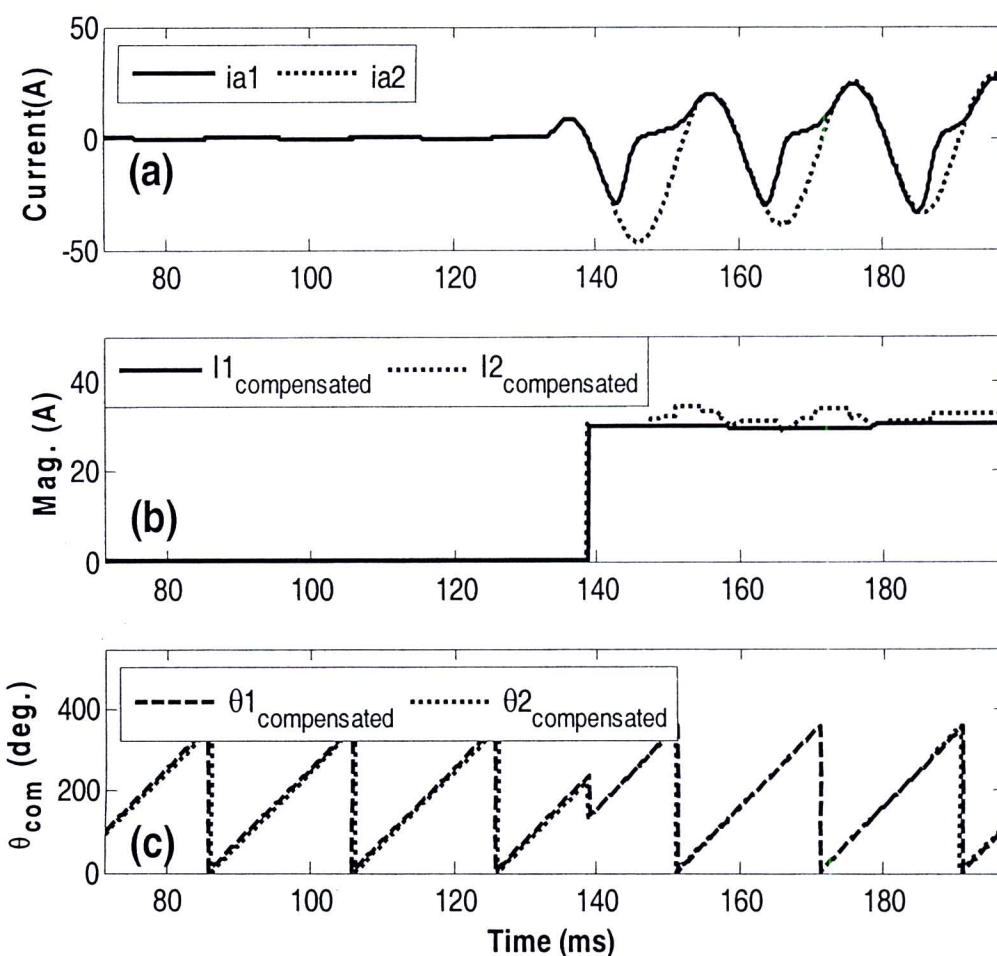
4.2.4 การทดลองกลุ่มที่ 4 อัตราส่วน $X/R = 10$ กระแสผิดพร่อง 30 A มีการอิ่มตัวที่ CT1 แต่ CT2 ไม่มีการอิ่มตัว

ในการทดลองนี้จะนำสัญญาณกระแสจากหม้อแปลงกระแส CT1 และ CT2 ในกรณีที่เกิดความผิดพร่องภายนอกเขตป้องกัน โดยจะเกิดความผิดพร่อง อัตราส่วน X/R เป็น 10 กระแสผิดพร่องมีขนาด 30 A โดย CT2 จะไม่มีการอิ่มตัวดังแสดงในภาพที่ 4-52

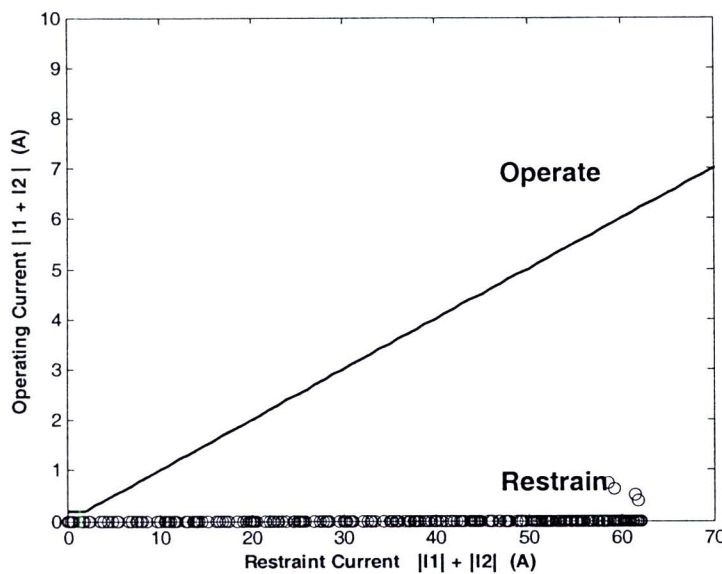


ภาพที่ 4-52 ผังการต่ออุปกรณ์ของกลุ่มการทดลองที่ 4

กระแสผิดพร่องมีขนาด 30 A จะส่งผลให้เกิดการอิ่มตัวที่รุนแรงขึ้นเมื่อเทียบกับกรณีที่กระแสผิดพร่องมีขนาด 10 A ภาพที่ 4-53(a) แสดงสัญญาณกระแสที่ได้จากหน้าแปลงกระแส CT1 ซึ่งเกิดการอิ่มตัว แต่สัญญาณกระแสที่ได้จากหน้าแปลงกระแส CT2 นั้น ไม่มีการอิ่มตัว แม้กระแสทั้งสองจะมีรูปร่างที่แตกต่างกัน แต่ค่าของขนาดกระแสที่คำนวณได้ดังแสดงในภาพที่ 4-53(b) นั้นมีขนาดที่ใกล้เคียงกันมาก เช่นเดียวกับการคำนวณหาค่ามุมของสัญญาณทั้งสองที่ให้คำศอนในส่วนของมุมเกือบทุกจุดที่ต้องคำนวณ ภาพที่ 4-53(c) แสดงสัญญาณที่ได้จากการตัดสินใจของรีเลย์ ซึ่งทำให้ถูกต้องคือไม่สั่งปลดวงจร เพราะจุดตัดสินใจทุกจุดจะเกิดขึ้นบนเส้นแนวระนาบซึ่งอยู่ต่ำกว่าเส้นตัดสินใจดังแสดงในภาพที่ 4-54



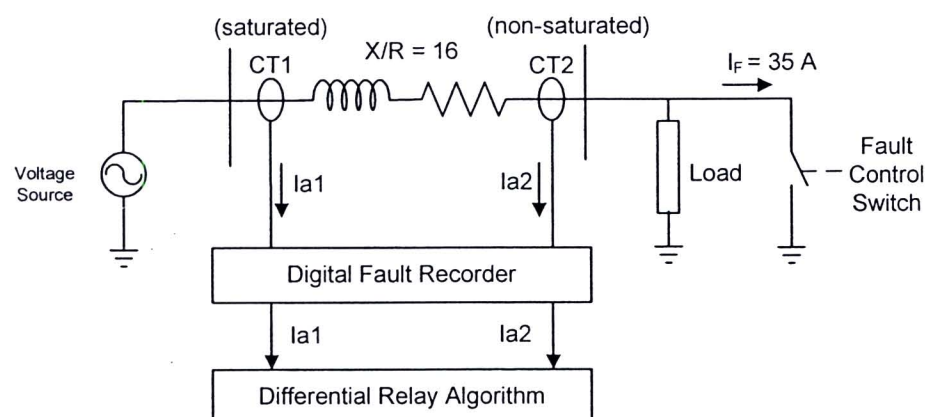
ภาพที่ 4-53 การคำนวณค่าขนาดและมุมของกระแสผิดพร่องในกรณีที่อัตราส่วน X/R มีค่าเป็น 10 กระแสผิดพร่อง 30 A มีการอิ่มตัวที่ CT1 แต่ CT2 ไม่มีการอิ่มตัว



ภาพที่ 4-54 การตัดสินใจของรีเลย์ในกรณีที่อัตราส่วน X/R มีค่าเป็น 10 กระแสผิดพร่อง 30 A มีการอิ่มตัวที่ CT1 แต่ CT2 ไม่มีการอิ่มตัว

4.2.5 การทดลองกลุ่มที่ 5 อัตราส่วน $X/R = 16$ กระแสผิดพร่อง 35 A มีการอิ่มตัวที่ CT1 แต่ CT2 ไม่มีการอิ่มตัว

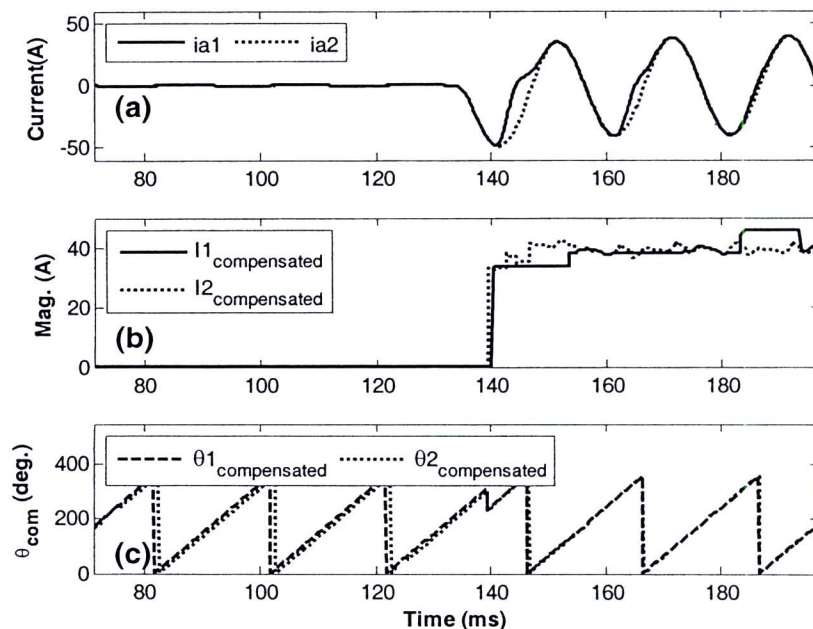
ในการทดลองนี้มีการควบคุมให้อัตราส่วน X/R มีค่าเป็น 16 และขนาดของกระแสผิดพร่องมีค่าเป็น 35 A โดย CT2 จะไม่มีการอิ่มตัวดังแสดงในภาพที่ 4-55



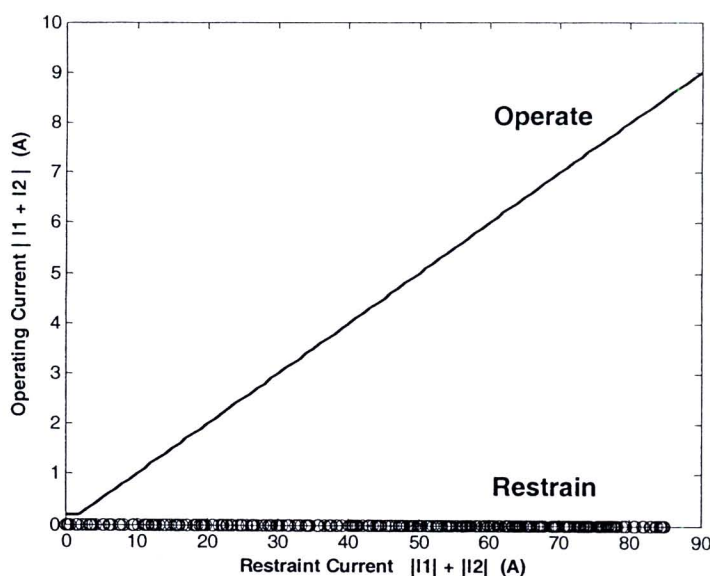
ภาพที่ 4-55 ผังการต่ออุปกรณ์ของกลุ่มการทดลองที่ 5

ในภาพที่ 4-56(a) แสดงสัญญาณกระแสที่ตรวจวัดได้จากหม้อแปลงกระแส CT1 และ CT2 ผลการคำนวณหาค่าขนาดและมุมของกระแสนี้ได้แสดงไว้ในภาพที่ 4-56(b) และภาพที่ 4-56(c) ตามลำดับ จะเห็นได้ว่ามีบางช่วงที่ขนาดของกระแสมีค่าไม่เท่ากัน เช่นช่วงเวลาประมาณ 145-150 มิลลิวินาที แต่ความแตกต่างของขนาดดังกล่าวไม่ได้ส่งผลต่อการตัดสินใจตัดวงจรของรีเลย์

เนื่องจากช่วงเวลาดังกล่าวสัญญาณกระแสจากหน้าแปลงกระแส CT1 ไม่ได้อยู่ในสภาพที่ดี กระแสทำงานในช่วงเวลาดังกล่าวจะถูกต้านไว้ ส่งผลให้ไม่มีการสั่งปลดวงจรดังแสดงในภาพที่ 4-57



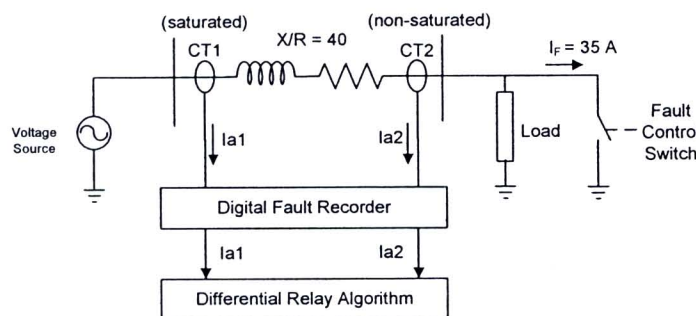
ภาพที่ 4-56 การคำนวณค่าขนาดและมุมของกระแสผิดพร่องในกรณีที่อัตราส่วน X/R มีค่าเป็น 16 กระแสผิดพร่อง 5 A มีการอิมตัวที่ CT1 และ CT2 ไม่มีการอิมตัว



ภาพที่ 4-57 การตัดสินใจของรีเลย์ในกรณีที่อัตราส่วน X/R มีค่าเป็น 16 กระแสผิดพร่อง 5 A มีการอิมตัวที่ CT1 และ CT2 ไม่มีการอิมตัว

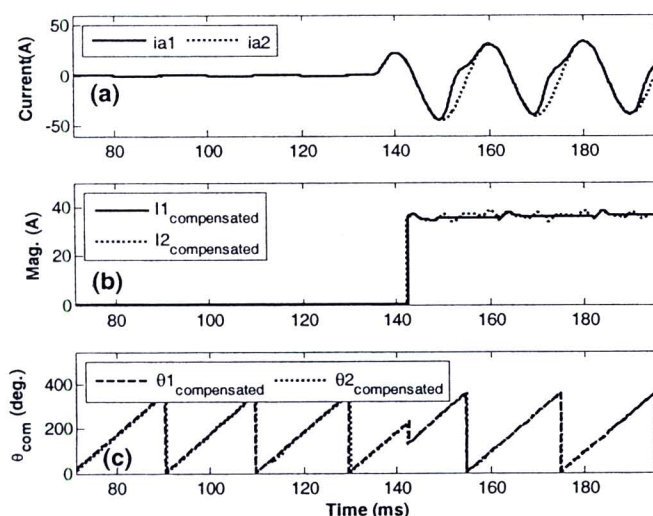
4.2.6 การทดลองกลุ่มที่ 6 อัตราส่วน $X/R = 40$ กระแสผิดพร่อง 35 A มีการอิมตัวที่ CT1 แต่ CT2 ไม่มีการอิมตัว

การทดสอบในหัวข้อนี้จะเป็นการทดสอบในกรณีที่อัตราส่วน X/R มีค่าเป็น 40 ซึ่งเป็นค่าที่สูง ดังแสดงในภาพที่ 4-58 ส่งผลให้องค์ประกอบของสัญญาณกระแสตรงจะคงตัวอยู่นาน อีกทั้งกระแสผิดพร่องยังมีขนาดสูงถึง 35 A จึงทำให้เกิดการอิมตัวของแกนหม้อแปลงที่รุนแรงกว่ากรณีที่ค่าอัตราส่วน X/R ต่ำ หรือ ค่ากระแสผิดพร่องต่ำ ดังแสดงในภาพที่ 4-59(a)

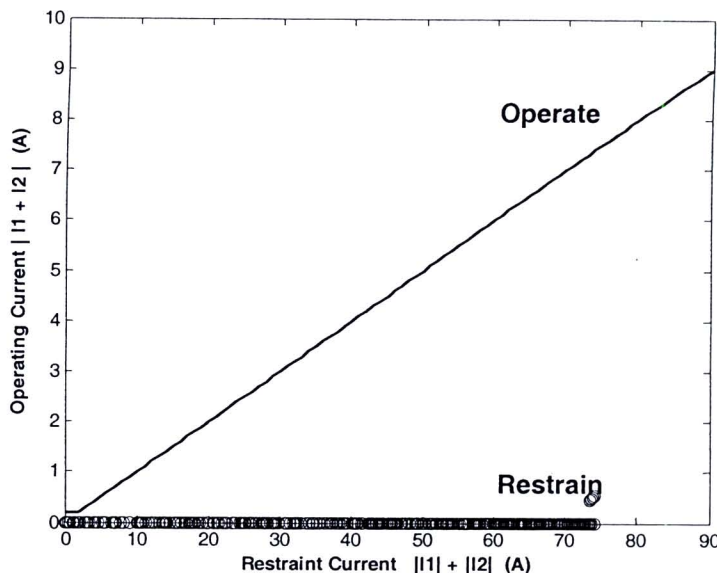


ภาพที่ 4-58 ผังการต่ออุปกรณ์ของกลุ่มการทดลองที่ 6

ภาพที่ 4-59(b) แสดงผลของการคำนวณหาค่าขนาด จะเห็นได้ว่าผลการคำนวณขนาดกระแสที่ได้จากหม้อแปลง CT1 ซึ่งเกิดการอิมตัวเทียบกับขนาดกระแสที่ได้จากการคำนวณของกระแส CT2 ที่ไม่มีการอิมตัวแล้ว มีค่าที่ใกล้เคียงกันมาก อัลกอริธึมจึงไม่ส่งปลดวงจร ดังจะเห็นได้จากภาพที่ 4-60 จุดตัดสินใจทุกจุดจะอยู่ภายใต้เส้นตัดสินใจ ซึ่งเป็นสิ่งที่บ่งชี้ว่าความผิดพร่องที่เกิดขึ้นนั้นเป็นความผิดพร่องภายนอก



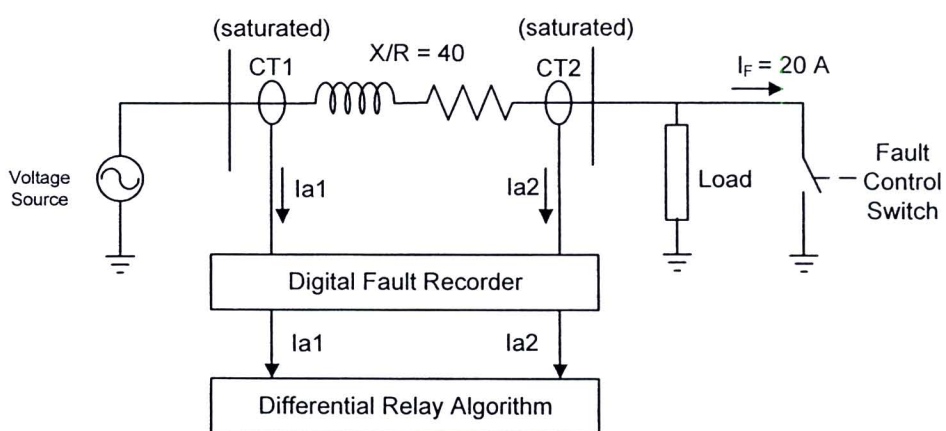
ภาพที่ 4-59 การคำนวณค่าขนาดและมุมของกระแสผิดพร่องในกรณีที่อัตราส่วน X/R มีค่าเป็น 40 กระแสผิดพร่อง 35 A มีการอิมตัวที่ CT1 แต่ CT2 ไม่มีการอิมตัว



ภาพที่ 4-60 การตัดสินใจของรีเลย์ในกรณีที่อัตราส่วน X/R มีค่าเป็น 40 กระแสผิดพร่อง 35 A มีการอิ่มตัวทั้ง CT1 และ CT2 ไม่มีการอิ่มตัว

4.2.7 การทดลองกลุ่มที่ 7 อัตราส่วน $X/R = 40$ กระแสผิดพร่อง 20 A มีการอิ่มตัวทั้ง CT1 และ CT2

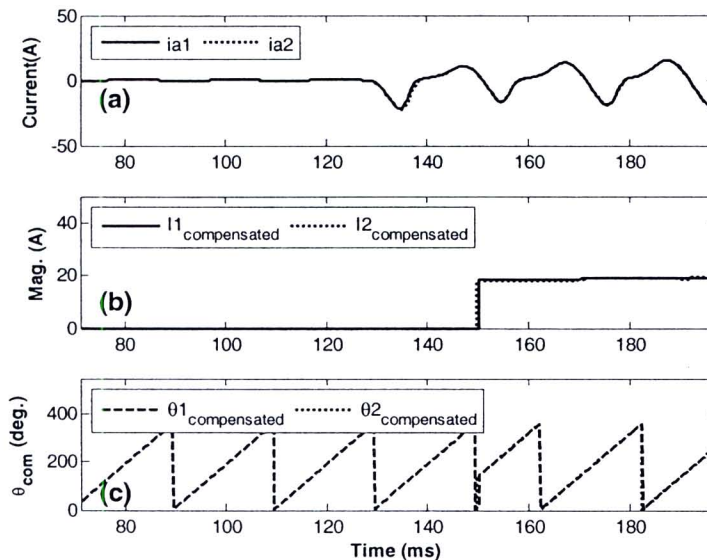
การทดสอบในหัวข้อนี้จะเป็นการทดสอบในกรณีที่อัตราส่วน X/R มีค่าเป็น 40 ซึ่งเป็นค่าที่สูง ค่ากระแสผิดพร่องมีค่าเป็น 20 A ดังแสดงในภาพที่ 4-61



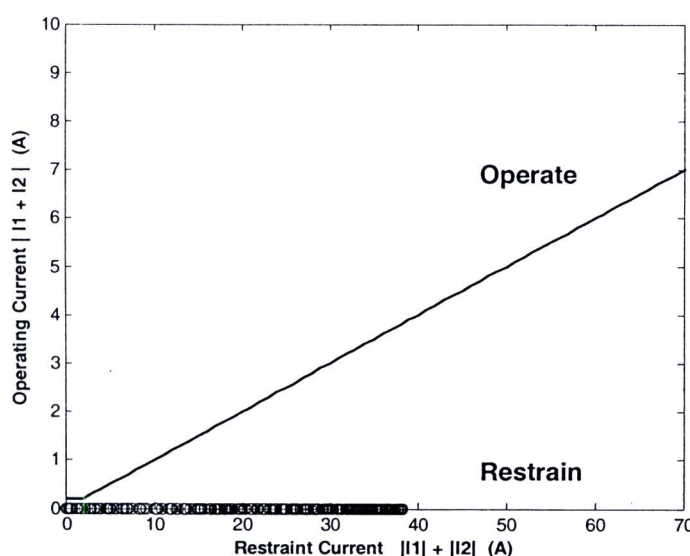
ภาพที่ 4-61 ผังการต่ออุปกรณ์ของกลุ่มการทดลองที่ 7

การที่ระบบมีสัดส่วน X/R สูง ส่งผลให้องค์ประกอบสัญญาณกระแสตรงจะคงตัวอยู่นานจะเกิดการอิ่มตัวของแกนหม้อแปลงที่รุนแรงกว่ากรณีที่ค่าอัตราส่วน X/R ต่ำ ทั้งหม้อแปลงกระแส CT1 และ CT2 เกิดการอิ่มตัวอย่างรุนแรงในลักษณะเดียวกัน ดังแสดงในภาพที่ 4-62(a) ผลของการคำนวณค่าขนาดทำได้ถูกต้องดังแสดงในภาพที่ 4-62(b) แต่ในการตรวจจับสัญญาณคุณภาพดี

นั้นไม่สามารถทำได้ในความแรกของกระแสผลพวง เนื่องจากข้อมูลสัญญาณคุณภาพดีในความแรกนั้นมีอยู่เพียงเกิดการอิมตัวที่รุนแรง แต่ย่างไรก็ดีอัลกอริธึมสามารถตรวจสอบจับสัญญาณคุณภาพดีได้หลังจากที่หม้อแปลงกระแสออกจากการสภาวะอิมตัว จากภาพจะเห็นได้ว่าอัลกอริธึมใช้เวลาในการตัดสินใจประมาณ 20 มิลลิวินาที สำหรับการตัดสินใจตัวจรของเรียเลย์นั้นทำได้อย่างถูกต้อง คือไม่สั่งปลดวงจรเพราะจุดตัดสินใจทุกจุดอยู่ภายใต้เส้นตัดสินใจดังแสดงในภาพที่ 4-63



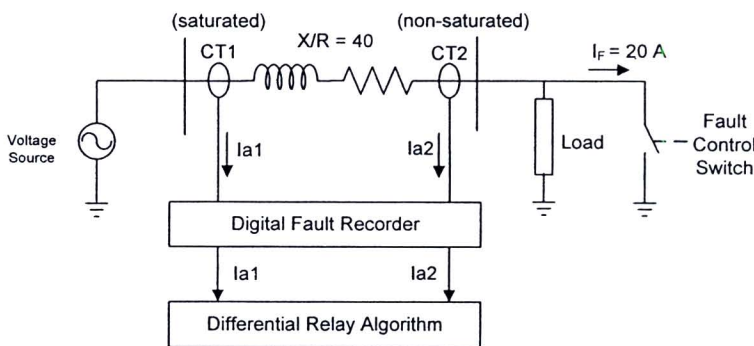
ภาพที่ 4-62 การคำนวณค่าบนภาคและมุมของกระแสผลพวงในกรณีที่อัตราส่วน X/R มีค่าเป็น 40 กระแสผลพวง 20 A มีการอิมตัวทั้ง CT1 และ CT2



ภาพที่ 4-63 การตัดสินใจของเรียลัยในกรณีที่อัตราส่วน X/R มีค่าเป็น 40 กระแสผลพวง 20 A ทำการอิมตัวทั้ง CT1 และ CT2

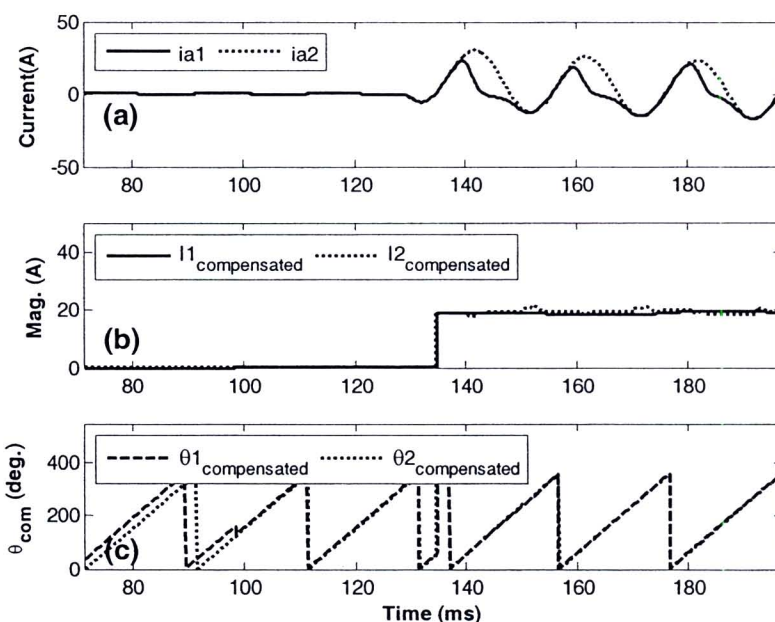
4.2.8 การทดลองกลุ่มที่ 8 อัตราส่วน $X/R = 40$ กระแสผิดพร่อง 20 A มีการอิ่มตัวที่ CT1 และ CT2 ไม่มีการอิ่มตัว

การทดลองในกลุ่มนี้จะทำการทดลองเหมือนกับการทดลองในกลุ่มที่ 7 จะต่างกันแต่เพียง หม้อแปลงกระแส CT2 นั้นจะไม่มีการอิ่มตัว ดังแสดงในภาพที่ 4-64

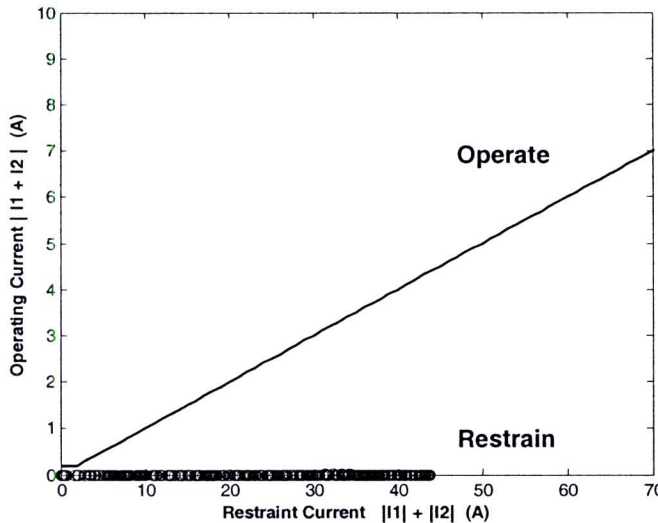


ภาพที่ 4-64 ผังการต่ออุปกรณ์ของกลุ่มการทดลองที่ 8

ผลการคำนวณค่าขนาดของกระแสทำได้อย่างถูกต้อง โดยขนาดของกระแสทั้งสองนั้นอยู่ที่ประมาณ 20 A การเท่ากันของทั้งขนาดและมุมของกระแสส่งผลให้ค่ากระแสผลต่างมีค่าต่ำมาก อัลกอริธึมในการประเมินสภาพของรีเลียจึงทราบได้ว่าความผิดพร่องที่เกิดขึ้นเป็นความผิดพร่องภายนอก ดังแสดงในภาพที่ 4-66 ซึ่งจุดตัดสินใจนั้นจะวางตัวอยู่ในแนวระหว่างที่ต่ำกว่าเส้นตัดสินใจเสมอ



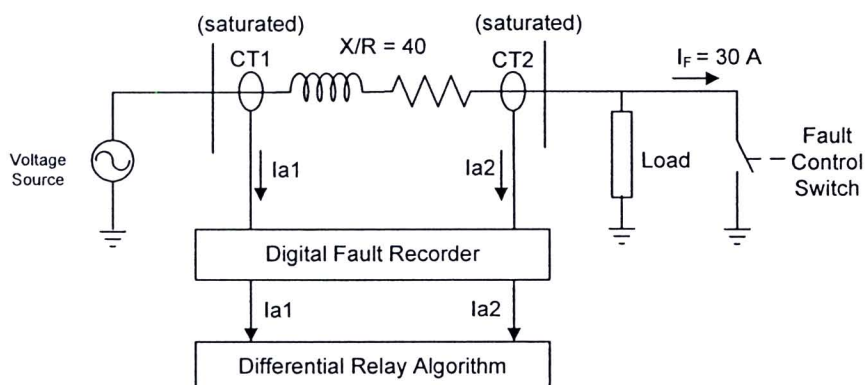
ภาพที่ 4-65 การคำนวณค่าขนาดและมุมของกระแสผิดพร่องในกรณีที่อัตราส่วน X/R มีค่าเป็น 40 กระแสผิดพร่อง 20 A มีการอิ่มตัวที่ CT1 และ CT2 ไม่มีการอิ่มตัว



ภาพที่ 4-66 การตัดสินใจของรีเลย์ในกรณีที่อัตราส่วน X/R มีค่าเป็น 40 กระแสผิดพร่อง 20 A มีการอิ่มตัวที่ CT1 และ CT2 ไม่มีการอิ่มตัว

4.2.9 การทดลองกลุ่มที่ 9 อัตราส่วน $X/R = 40$ กระแสผิดพร่อง 30 A มีการอิ่มตัวทั้ง CT1 และ CT2

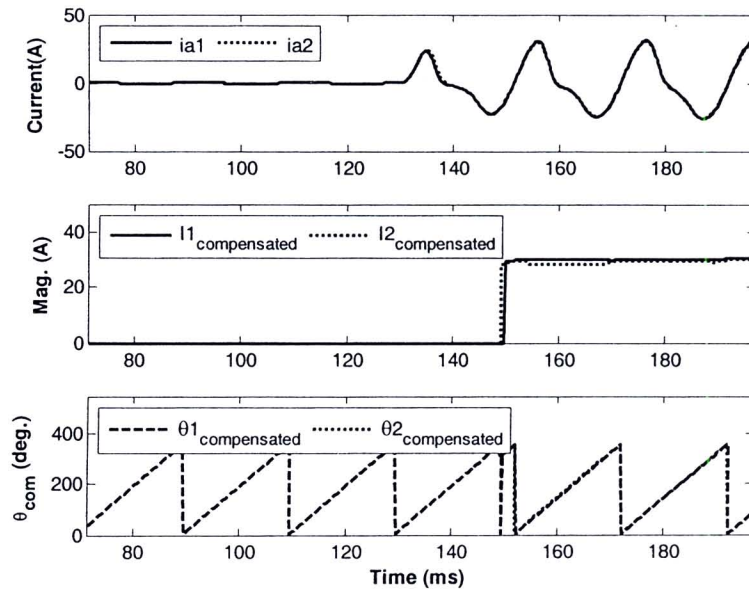
ในการทดลองนี้จะทำการทดลองในกรณีที่กระแสผิดพร่องขนาด 30 A เกิดขึ้นในระบบที่มีอัตราส่วน X/R เป็น 40 (มีค่า สูง) ดังแสดงในภาพที่ 4-67



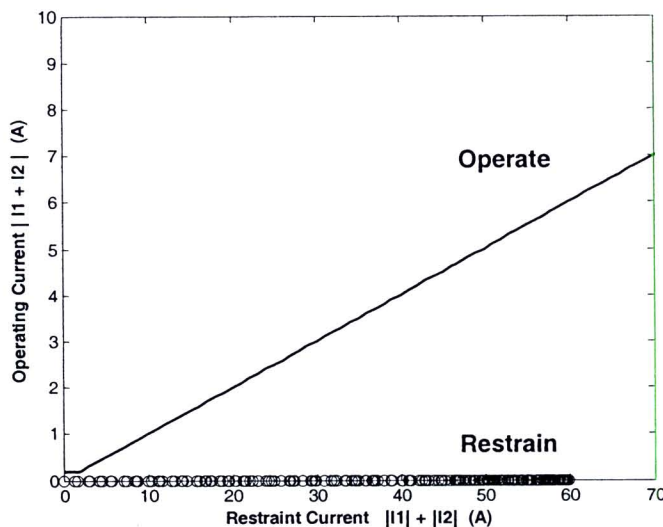
ภาพที่ 4-67 ผังการต่ออุปกรณ์ของกลุ่มการทดลองที่ 9

การที่อัตราส่วน X/R มีค่าสูง ส่งผลให้องค์ประกอบของสัญญาณกระแสตรงคงตัวอยู่นาน ประกอบกับมีกระแสผิดพร่องขนาดสูง หม้อแปลงกระแสสัมภาระจึงมีการอิ่มตัวที่รุนแรงขึ้น ดังแสดงในภาพที่ 4-68(a) สัญญาณทั้งจากหม้อแปลงกระแส CT1 และ CT2 เกิดการอิ่มตัวอย่างไรก็ตาม อัลกอริธึมสามารถตัดสินใจได้โดยใช้ค่าเฉลี่ยของสัญญาณที่มาจากสองชุดเซ็นเซอร์ โดยขนาดกระแสผิดพร่องที่คำนวณได้จะอยู่ที่ประมาณ 30 A ในส่วนของการคำนวณหาค่ามูนของสัญญาณนี้ทำได้อย่างถูกต้องเช่นกันดังแสดงในภาพที่ 4-68(c) และในมุมมองของความเร็ว

ในการลุ่เข้าสู่ค่าขนาดนั้นต้องใช้เวลาประมาณ 18 มิลลิวินาที ทั้งนี้เป็นเพราะกระแสเพิ่มพ่องในช่วงครึ่งคานแรกนั้นมีการอิ่มตัวอย่างรุนแรง ทำให้การปรับค่าขนาดของกระแสจะต้องรอการเกิดขึ้นใหม่ของสัญญาณคุณภาพดี สำหรับการตัดสินใจของรีเลย์ทำได้ถูกต้อง คือไม่สั่งปลดวงจรดังแสดงในภาพที่ 4-69



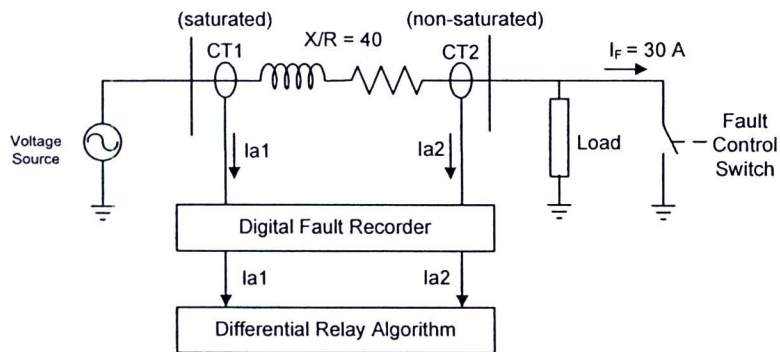
ภาพที่ 4-68 การคำนวณค่าขนาดและมุมของกระแสเพิ่มพ่องในกรณีที่อัตราส่วน X/R มีค่าเป็น 40 กระแสเพิ่มพ่อง 30 A มีการอิ่มตัวทั้ง CT1 และ CT2



ภาพที่ 4-69 การตัดสินใจของรีเลย์ในกรณีที่อัตราส่วน X/R มีค่าเป็น 40 กระแสเพิ่มพ่อง 30 A มีการอิ่มตัวทั้ง CT1 และ CT2

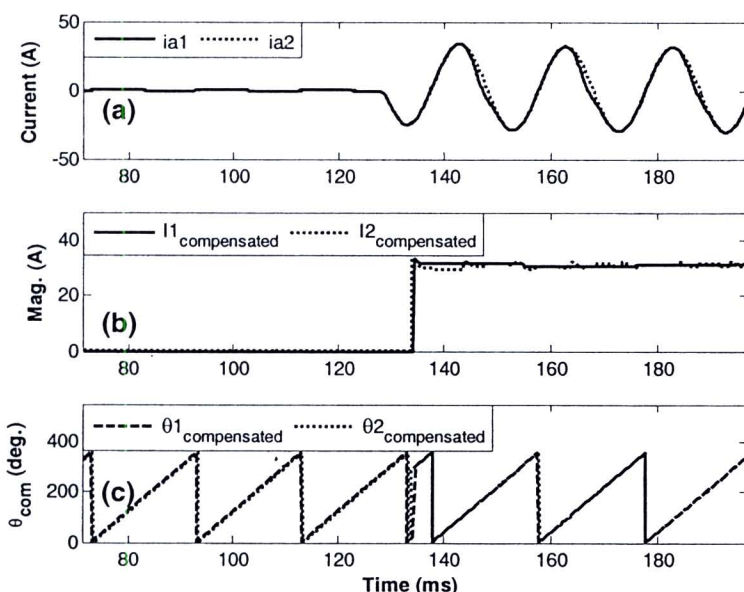
4.2.10 การทดลองกลุ่มที่ 10 อัตราส่วน $X/R = 40$ กระแสผิดพ่วง 30 A มีการอิมตัวที่ CT1 และ CT2 ไม่มีการอิมตัว

การทดลองในกลุ่มนี้จะทำการทดลองเหมือนกับการทดลองในกลุ่มที่ 9 จะต่างกันแต่เพียงหน้าแปลงกระแส CT2 นั้นจะไม่มีการอิมตัว ดังแสดงในภาพที่ 4-70

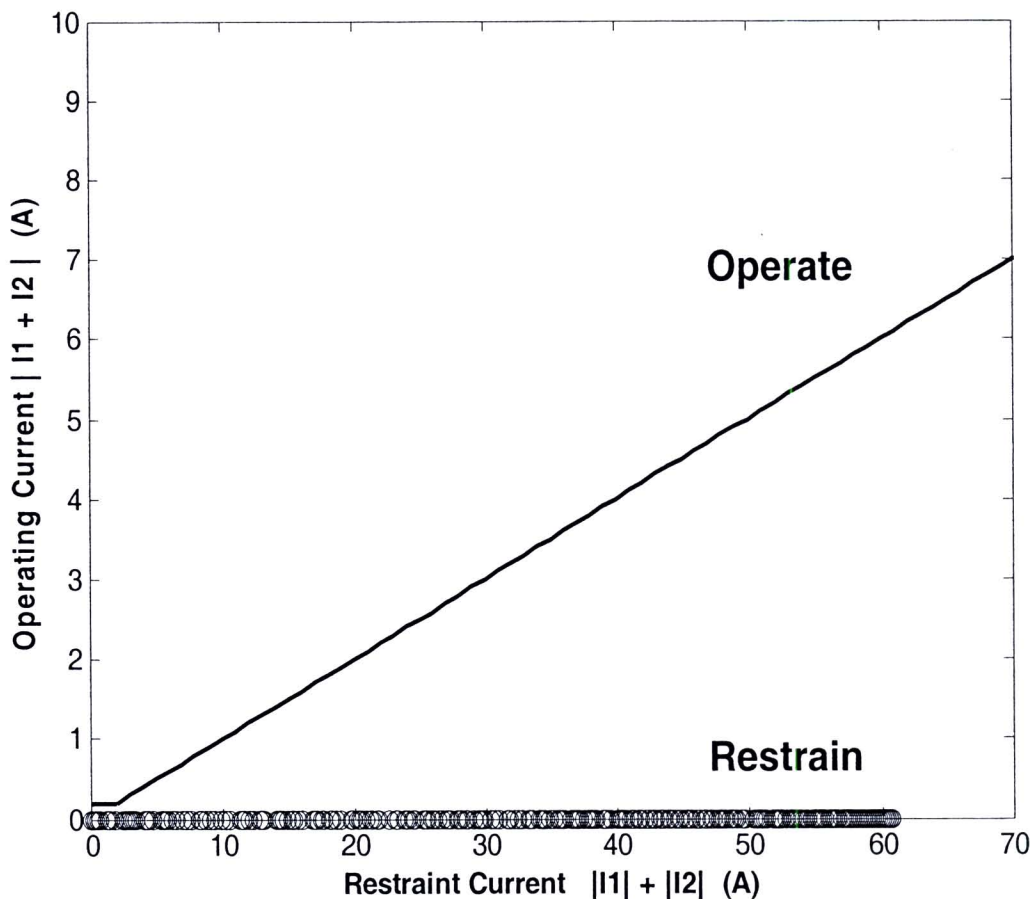


ภาพที่ 4-70 ผังการต่ออุปกรณ์ของกลุ่มการทดลองที่ 10

ผลการคำนวณค่าของกระแสนี้ทำได้อย่างถูกต้อง โดยขนาดของกระแสทั้งสองนี้อยู่ที่ประมาณ 30 A ดังแสดงในภาพที่ 4-71 การเท่ากันของทั้งขนาดและมุมของกระแสนี้ส่งผลให้ค่ากระแสผลต่างมีค่าต่ำมาก อัลกอริธึมในการประเมินสภาพของรีเลย์จึงทราบได้ว่าความผิดพ่วงที่เกิดขึ้นเป็นความผิดพ่วงภายนอก ดังแสดงในภาพที่ 4-72 ซึ่งจุดตัดสินใจนั้นจะวางตัวอยู่ในแนวระนาบที่ต่ำกว่าเส้นตัดสินใจเสมอ



ภาพที่ 4-71 การคำนวณค่าขนาดและมุมของกระแสผิดพ่วงในกรณีที่อัตราส่วน X/R มีค่าเป็น 40 กระแสผิดพ่วง 30 A มีการอิมตัวที่ CT1 และ CT2 ไม่มีการอิมตัว



ภาพที่ 4-72 การตัดสินใจของรีเลย์ในกรณีที่อัตราส่วน X/R มีค่าเป็น 40 กระแสผ่าน 30 A
มีการอิ่มตัวที่ CT1 และ CT2 ไม่มีการอิ่มตัว

4.3 การทดสอบอัลกอริธึมโดยใช้สัญญาณจากสัญญาณที่ได้จากการบันทึกของรีเลย์ป้องกันขณะเกิดเหตุผิดพร่องจริง

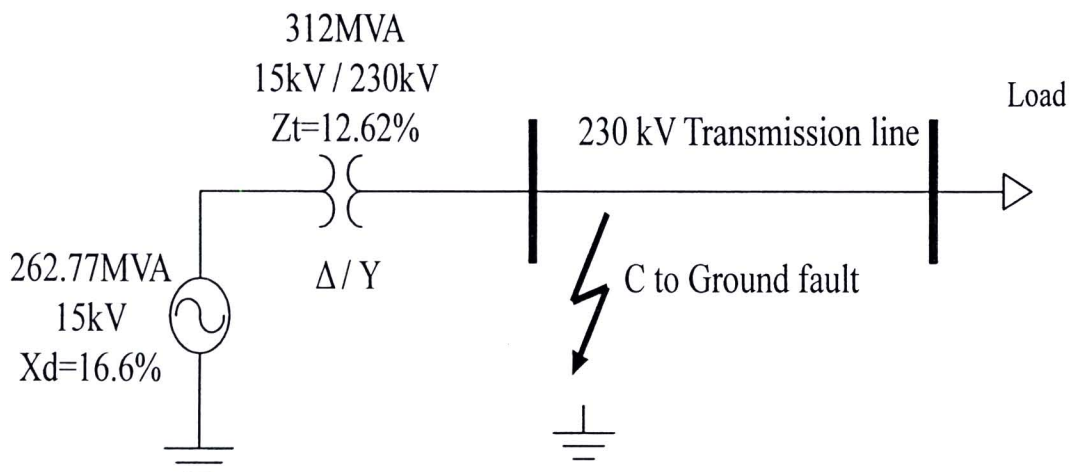
รีเลย์ป้องกันสมัยใหม่มีการนำเอาเทคโนโลยีคอมพิวเตอร์เข้ามาประยุกต์ใช้ ส่งผลให้รีเลย์มีขีดความสามารถที่เพิ่มขึ้น ความสามารถอย่างหนึ่งที่เป็นประโยชน์ต่อการวิเคราะห์เหตุการณ์และการพัฒนาระบบป้องกันไฟฟ้ากำลังคือการที่รีเลย์สามารถบันทึกปร่างของสัญญาณในช่วงเวลา ก่อนและหลังเกิดความผิดพร่องได้ ในการตรวจสอบการทำงานของอัลกอริธึมจึงได้ประยุกต์นำเอาสัญญาณดังกล่าวจำนวน 31 สัญญาณ มาป้อนเป็นสัญญาณขาเข้าให้กับอัลกอริธึมที่มีเสถียรภาพต่อการผิดเพี้ยนของสัญญาณกระแส โดยสัญญาณที่นำมาทดสอบนั้นมาจากรีเลย์ป้องกันของมอเตอร์ไฟฟ้าขนาด 1 MW 1 ตัว และเครื่องกำเนิดไฟฟ้าขนาด 262.77 MW จำนวน 5 ตัว (บางตัวถูกปลดออกจากระบบมากกว่าหนึ่งครั้ง) โดยสัญญาณที่ได้จากการบันทึกของรีเลย์ป้องกันสามารถแบ่งออกเป็นสามกลุ่มกรณีคือ

กลุ่มกรณีที่ 1 สัญญาณจากเครื่องกำเนิดไฟฟ้าขนาด 262.77 MW ในกรณีที่ความผิดพร่องไม่ได้เกิดขึ้น แต่สัญญาณกระแสเมื่อความผิดเพี้ยน (จำนวน 10 สัญญาณ)

กลุ่มกรณีที่ 2 สัญญาณจากเครื่องกำเนิดไฟฟ้าขนาด 262.77 MW ในกรณีที่เกิดความผิดพร่องภายนอก สัญญาณกระแสไม่มีความผิดเพี้ยน (จำนวน 20 สัญญาณ)

กลุ่มกรณีที่ 3 สัญญาณจาก母ต่อร์ขนาด 1 MW ในกรณีที่เกิดความผิดพร่องภายในหม้อแปลงกระแสเมื่อการอิมตัวอย่างรุนแรง

สำหรับกลุ่มกรณีที่ 1 และกลุ่มกรณีที่ 2 นั้นเป็นสัญญาณที่ได้มาจากการเลี้ยวของเครื่องกำเนิดไฟฟ้าซึ่งถูกสั่งปลดออกจากระบบด้วยเหตุผลพร่องภายนอก เครื่องกำเนิดไฟฟ้าเหล่านี้ติดตั้งอยู่ในโรงงานผลิตไฟฟ้าแห่งหนึ่งของการไฟฟ้าฝ่ายผลิตแห่งประเทศไทย โดยความผิดพร่องที่เกิดขึ้นนั้นไม่ได้เกิดขึ้นที่เครื่องกำเนิดไฟฟ้าแต่เกิดขึ้นที่สายส่ง โดยสาเหตุเกิดจากการเผาที่นาโกลด์แนวสายส่งทำให้เกิดควัน และนำมาซึ่งการเกิดลักษณะที่สายส่งเฟส C ลงดิน ดังแสดงในภาพที่ 4-73



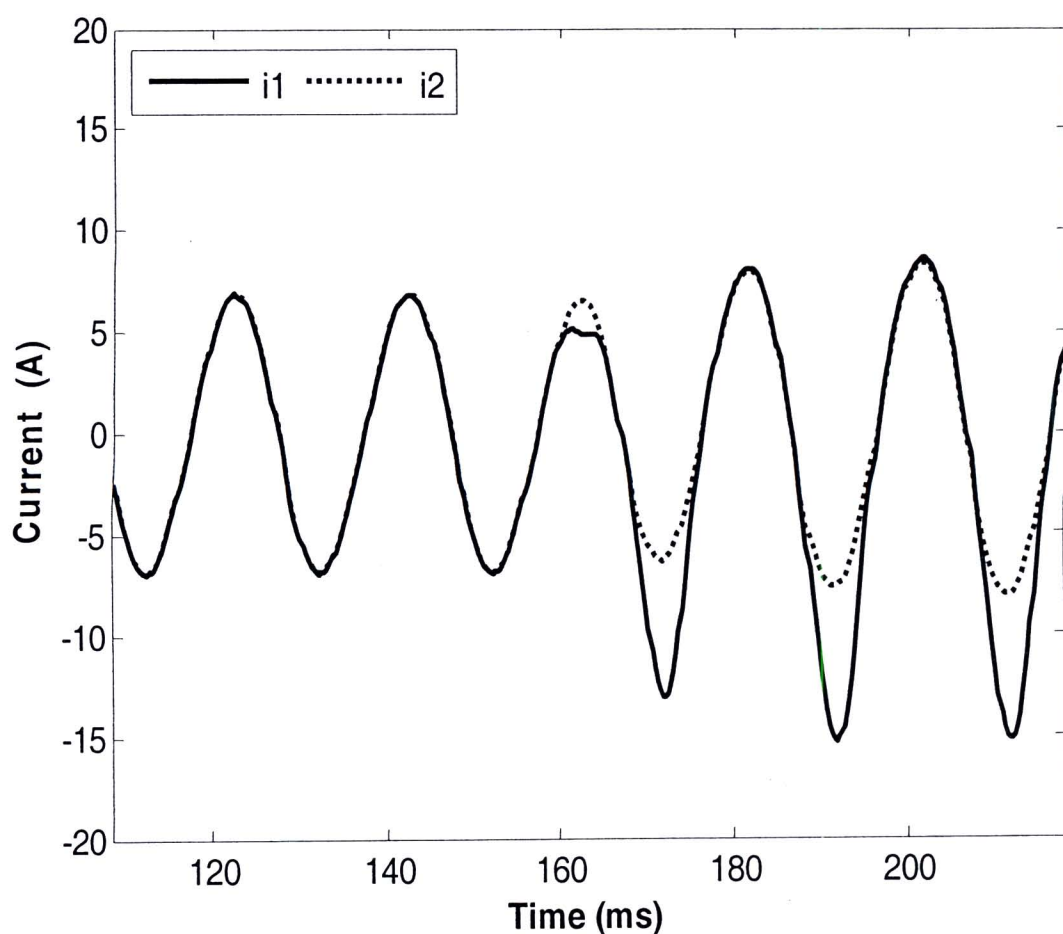
ภาพที่ 4-73 การเกิดความผิดพร่องบนสายส่ง

กระแสผิดพร่องดังกล่าวให้ผลผ่านหม้อแปลง Δ (15 kV) / Y (230kV) จึงทำให้กระแสขนาดสูงไปปรากฏที่เครื่องกำเนิดไฟฟ้าที่เฟส A และเฟส C สำหรับเฟส B นั้นไม่ได้รับผลกระทบใด ๆ จากความผิดพร่องดังกล่าว อย่างไรก็ตามความผิดพร่องนั้นเกิดขึ้นกับสายส่งไม่ได้เกิดขึ้นกับเครื่องกำเนิดไฟฟ้า รีเลย์ผลต่างที่ป้องกันเครื่องกำเนิดไฟฟ้าไม่ควรจะสั่งปลดวงจร

4.3.1 กลุ่มกรณีที่ 1 สัญญาณจากเครื่องกำเนิดไฟฟ้าขนาด 262.77 MW ในกรณีที่ความผิดพร่องไม่ได้เกิดขึ้น แต่สัญญาณกระแสเมื่อความผิดเพี้ยน (จำนวน 10 สัญญาณทดสอบ)

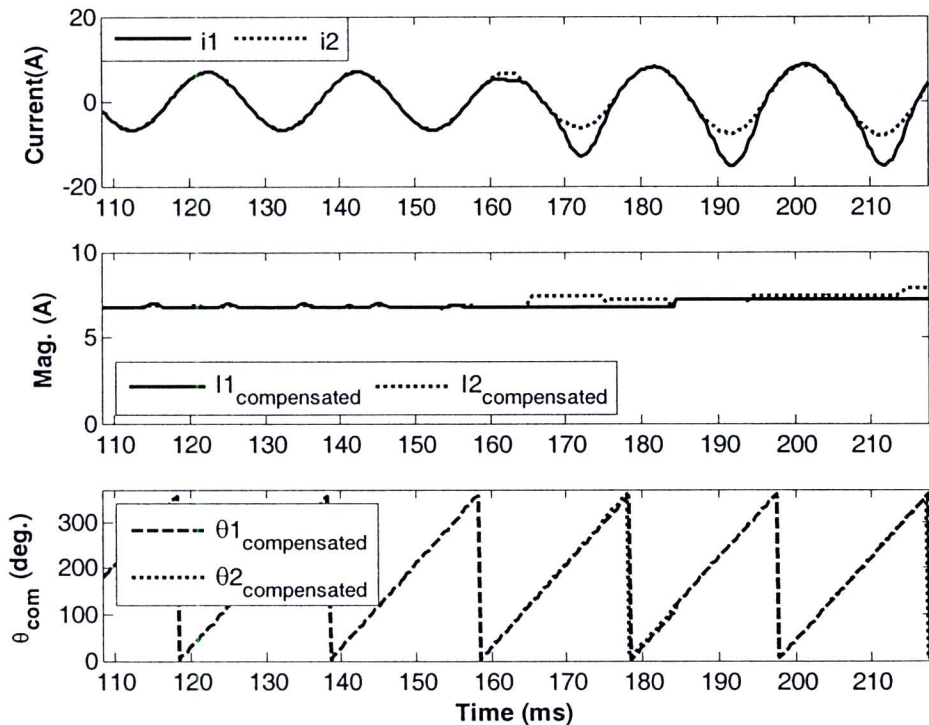
ในกรณีศึกษานี้ รีเลย์ผลต่าง ได้มีการสั่งปลดเครื่องกำเนิดไฟฟ้าทั้งที่ไม่ได้มีความผิดพร่องใด ๆ เกิดขึ้นกับเครื่องกำเนิดไฟฟ้า จากการตรวจสอบบันทึกการทำงานของรีเลย์ มีการแจ้งว่าสั่งปลดวงจรด้วยความผิดพร่องบนเฟส B ทั้งที่ไม่มีความผิดพร่องใดในขณะนั้นที่มีความเกี่ยวข้องกับ

เฟส B ของเครื่องกำเนิดไฟฟ้า เมื่อนำสัญญาณของเฟส B มาตรวจสอบพบว่าสัญญาณกระแสที่ได้จากการตรวจวัดของหม้อแปลงกระแสเกิดการผิดเพี้ยนดังแสดงในภาพที่ 4-74 ซึ่งความผิดเพี้ยนนี้เกิดจากสนามแม่เหล็กที่เกิดจากกระแสในเฟสข้างเคียงเข้ามารบกวน [31] ส่งผลให้รีเล耶ลดต่างเข้าใจผิดว่ามีความผิดพร่องเกิดขึ้น จึงสั่งปลดวงจรซึ่งเป็นการตัดสินใจที่ผิดพลาด ส่งผลให้เสถียรภาพของระบบไฟฟ้ากำลังลดลง อิกหั้ง โรงไฟฟ้ายังต้องเสียค่าใช้จ่ายมากกว่า 3 ล้านบาทต่อครั้งในการสั่งปลดวงจรดังกล่าว

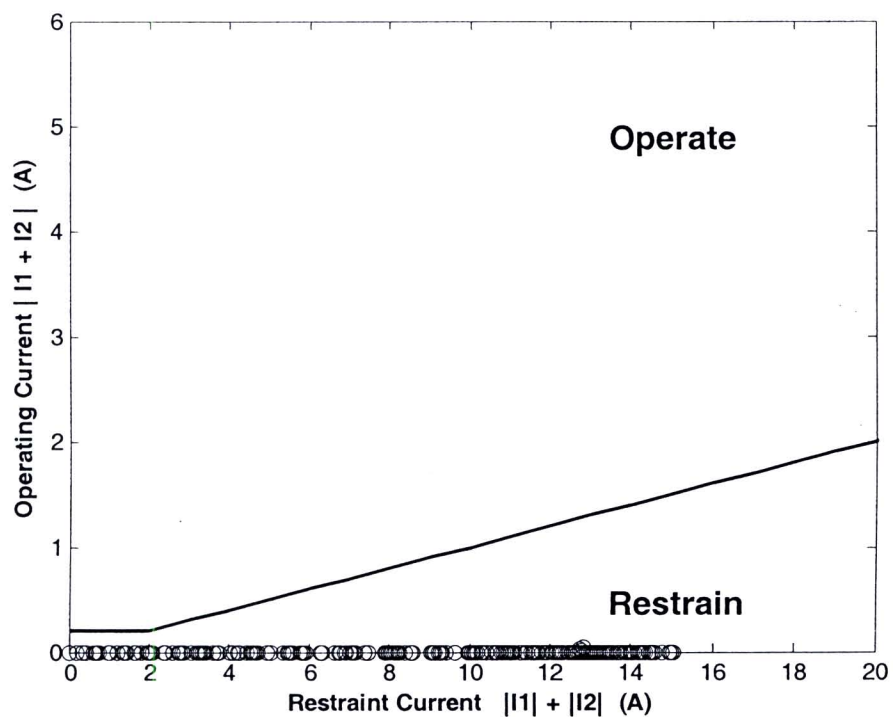


ภาพที่ 4-74 สัญญาณกระแสที่มีความผิดเพี้ยน

จากผลการทดสอบพบว่าอัลกอริธึมที่มีเสถียรภาพต่อการผิดเพี้ยนของสัญญาณกระแสซึ่งนำเสนอโดยงานวิจัยขึ้นนี้สามารถตัดสินใจได้ถูกต้อง คือจะไม่สั่งปลดวงจร เนื่องจากในช่วงสัญญาณมีความผิดเพี้ยนนั้น สัญญาณกระแสจะไม่ใช้สัญญาณรูปไข่นูชาอยู่ที่มีความถี่ 50 Hz อัลกอริธึมจึงไม่สั่งปลดวงจรในช่วงเวลาดังกล่าว ดังแสดงในภาพที่ 4-75 และภาพที่ 4-76 สำหรับผลการทดสอบของสัญญาณทดสอบที่ 2 ถึง 10 นั้นจะแสดงไว้ในภาคผนวก ก



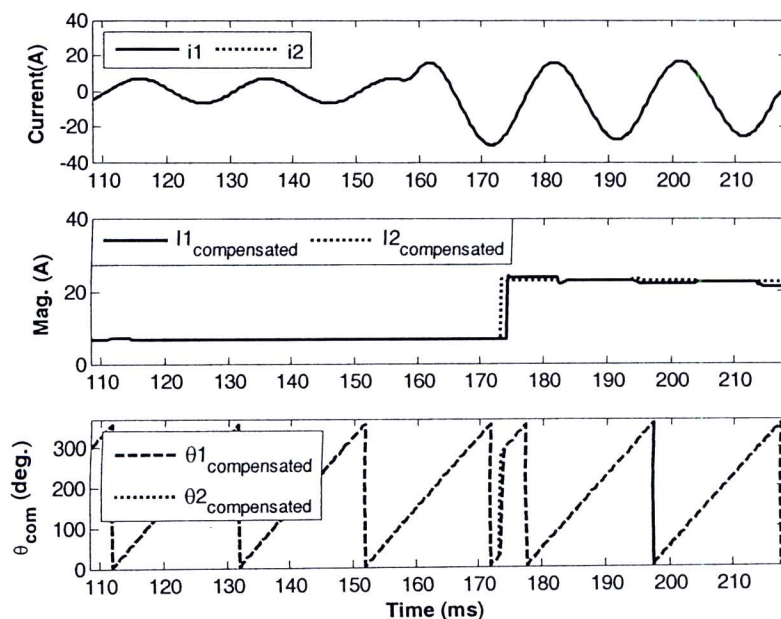
ภาพที่ 4-75 การคำนวณค่าขนาดและมุมของกระแสที่เกิดความผิดเพี้ยน (สัญญาณทดสอบที่ 1)



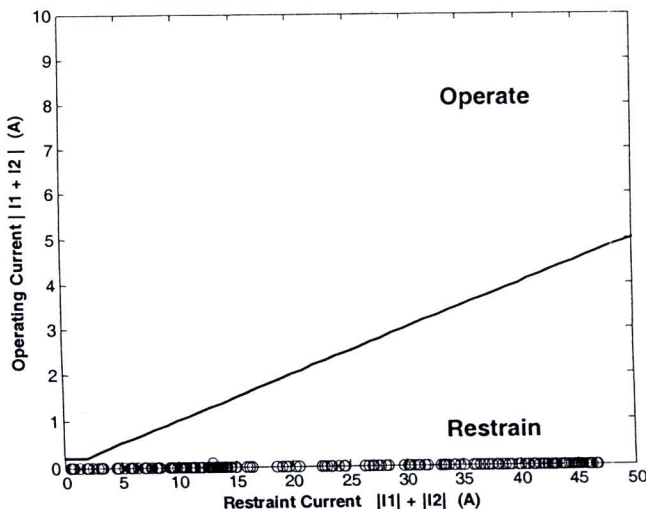
ภาพที่ 4-76 การตัดสินใจของรีเลีย์ผลต่างกรณีที่สัญญาณกระแสเกิดความผิดเพี้ยน
(สัญญาณทดสอบที่ 1)

4.3.2 กลุ่มกรณีที่ 2 สัญญาณจากเครื่องกำเนิดไฟฟ้าขนาด 262.77 MW ในกรณีที่เกิดความผิดพร่องภายนอก สัญญาณกระแสไม่มีความผิดเพี้ยน (จำนวน 20 สัญญาณ)

สัญญาณที่ใช้ในการทดสอบนี้เป็นสัญญาณที่ได้จากการณีที่เกิดความผิดพร่องที่สายส่งดังที่ได้กล่าวไว้ข้างต้น ดังนั้นรีเลย์ผลต่างจะต้องไม่ล็อปคลวงจร ภาพที่ 4-77 และ ภาพที่ 4-78 แสดงผลการคำนวณหาค่าขนาดของสัญญาณกระแสทดสอบ และแสดงผลการตัดสินใจของรีเลย์ ตามลำดับ จากผลการทดสอบพบว่ารีเลย์ผลต่างที่ใช้อัลกอริธึมที่งานวิจัยนี้นำเสนอสามารถตัดสินใจได้ถูกต้อง สำหรับผลการทดสอบสัญญาณหมายเลข 2 ถึง 20 นั้นจะแสดงไว้ในภาคผนวกฯ



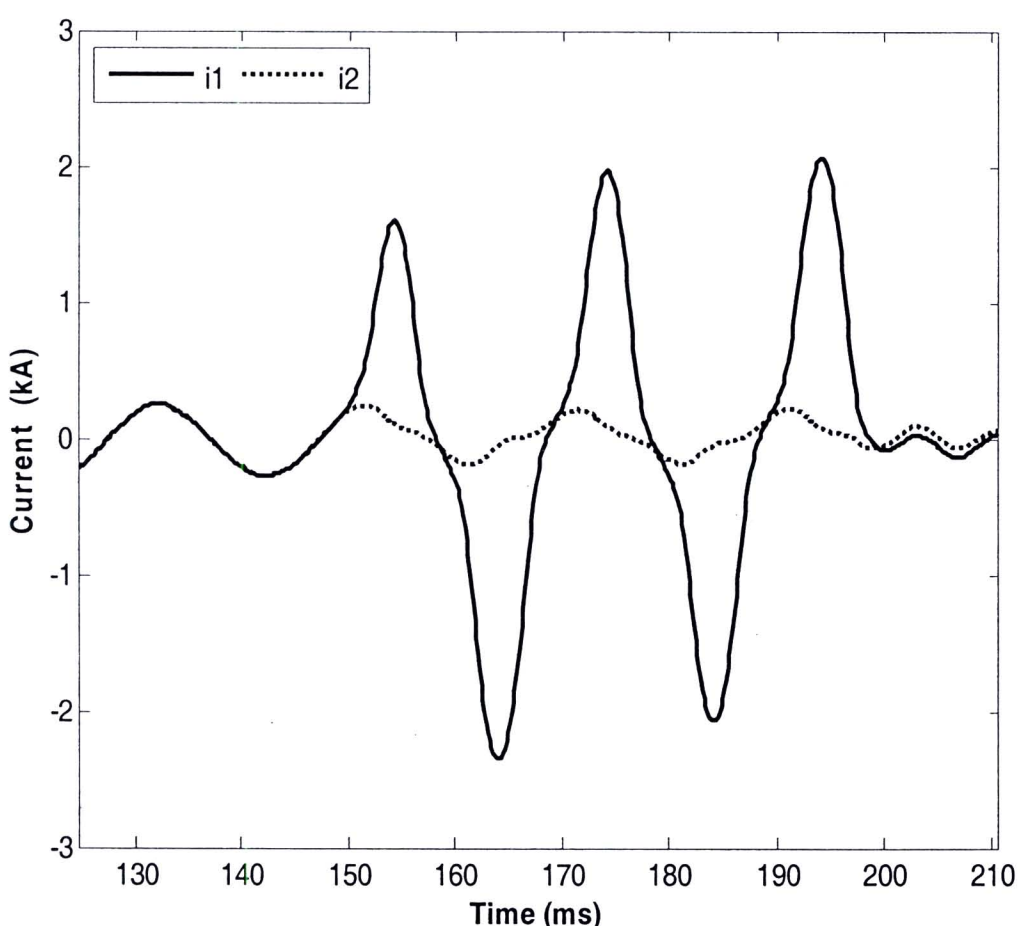
ภาพที่ 4-77 การคำนวณค่าขนาดและมุมของกระแสกรณีเกิดความผิดพร่องภายนอก (สัญญาณที่ 1)



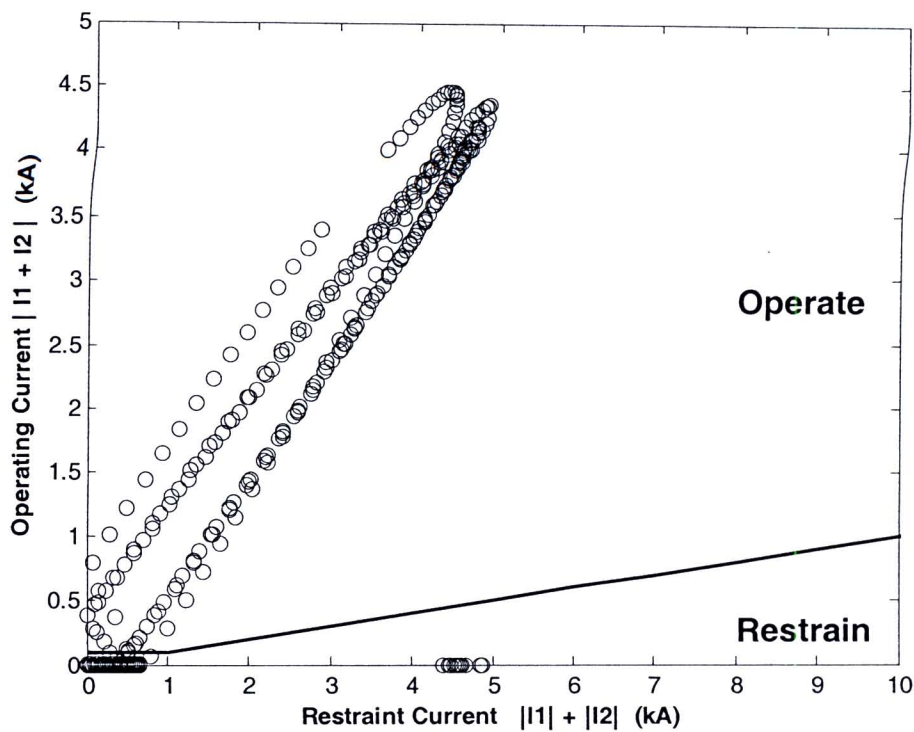
ภาพที่ 4-78 การตัดสินใจของรีเลย์ผลต่างกรณีเกิดความผิดพร่องภายนอก (สัญญาณที่ 1)

4.3.3 กลุ่มกรณีที่ 3 สัญญาณจากมอเตอร์ขนาด 1 MW ในกรณีที่เกิดความผิดพร่องภายในสัญญาณกระแสเมื่ออิมตัวอย่างรุนแรง

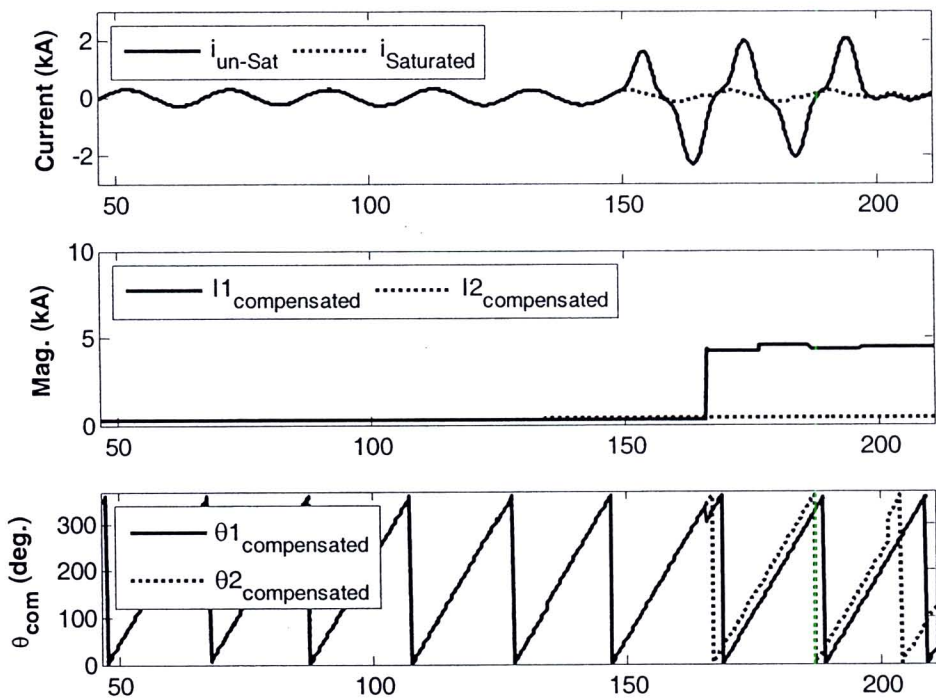
ในการทดสอบนี้ได้นำสัญญาณกระแสผิดพร่องที่ได้จากการเรียบป้องกันผลต่างของมอเตอร์ขนาด 1 MW ซึ่งเกิดความผิดพร่องที่เฟส A ลงคิน รีเลย์ที่ป้องกันมอเตอร์สามารถตัดสินใจถูกต้องคือสั่งปลดวงจร แต่การรายงานผลของขนาดกระแสผิดพร่องคลาดเคลื่อนเนื่องจากหม้อแปลงกระแสเมื่ออิมตัวอย่างรุนแรงดังแสดงในภาพที่ 4-79 ในความเป็นจริงกระแสผิดพร่องควรเป็น 4.4 kA แต่รีเลย์รายงานผลว่ากระแสผิดพร่องมีขนาดเพียง 1.84 kA เนื่องจากการคำนวณขนาดของกระแสโดยรีเลย์ทั่วไปนั้นจะไม่ได้คำนึงถึงผลกระทบของการอิมตัวของสัญญาณกระแส การแจ้งผลที่ผิดพลาดจะส่งผลให้การประเมินอายุการใช้งานของมอเตอร์ผิดพลาดได้ แต่สำหรับอัลกอริธึมที่งานวิจัยนี้นำเสนอนอกจากจะตัดสินใจปลดวงจรดังแสดงในภาพที่ 4-80 แล้วยังสามารถคำนวณขนาดของกระแสผิดพร่องได้แม่นยำกว่าดังแสดงไว้ในภาพที่ 4-81



ภาพที่ 4-79 สัญญาณกระแสผิดพร่องของมอเตอร์ที่มีการผิดเพี้ยนอันเนื่องมาจากการอิมตัวของหม้อแปลงกระแส



ภาพที่ 4-80 การตัดสินใจของรีเลีย์ผลต่างกรณีที่เกิดความผิดพร่องภายในมอเตอร์



ภาพที่ 4-81 การคำนวณค่าขนาดและมุมของกระแสกรณีเกิดความผิดพร่องภายในมอเตอร์